

核燃料輸送物設計変更承認申請に係る変更前後表

前回申請書 (平成 30 年 8 月 17 日付三原燃第 18-393 号をもって申請 (平成 31 年 2 月 5 日付三原燃第 18-1013 号をもって一部補正))	今回の核燃料輸送物設計変更承認申請	備考
<p>持される。</p> <p>また、輸送ごとに各ガスケットについて損傷等のないことがチェックされる。</p> <p>C.2.3.2 溶接部</p> <p>輸送物の密封性能に影響を及ぼす溶接部は次のとおりである。</p> <ul style="list-style-type: none"> • [] • [] <p>これらの溶接部は全て [] であり、施工法確認試験により溶接部が母材と同等の構造強度を有すること、非破壊検査 [] により割れ、融合不良等の欠陥のないことを確認する。また、密封境界全体を対象としたリークテストを実施し、漏れのないこと（リークタイトであること）を確認する。したがって、溶接部は母材と同様に（n）-B 熱解析の B.4 に示す一般の試験条件の最高温度、最低温度、最大内圧に対して健全であり密封性は維持される。</p> <p>C.2.4 蓋</p> <p>蓋部の密封境界は、蓋板と上部フランジとの接合面のほかにクイックコネクションカバーと蓋板との接合面がある。それぞれ、接合面には O リング状の EPDM 製ガスケットが取付けられている（(i) 第 C.10 図参照）。</p> <p>蓋板は、[] 本の [] のボルトにより上部フランジに取付けられる。（n）-A 構造解析で述べたように一般の試験条件における温度、圧力及び衝撃に十分耐え得る強度を有する。</p> <p>C.3 一般の試験条件</p> <p>(n)-C.2 で示したように、(n)-A 構造解析及び(n)-B 熱解析の解析結果から、一般的な試験条件において密封装置の性能が損なわれることはない。</p> <p>C.3.1 放射性物質の漏えい</p> <p>前述のとおり、一般的な試験条件において輸送容器の密封装置は破損せず、健全性が保たれることが明らかとなっている。</p> <p>したがって、一般的な試験条件において輸送物から放射性物質の漏えいは生じない。</p> <p>C.3.2 密封装置の加圧</p> <p>輸送物内部の加圧要因となるのは主に内部気体の熱膨張であり、一般的な試験条件における温度に基づいて保守的に求められた最大内圧は [] MPa 視対圧となるが、密封性能が</p>	<p>持される。</p> <p>また、これらのガスケットは、既存物の劣化、新品に交換される。</p> <p>C.2.3.2 溶接部</p> <p>輸送物の密封性能に影響を及ぼす溶接部は次のとおりである。</p> <ul style="list-style-type: none"> • [] • [] <p>これらの溶接部は全て [] であり、施工法確認試験により溶接部が母材と同等の構造強度を有すること、非破壊検査 [] により割れ、融合不良等の欠陥のないことを確認する。また、密封境界全体を対象としたリークテストを実施し、漏れのないこと（リークタイトであること）を確認する。したがって、溶接部は母材と同様に（n）-B 熱解析の B.4 に示す一般の試験条件の最高温度、最低温度、最大内圧に対して健全であり密封性は維持される。</p> <p>C.2.4 蓋</p> <p>蓋部の密封境界は、蓋板と上部フランジとの接合面のほかにクイックコネクションカバーと蓋板との接合面がある。それぞれ、接合面には O リング状の EPDM 製ガスケットが取付けられている（(i) 第 C.10 図参照）。</p> <p>蓋板は、[] 本の [] のボルトにより上部フランジに取付けられる。（n）-A 構造解析で述べたように一般的な試験条件における温度、圧力及び衝撃に十分耐え得る強度を有する。</p> <p>C.3 一般の試験条件</p> <p>(n)-C.2 で示したように、(n)-A 構造解析及び(n)-B 熱解析の解析結果から、一般的な試験条件において密封装置の性能が損なわれることはない。</p> <p>C.3.1 放射性物質の漏えい</p> <p>前述のとおり、一般的な試験条件において輸送容器の密封装置は破損せず、健全性が保たれることが明らかとなっている。</p> <p>したがって、一般的な試験条件において輸送物から放射性物質の漏えいは生じない。</p> <p>C.3.2 密封装置の加圧</p> <p>輸送物内部の加圧要因となるのは主に内部気体の熱膨張であり、一般的な試験条件における温度に基づいて保守的に求められた最大内圧は [] MPa 視対圧となるが、密封性能</p>	<p>・知見の更新に関する説明の見直し</p>

核燃料輸送物設計変更承認申請に係る変更前後表

前回申請書 (平成 30 年 8 月 17 日付三原燃第 18-393 号をもって申請 (平成 31 年 2 月 5 日付三原燃第 18-1013 号をもって一部補正))	今回の核燃料輸送物設計変更承認申請	備考
<p>損なわれるような加圧状態になることはない。</p> <p>C.3.3　冷却材汚染 本輸送容器は、冷却水を用いない乾式タイプであり、冷却材汚染はない。</p> <p>C.3.4　冷却材損失 本輸送容器は、冷却水を用いない乾式タイプであり、冷却材損失はない。</p> <p>C.4　特別の試験条件 本輸送物は A 型輸送物であり、特別の試験条件における密封機能の維持は要求されていないため、本項の要求事項は該当しない。</p> <p>C.5　結果の要約及びその評価 密封解析の評価結果は、C.2 及び C.3 に示すとおりであり、輸送物の密封性能は規則に定められる A 型輸送物に係る技術上の基準に適合する。</p>	<p>が損なわれるような加圧状態になることはない。</p> <p>C.3.3　冷却材汚染 本輸送容器は、冷却水を用いない乾式タイプであり、冷却材汚染はない。</p> <p>C.3.4　冷却材損失 本輸送容器は、冷却水を用いない乾式タイプであり、冷却材損失はない。</p> <p>C.4　特別の試験条件 本輸送物は A 型輸送物であり、特別の試験条件における密封機能の維持は要求されていないため、本項の要求事項は該当しない。</p> <p>C.5　結果の要約及びその評価 密封解析の評価結果は、C.2 及び C.3 に示すとおりであり、輸送物の密封性能は規則に定められる A 型輸送物に係る技術上の基準に適合する。</p>	—

核燃料輸送物設計変更承認申請に係る変更前後表

前回申請書 (平成 30 年 8 月 17 日付三原燃第 18-393 号をもって申請 (平成 31 年 2 月 5 日付三原燃第 18-1013 号をもって一部補正))	今回の核燃料輸送物設計変更承認申請	備考
<p>(n) - D 遮蔽解析</p> <p>D.1 概要</p> <p>本輸送容器の収納物は、使用済燃料プールに保管されていた未使用のBWR燃料集合体である。</p> <p>当該燃料集合体は、輸送容器への収納に先だって、プール水が十分に除去されるよう洗浄が施される。したがって、プール水に含まれる放射性物質による表面汚染は十分に少ないと考えられるが、ここでは安全側に、プール水に由来する放射性物質の一部が燃料集合体表面に残留すると仮定し、評価を行う。</p> <p>本輸送容器の主要な遮蔽体は、内筒及び胴外板（ステンレス鋼）及びレジン、前部方向には蓋板（チタン合金）及びレジン、後部方向には底板（ステンレス鋼）及びレジンである。</p> <p>一般的な試験条件では、(n)-A構造解析に示すように自由落下により前部及び後部衝撃吸収カバーがわずかに変形するが、遮蔽解析では安全側に衝撃吸収カバーを空気に置き換えており、通常輸送時の遮蔽解析モデルからの変更はない。</p> <p>通常輸送時及び一般的な試験条件におけるガンマ線遮蔽計算には二次元輸送計算コードDORT^[1]を用いる。</p>	<p>(n) - D 遮蔽解析</p> <p>D.1 概要</p> <p>本輸送容器の収納物は、使用済み燃料プール水中に保管されていた未使用のBWR燃料集合体で、プール水及び汚染被覆不含みが付着している。</p> <p>当該燃料集合体は、(n)章に示すように、輸送容器への収納に先だって、必要に応じて、汚染除去のための洗浄が施されるが、汚染の一部は燃料集合体表面に残留していることが観察される。そのため、輸送容器への積込に際し、燃料集合体表面の質量当量率を測定し、管理のための基準として定めた質量当量率（以下 管理基準）を超えないことを確認する。</p> <p>遮蔽解析は、これら表面に汚染のある燃料集合体が輸送容器に収納されている状態で実施し、算算としては燃料集合体由来するもの及び燃料集合体の表面汚染由来するものを考慮する。燃料集合体に由来する質量は、ウランの重量、濃縮度、不純物の比率に基づいて計算する。表面汚染に由来する質量は、燃料集合体表面での質量当量率が管理基準以上となる場合の遮蔽の許容値（許容誤差）を設定する。</p> <p>本輸送容器の主要な遮蔽体は、内筒及び胴外板（ステンレス鋼）及びレジン、前部方向には蓋板（チタン合金）及びレジン、後部方向には底板（ステンレス鋼）及びレジンで、遮蔽解析モデルを考慮する。</p> <p>上記の結果は、(n)-A構造解析に示すように一般的な試験条件において、自由落下により前部及び後部衝撃吸収カバーがわずかに変形するが、遮蔽解析では安全側に衝撃吸収カバーを空気に置き換えてモデル化しており、通常輸送時の遮蔽解析モデルからの変更はない。</p> <p>通常輸送時及び一般的な試験条件におけるガンマ線遮蔽計算には二次元輸送計算コードDORT^[1]を用いる。</p>	<ul style="list-style-type: none"> ・収納物の追加に伴う記載の見直し ・記載の適正化

(n) - D - 1

(n) - D - 1

核燃料輸送物設計変更承認申請に係る変更前後表

前回申請書 (平成 30 年 8 月 17 日付三原燃第 18-393 号をもって申請 (平成 31 年 2 月 5 日付三原燃第 18-1013 号をもって一部補正))	今回の核燃料輸送物設計変更承認申請	備考																																										
<p>D.2 線源仕様</p> <p>本輸送容器には、BWR燃料集合体を最大 10 体収納する。燃料集合体 1 体には、濃縮度が 5.0 wt%以下の二酸化ウランペレットが最大□ kg 収納されている。</p> <p>線源としては燃料組成に由来するもの及びプール水に含まれる放射性物質による燃料の表面汚染を考慮する。</p> <p>(1) 燃料組成に由来する線源</p> <p>線源として考慮する燃料組成及び線源解析仕様を(a) 第 D.1 表に示す。</p> <p>(a) 第 D.1 表 燃料組成及び線源解析仕様</p> <table border="1"> <caption>(燃料集合体 1 体当たり)</caption> <thead> <tr> <th></th> <th>燃料組成</th> <th>線源解析仕様</th> </tr> </thead> <tbody> <tr> <td>U 重量</td> <td>—</td> <td>□ kg</td> </tr> <tr> <td>²³⁵U 濃縮度</td> <td>≤ 5.0 wt%</td> <td>5.0 wt%</td> </tr> <tr> <td>²³⁸U 重量</td> <td>—</td> <td>□ g</td> </tr> <tr> <td>²³²U 重量</td> <td>—</td> <td>□ g</td> </tr> <tr> <td>不純物</td> <td> ²³²U: ≤□ μg/gU ²³⁴U: ≤□ μg/g²³⁵U ²³⁶U: ≤□ μg/gU ⁹⁰Tc: ≤□ μg/gU </td> <td> ²³²U: □ g ²³⁴U: □ g ²³⁶U: □ g ⁹⁰Tc: □ g </td> </tr> <tr> <td>崩壊年数</td> <td>—</td> <td>10 年</td> </tr> </tbody> </table> <p>(2) プール水による表面汚染</p> <p>プール水に含まれる放射性物質の一部が燃料集合体表面に残留すると仮定して線源として考慮する。詳細については、D.2.1(2)に示す。</p> <p>(a) - D-2</p>		燃料組成	線源解析仕様	U 重量	—	□ kg	²³⁵ U 濃縮度	≤ 5.0 wt%	5.0 wt%	²³⁸ U 重量	—	□ g	²³² U 重量	—	□ g	不純物	²³² U: ≤□ μg/gU ²³⁴ U: ≤□ μg/g ²³⁵ U ²³⁶ U: ≤□ μg/gU ⁹⁰ Tc: ≤□ μg/gU	²³² U: □ g ²³⁴ U: □ g ²³⁶ U: □ g ⁹⁰ Tc: □ g	崩壊年数	—	10 年	<p>D.2 線源仕様</p> <p>本輸送容器には、BWR燃料集合体を最大 10 体収納する。燃料集合体 1 体には、濃縮度が 5.0 wt%以下の二酸化ウランペレットが最大□ kg 収納されている。</p> <p>線源としては燃料組成に由来するもの及び燃料集合体の表面汚染による線源を考慮する。</p> <p>(1) 燃料組成に由来する線源</p> <p>線源として考慮する燃料組成及び線源解析仕様を(a) 第 D.1 表に示す。</p> <p>(a) 第 D.1 表 燃料組成及び線源解析仕様</p> <table border="1"> <caption>(燃料集合体 1 体当たり)</caption> <thead> <tr> <th></th> <th>燃料組成</th> <th>線源解析仕様</th> </tr> </thead> <tbody> <tr> <td>U 重量</td> <td>—</td> <td>□ kg</td> </tr> <tr> <td>²³⁵U 濃縮度</td> <td>≤ 5.0 wt%</td> <td>5.0 wt%</td> </tr> <tr> <td>²³⁸U 重量</td> <td>—</td> <td>□ g</td> </tr> <tr> <td>²³²U 重量</td> <td>—</td> <td>□ g</td> </tr> <tr> <td>不純物</td> <td> ²³²U: ≤□ μg/gU ²³⁴U: ≤□ μg/g²³⁵U ²³⁶U: ≤□ μg/gU ⁹⁰Tc: ≤□ μg/gU </td> <td> ²³²U: □ g ²³⁴U: □ g ²³⁶U: □ g ⁹⁰Tc: □ g </td> </tr> <tr> <td>崩壊年数</td> <td>—</td> <td>10 年</td> </tr> </tbody> </table> <p>(2) 燃料集合体の表面汚染に由来する線源</p> <p>燃料集合体の表面に付着している直前に含まられる汚染核種は、その付着している直前に採取し分析したことで、汚染核種の種類及びその放射能の量が判明している。汚染核種としては、⁶⁰Co、¹³⁷Cs (と子孫核種 ⁹⁰Sr)、⁹⁰Sr、¹³⁴Cs、¹³⁷Cs (と子孫核種 ⁹⁰Rb) である。(付録書類-1)</p> <p>燃料集合体に含まされる汚染核種の放射能の量は、燃料集合体表面の質量当量を削除</p> <p>(a) - D-2</p>		燃料組成	線源解析仕様	U 重量	—	□ kg	²³⁵ U 濃縮度	≤ 5.0 wt%	5.0 wt%	²³⁸ U 重量	—	□ g	²³² U 重量	—	□ g	不純物	²³² U: ≤□ μg/gU ²³⁴ U: ≤□ μg/g ²³⁵ U ²³⁶ U: ≤□ μg/gU ⁹⁰ Tc: ≤□ μg/gU	²³² U: □ g ²³⁴ U: □ g ²³⁶ U: □ g ⁹⁰ Tc: □ g	崩壊年数	—	10 年	<ul style="list-style-type: none"> ・収納物の追加に伴う記載の見直し
	燃料組成	線源解析仕様																																										
U 重量	—	□ kg																																										
²³⁵ U 濃縮度	≤ 5.0 wt%	5.0 wt%																																										
²³⁸ U 重量	—	□ g																																										
²³² U 重量	—	□ g																																										
不純物	²³² U: ≤□ μg/gU ²³⁴ U: ≤□ μg/g ²³⁵ U ²³⁶ U: ≤□ μg/gU ⁹⁰ Tc: ≤□ μg/gU	²³² U: □ g ²³⁴ U: □ g ²³⁶ U: □ g ⁹⁰ Tc: □ g																																										
崩壊年数	—	10 年																																										
	燃料組成	線源解析仕様																																										
U 重量	—	□ kg																																										
²³⁵ U 濃縮度	≤ 5.0 wt%	5.0 wt%																																										
²³⁸ U 重量	—	□ g																																										
²³² U 重量	—	□ g																																										
不純物	²³² U: ≤□ μg/gU ²³⁴ U: ≤□ μg/g ²³⁵ U ²³⁶ U: ≤□ μg/gU ⁹⁰ Tc: ≤□ μg/gU	²³² U: □ g ²³⁴ U: □ g ²³⁶ U: □ g ⁹⁰ Tc: □ g																																										
崩壊年数	—	10 年																																										

核燃料輸送物設計変更承認申請に係る変更前後表

前回申請書 (平成 30 年 8 月 17 日付三原燃第 18-393 号をもって申請 (平成 31 年 2 月 5 日付三原燃第 18-1013 号をもって一部補正))	今回の核燃料輸送物設計変更承認申請	備考
<p>D.2.1 ガンマ線源</p> <p>(1) 燃料組成に由来する線源</p> <p>燃料組成に由来する線源については燃焼計算コード ORIGEN2^[2]によりガンマ線源強度を求める。求められたガンマ線源強度を<u>(a)-第D.2表</u>に示す。</p>	<p>D.2.1 ガンマ線源</p> <p>(1) 燃料組成に由来する線源</p> <p>燃料組成に由来する線源については燃焼計算コード ORIGEN2^[2]によりガンマ線源強度を求める。<u>燃焼年数は放射能強度が最大となる 10 年とする</u>。求められたガンマ線源強度を<u>(a)-第D.2表</u>に示す。</p> <p>[a]、測定された線量当量率が管理基準以下とすることにより管理する (n)-A 核燃料輸送物の取扱方法の A.2 の第送前検査]、 蓄蔵解析において想定する汚染核種の放射能の量（線源強度）は、燃料集合体の表面での線量当量率が、管理基準以上となる線源強度を算出する（付録書類-2）。輸送物としては、収納する燃料集合体 10 体とも算出された線源強度の汚染核種が含まれるといふこと。</p>	<ul style="list-style-type: none"> ・収納物の追加に伴う記載の見直し ・知見の更新に関する説明の追加

核燃料輸送物設計変更承認申請に係る変更前後表

前回申請書			今回の核燃料輸送物設計変更承認申請			備考																																																																																																																																																																																																																																																																																																			
(平成 30 年 8 月 17 日付三原燃第 18-393 号をもって申請 (平成 31 年 2 月 5 日付三原燃第 18-1013 号をもって一部補正))																																																																																																																																																																																																																																																																																																									
(v) 第 D.2 表 燃料組成に由来するガンマ線源強度 (輸送物 1 基あたり)			(v) 第 D.2 表 燃料組成に由来するガンマ線源強度 (輸送物 1 基あたり)																																																																																																																																																																																																																																																																																																						
<table border="1"> <thead> <tr> <th>群</th> <th>平均エネルギー (MeV)</th> <th>ガンマ線源強度 (photons/sec)</th> </tr> </thead> <tbody> <tr><td>1</td><td></td><td></td></tr> <tr><td>2</td><td></td><td></td></tr> <tr><td>3</td><td></td><td></td></tr> <tr><td>4</td><td></td><td></td></tr> <tr><td>5</td><td></td><td></td></tr> <tr><td>6</td><td></td><td></td></tr> <tr><td>7</td><td></td><td></td></tr> <tr><td>8</td><td></td><td></td></tr> <tr><td>9</td><td></td><td></td></tr> <tr><td>10</td><td></td><td></td></tr> <tr><td>11</td><td></td><td></td></tr> <tr><td>12</td><td></td><td></td></tr> <tr><td>13</td><td></td><td></td></tr> <tr><td>14</td><td></td><td></td></tr> <tr><td>15</td><td></td><td></td></tr> <tr><td>16</td><td></td><td></td></tr> <tr><td>17</td><td></td><td></td></tr> <tr><td>18</td><td></td><td></td></tr> <tr><td>19</td><td></td><td></td></tr> <tr><td>20</td><td></td><td></td></tr> <tr><td>21</td><td></td><td></td></tr> <tr><td>22</td><td></td><td></td></tr> <tr><td>23</td><td></td><td></td></tr> <tr><td>24</td><td></td><td></td></tr> <tr><td>25</td><td></td><td></td></tr> <tr><td>26</td><td></td><td></td></tr> <tr><td>27</td><td></td><td></td></tr> <tr><td>28</td><td></td><td></td></tr> <tr><td>29</td><td></td><td></td></tr> <tr><td>30</td><td></td><td></td></tr> <tr><td>31</td><td></td><td></td></tr> <tr><td>32</td><td></td><td></td></tr> <tr><td>33</td><td></td><td></td></tr> <tr><td>34</td><td></td><td></td></tr> <tr><td>35</td><td></td><td></td></tr> <tr><td>36</td><td></td><td></td></tr> <tr><td>37</td><td></td><td></td></tr> <tr><td>38</td><td></td><td></td></tr> <tr><td>39</td><td></td><td></td></tr> <tr><td>40</td><td></td><td></td></tr> <tr><td>41</td><td></td><td></td></tr> <tr><td>42</td><td></td><td></td></tr> <tr><td>43</td><td></td><td></td></tr> <tr><td>44</td><td></td><td></td></tr> <tr><td>45</td><td></td><td></td></tr> <tr><td>46</td><td></td><td></td></tr> <tr><td>47</td><td></td><td></td></tr> </tbody> </table>			群	平均エネルギー (MeV)	ガンマ線源強度 (photons/sec)	1			2			3			4			5			6			7			8			9			10			11			12			13			14			15			16			17			18			19			20			21			22			23			24			25			26			27			28			29			30			31			32			33			34			35			36			37			38			39			40			41			42			43			44			45			46			47			<table border="1"> <thead> <tr> <th>群</th> <th>平均エネルギー (MeV)</th> <th>ガンマ線源強度 (photons/sec)</th> </tr> </thead> <tbody> <tr><td>1</td><td></td><td></td></tr> <tr><td>2</td><td></td><td></td></tr> <tr><td>3</td><td></td><td></td></tr> <tr><td>4</td><td></td><td></td></tr> <tr><td>5</td><td></td><td></td></tr> <tr><td>6</td><td></td><td></td></tr> <tr><td>7</td><td></td><td></td></tr> <tr><td>8</td><td></td><td></td></tr> <tr><td>9</td><td></td><td></td></tr> <tr><td>10</td><td></td><td></td></tr> <tr><td>11</td><td></td><td></td></tr> <tr><td>12</td><td></td><td></td></tr> <tr><td>13</td><td></td><td></td></tr> <tr><td>14</td><td></td><td></td></tr> <tr><td>15</td><td></td><td></td></tr> <tr><td>16</td><td></td><td></td></tr> <tr><td>17</td><td></td><td></td></tr> <tr><td>18</td><td></td><td></td></tr> <tr><td>19</td><td></td><td></td></tr> <tr><td>20</td><td></td><td></td></tr> <tr><td>21</td><td></td><td></td></tr> <tr><td>22</td><td></td><td></td></tr> <tr><td>23</td><td></td><td></td></tr> <tr><td>24</td><td></td><td></td></tr> <tr><td>25</td><td></td><td></td></tr> <tr><td>26</td><td></td><td></td></tr> <tr><td>27</td><td></td><td></td></tr> <tr><td>28</td><td></td><td></td></tr> <tr><td>29</td><td></td><td></td></tr> <tr><td>30</td><td></td><td></td></tr> <tr><td>31</td><td></td><td></td></tr> <tr><td>32</td><td></td><td></td></tr> <tr><td>33</td><td></td><td></td></tr> <tr><td>34</td><td></td><td></td></tr> <tr><td>35</td><td></td><td></td></tr> <tr><td>36</td><td></td><td></td></tr> <tr><td>37</td><td></td><td></td></tr> <tr><td>38</td><td></td><td></td></tr> <tr><td>39</td><td></td><td></td></tr> <tr><td>40</td><td></td><td></td></tr> <tr><td>41</td><td></td><td></td></tr> <tr><td>42</td><td></td><td></td></tr> <tr><td>43</td><td></td><td></td></tr> <tr><td>44</td><td></td><td></td></tr> <tr><td>45</td><td></td><td></td></tr> <tr><td>46</td><td></td><td></td></tr> <tr><td>47</td><td></td><td></td></tr> </tbody> </table>			群	平均エネルギー (MeV)	ガンマ線源強度 (photons/sec)	1			2			3			4			5			6			7			8			9			10			11			12			13			14			15			16			17			18			19			20			21			22			23			24			25			26			27			28			29			30			31			32			33			34			35			36			37			38			39			40			41			42			43			44			45			46			47			・記載の適正化			
群	平均エネルギー (MeV)	ガンマ線源強度 (photons/sec)																																																																																																																																																																																																																																																																																																							
1																																																																																																																																																																																																																																																																																																									
2																																																																																																																																																																																																																																																																																																									
3																																																																																																																																																																																																																																																																																																									
4																																																																																																																																																																																																																																																																																																									
5																																																																																																																																																																																																																																																																																																									
6																																																																																																																																																																																																																																																																																																									
7																																																																																																																																																																																																																																																																																																									
8																																																																																																																																																																																																																																																																																																									
9																																																																																																																																																																																																																																																																																																									
10																																																																																																																																																																																																																																																																																																									
11																																																																																																																																																																																																																																																																																																									
12																																																																																																																																																																																																																																																																																																									
13																																																																																																																																																																																																																																																																																																									
14																																																																																																																																																																																																																																																																																																									
15																																																																																																																																																																																																																																																																																																									
16																																																																																																																																																																																																																																																																																																									
17																																																																																																																																																																																																																																																																																																									
18																																																																																																																																																																																																																																																																																																									
19																																																																																																																																																																																																																																																																																																									
20																																																																																																																																																																																																																																																																																																									
21																																																																																																																																																																																																																																																																																																									
22																																																																																																																																																																																																																																																																																																									
23																																																																																																																																																																																																																																																																																																									
24																																																																																																																																																																																																																																																																																																									
25																																																																																																																																																																																																																																																																																																									
26																																																																																																																																																																																																																																																																																																									
27																																																																																																																																																																																																																																																																																																									
28																																																																																																																																																																																																																																																																																																									
29																																																																																																																																																																																																																																																																																																									
30																																																																																																																																																																																																																																																																																																									
31																																																																																																																																																																																																																																																																																																									
32																																																																																																																																																																																																																																																																																																									
33																																																																																																																																																																																																																																																																																																									
34																																																																																																																																																																																																																																																																																																									
35																																																																																																																																																																																																																																																																																																									
36																																																																																																																																																																																																																																																																																																									
37																																																																																																																																																																																																																																																																																																									
38																																																																																																																																																																																																																																																																																																									
39																																																																																																																																																																																																																																																																																																									
40																																																																																																																																																																																																																																																																																																									
41																																																																																																																																																																																																																																																																																																									
42																																																																																																																																																																																																																																																																																																									
43																																																																																																																																																																																																																																																																																																									
44																																																																																																																																																																																																																																																																																																									
45																																																																																																																																																																																																																																																																																																									
46																																																																																																																																																																																																																																																																																																									
47																																																																																																																																																																																																																																																																																																									
群	平均エネルギー (MeV)	ガンマ線源強度 (photons/sec)																																																																																																																																																																																																																																																																																																							
1																																																																																																																																																																																																																																																																																																									
2																																																																																																																																																																																																																																																																																																									
3																																																																																																																																																																																																																																																																																																									
4																																																																																																																																																																																																																																																																																																									
5																																																																																																																																																																																																																																																																																																									
6																																																																																																																																																																																																																																																																																																									
7																																																																																																																																																																																																																																																																																																									
8																																																																																																																																																																																																																																																																																																									
9																																																																																																																																																																																																																																																																																																									
10																																																																																																																																																																																																																																																																																																									
11																																																																																																																																																																																																																																																																																																									
12																																																																																																																																																																																																																																																																																																									
13																																																																																																																																																																																																																																																																																																									
14																																																																																																																																																																																																																																																																																																									
15																																																																																																																																																																																																																																																																																																									
16																																																																																																																																																																																																																																																																																																									
17																																																																																																																																																																																																																																																																																																									
18																																																																																																																																																																																																																																																																																																									
19																																																																																																																																																																																																																																																																																																									
20																																																																																																																																																																																																																																																																																																									
21																																																																																																																																																																																																																																																																																																									
22																																																																																																																																																																																																																																																																																																									
23																																																																																																																																																																																																																																																																																																									
24																																																																																																																																																																																																																																																																																																									
25																																																																																																																																																																																																																																																																																																									
26																																																																																																																																																																																																																																																																																																									
27																																																																																																																																																																																																																																																																																																									
28																																																																																																																																																																																																																																																																																																									
29																																																																																																																																																																																																																																																																																																									
30																																																																																																																																																																																																																																																																																																									
31																																																																																																																																																																																																																																																																																																									
32																																																																																																																																																																																																																																																																																																									
33																																																																																																																																																																																																																																																																																																									
34																																																																																																																																																																																																																																																																																																									
35																																																																																																																																																																																																																																																																																																									
36																																																																																																																																																																																																																																																																																																									
37																																																																																																																																																																																																																																																																																																									
38																																																																																																																																																																																																																																																																																																									
39																																																																																																																																																																																																																																																																																																									
40																																																																																																																																																																																																																																																																																																									
41																																																																																																																																																																																																																																																																																																									
42																																																																																																																																																																																																																																																																																																									
43																																																																																																																																																																																																																																																																																																									
44																																																																																																																																																																																																																																																																																																									
45																																																																																																																																																																																																																																																																																																									
46																																																																																																																																																																																																																																																																																																									
47																																																																																																																																																																																																																																																																																																									
(v) - D - 4			(v) - D - 4																																																																																																																																																																																																																																																																																																						

核燃料輸送物設計変更承認申請に係る変更前後表

前回申請書 (平成 30 年 8 月 17 日付三原燃第 18-393 号をもって申請 (平成 31 年 2 月 5 日付三原燃第 18-1013 号をもって一部補正))	今回の核燃料輸送物設計変更承認申請	備考																																
<p>(2) プール水による表面汚染</p> <p>プール水に含まれる放射性物質による表面汚染の線源強度については、保守的に設定したプール水の放射能濃度と []に基づいて、ガンマ線源強度を求める。プール水による表面汚染の線源を (e)-第D.3表に示す。表面汚染は ^{60}Co を代表線源とする。</p> <p>(e)-第D.3表 プール水による表面汚染の線源</p> <table border="1"> <thead> <tr> <th>項目</th><th>仕様</th><th>備考</th></tr> </thead> <tbody> <tr> <td>[]</td><td>[]</td><td></td></tr> <tr> <td>[]</td><td>[]</td><td>遮蔽体としては無視する</td></tr> <tr> <td>プール水汚染濃度 (^{60}Co Bq/m²)</td><td>4×10^8</td><td>3.7×10^8 Bq/m³ [3]を切上げ</td></tr> <tr> <td>収納体数(体)</td><td>10</td><td></td></tr> <tr> <td>線源強度 (^{60}Co Bq/基)</td><td>[]</td><td></td></tr> </tbody> </table> <p>D.2.2 中性子源</p> <p>中性子源として対象となるのは、ウランの自発核分裂及び酸素の(α、n)反応により放出されるものが考えられるが、これらの反応率は無視できるほど小さい。</p>	項目	仕様	備考	[]	[]		[]	[]	遮蔽体としては無視する	プール水汚染濃度 (^{60}Co Bq/m ²)	4×10^8	3.7×10^8 Bq/m ³ [3]を切上げ	収納体数(体)	10		線源強度 (^{60}Co Bq/基)	[]		<p>(2) 核燃料集合体の表面汚染に由来する線源</p> <p>燃料集合体の表面汚染について、その汚染核種は ^{60}Co、^{59}Co (と子孫核種 ^{60}Ni)、^{137}Cs、^{89}Sr (と子孫核種 ^{90}Y)である (付属書類-1)。汚染核種のうち放射能の量が多く主要な核種となる ^{60}Co、^{137}Cs の線源強度を、管理基準に基づき算定している (付属書類-2)。</p> <p>遮蔽解析では、^{137}Cs に比べて放出する放射線のエネルギーが高く評価上厳しくなる ^{60}Co の線源強度を用いる。表面汚染の線源強度を (e)-第D.3表に示す。</p> <p>(e)-第D.3表 表面汚染の線源強度</p> <table border="1"> <thead> <tr> <th>構造集合体部位</th><th>線源強度 (^{60}Co Bq/基)</th></tr> </thead> <tbody> <tr> <td>ヘンダル部</td><td></td></tr> <tr> <td>上部グリッド部</td><td></td></tr> <tr> <td>上部ブレナム部</td><td></td></tr> <tr> <td>燃料有効部</td><td></td></tr> <tr> <td>下部タ입プレート部</td><td></td></tr> <tr> <td>その他</td><td></td></tr> </tbody> </table> <p>D.2.2 中性子源</p> <p>中性子源として対象となるのは、ウランの自発核分裂及び酸素の(α、n)反応により放出されるものが考えられるが、これらの反応率は無視できるほど小さい。</p>	構造集合体部位	線源強度 (^{60}Co Bq/基)	ヘンダル部		上部グリッド部		上部ブレナム部		燃料有効部		下部タ입プレート部		その他		<ul style="list-style-type: none"> ・収納物の追加に伴う記載の見直し
項目	仕様	備考																																
[]	[]																																	
[]	[]	遮蔽体としては無視する																																
プール水汚染濃度 (^{60}Co Bq/m ²)	4×10^8	3.7×10^8 Bq/m ³ [3]を切上げ																																
収納体数(体)	10																																	
線源強度 (^{60}Co Bq/基)	[]																																	
構造集合体部位	線源強度 (^{60}Co Bq/基)																																	
ヘンダル部																																		
上部グリッド部																																		
上部ブレナム部																																		
燃料有効部																																		
下部タ입プレート部																																		
その他																																		

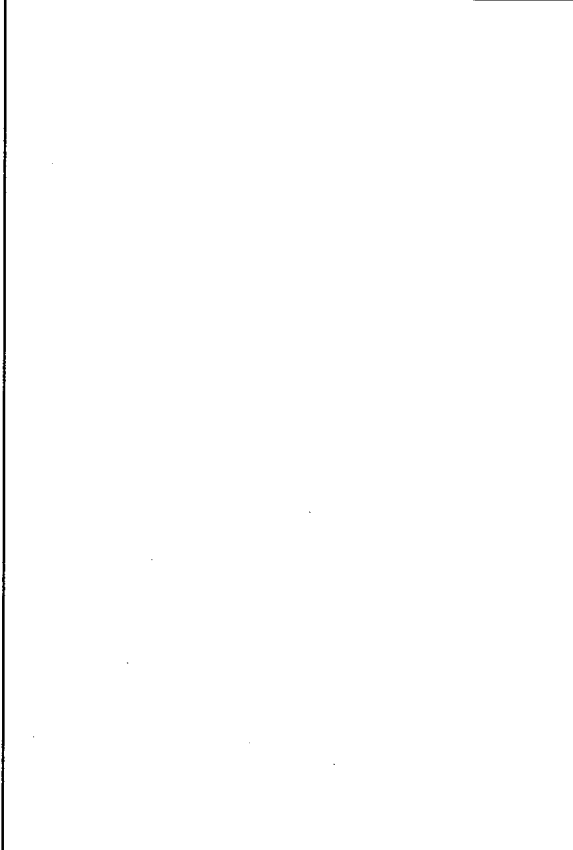
核燃料輸送物設計変更承認申請に係る変更前後表

前回申請書 (平成 30 年 8 月 17 日付三原燃第 18-393 号をもって申請 (平成 31 年 2 月 5 日付三原燃第 18-1013 号をもって一部補正))	今回の核燃料輸送物設計変更承認申請	備考
<p>D.3 モデル仕様</p> <p>D.3.1 解析モデル</p> <p>(1) 通常輸送時</p> <p>通常輸送時の遮蔽解析モデルを<u>(n)-第D.1 図</u>及び<u>(n)-第D.2 図</u>に示す。モデル化の考え方について以下に示す。</p> <ul style="list-style-type: none"> - []は安全側に無視する。 - ロジメントは最外周の最小厚さ分を追加遮蔽板の内側に置き、残りの部分は燃料領域内（上部グリッド部、上部プレナム部、燃料有効部、下部タイプレート部）で均質化する。 - バスケットは、外周部にあるアルミスペーサー、底部のバスケットサポート底板を実際の形状に即してモデル化する。底部の[]は安全側に空気とする。 - 容器本体は、内筒、胴部レジン、胴外板、底板、底部レジン、蓋板、蓋部レジン、レジンカバーを基本的に実際の形状に即してモデル化する。 - 燃料の軸方向の移動を考慮して、燃料はその上端が蓋下面に、下端がバスケットサポートに接しているものとし、キャビティと燃料の長さの差の分、容器及びバスケットの長さを短縮する。 - 衝撃吸収カバーは安全側に空気に置き換える、その距離のみ考慮する。 ストリーミングを考慮すべき箇所については、蓋部にクイックコネクションがある。ただし、クイックコネクションの[]及び衝撃吸収カバーを無視しており、ストリーミングの影響を包含した安全側のモデルとなっている。 <p>(2) 一般的試験条件</p> <p>一般的試験条件の遮蔽解析モデルを<u>(n)-第D.3 図</u>及び<u>(n)-第D.4 図</u>に示す。D. 1 で述べたように、一般的試験条件の遮蔽解析モデルは通常輸送時と同一である。ただし、自由落下により前部及び後部衝撃吸収カバーがわずかに変形するため、一般的試験条件の遮蔽解析における評価点は、この変形を考慮して設定する。</p> 	<p>D.3 モデル仕様</p> <p>D.3.1 解析モデル</p> <p>(1) 通常輸送時</p> <p>通常輸送時の遮蔽解析モデルを<u>(n)-第D.1 図</u>及び<u>(n)-第D.2 図</u>に示す。モデル化の考え方について以下に示す。</p> <p>容器本体は、内筒、胴部レジン、胴外板、底板、底部レジン、蓋板、蓋部レジン、レジンカバーを基本的に実際の形状に即してモデル化する。</p> <p>[]は安全側に無視する。</p> <p>燃料集合体（クラシック燃料及び表面汚染を含む）は、ハンドル部、上部グリッド部、上部プレナム部、燃料有効部、下部タイプレート部の各領域を設定し領域内で均質化する。ディッシュホール部及び收納部は、その内部が均質化される方向に作用するため、安全側にこれらの存在を無視する。</p> <ul style="list-style-type: none"> - ロジメントは最外周の最小厚さ分を追加遮蔽板の内側に置き、残りの部分は燃料集合体の各領域内（上部グリッド部、上部プレナム部、燃料有効部、下部タイプレート部）で均質化する。 - バスケットは、外周部にあるアルミスペーサー、底部のバスケットサポート底板を実際の形状に即してモデル化する。底部の[]は安全側に空気とする。 - 燃料の軸方向の移動を考慮して、燃料はその上端が蓋下面に、下端がバスケットサポートに接しているものとし、キャビティと燃料の長さの差の分、容器及びバスケットの長さを短縮する。 - 衝撃吸収カバーは []の構造材が遮蔽線を遮蔽する方向に作用するため、安全側に空気に置き換える、その距離のみ考慮する。 ストリーミングを考慮すべき箇所については、蓋部にクイックコネクションがある。ただし、クイックコネクションの[]及び衝撃吸収カバーを無視しており、ストリーミングの影響を包含した安全側のモデルとなっている。 <p>(2) 一般的試験条件</p> <p>一般的試験条件の遮蔽解析モデルを<u>(n)-第D.3 図</u>及び<u>(n)-第D.4 図</u>に示す。D. 1 で述べたように、一般的試験条件の遮蔽解析モデルは通常輸送時と同一である。ただし、自由落下により前部及び後部衝撃吸収カバーがわずかに変形するため、一般的試験条件の遮蔽解析における評価点は、この変形を考慮して設定する。</p> 	<p>・知見の更新に関する説明の見直し</p>

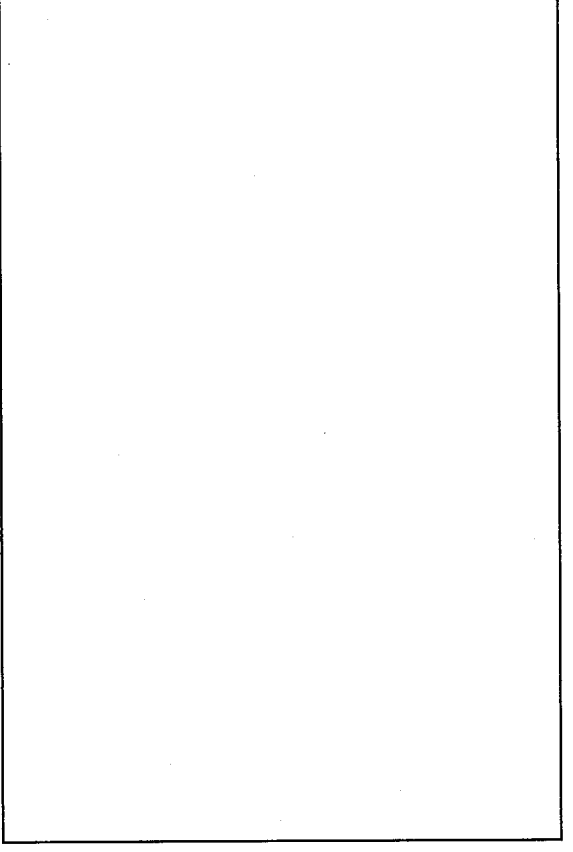
核燃料輸送物設計変更承認申請に係る変更前後表

前回申請書 (平成30年8月17日付三原燃第18-393号をもって申請 (平成31年2月5日付三原燃第18-1013号をもって一部補正))	今回の核燃料輸送物設計変更承認申請	備考
 (単位:mm) (v) - 第D.1図 通常輸送時の遮蔽解析モデル（蓋部方向） (v) - D - 7	 (単位:mm) (v) - 第D.1図 通常輸送時の遮蔽解析モデル（蓋部方向） (v) - D - 7	-

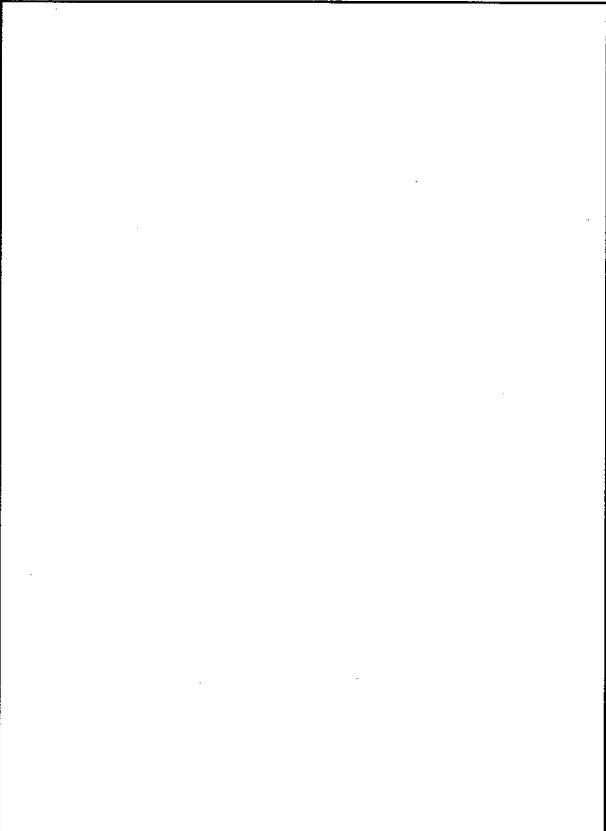
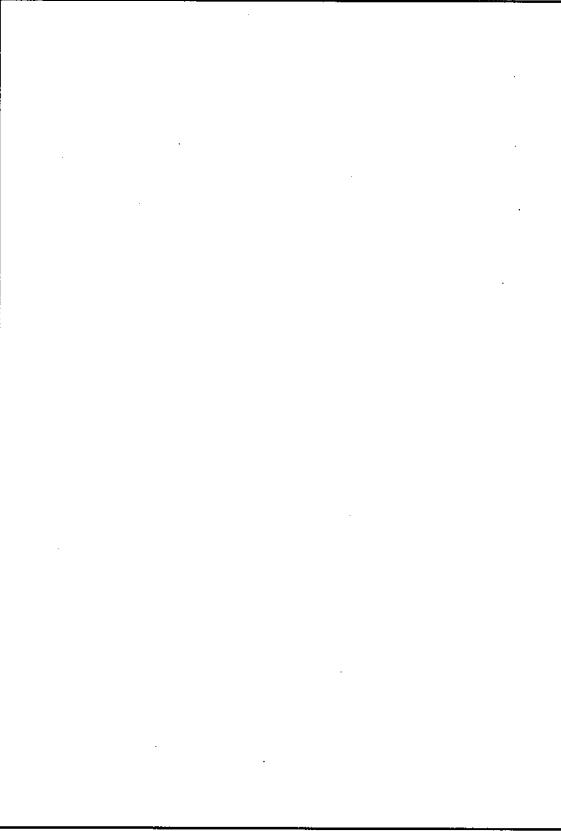
核燃料輸送物設計変更承認申請に係る変更前後表

前回申請書 (平成 30 年 8 月 17 日付三原燃第 18-393 号をもって申請 (平成 31 年 2 月 5 日付三原燃第 18-1013 号をもって一部補正))	今回の核燃料輸送物設計変更承認申請	備考
 (単位 : mm) (v) - D - 8	 (単位 : mm) (v) - D - 8	-

核燃料輸送物設計変更承認申請に係る変更前後表

前回申請書 (平成30年8月17日付三原燃第18-393号をもって申請 (平成31年2月5日付三原燃第18-1013号をもって一部補正))	今回の核燃料輸送物設計変更承認申請	備考
 (単位:mm) (v) - 第D.3図 一般の試験条件の遮蔽解析モデル（蓋部方向） (#) - D - 9	 (単位:mm) (v) - 第D.3図 一般の試験条件の遮蔽解析モデル（蓋部方向） (#) - D - 9	-

核燃料輸送物設計変更承認申請に係る変更前後表

前回申請書 (平成30年8月17日付三原燃第18-393号をもって申請 (平成31年2月5日付三原燃第18-1013号をもって一部補正))	今回の核燃料輸送物設計変更承認申請	備考
 (単位:mm) (a) - 第D.4図 一般の試験条件の遮蔽解析モデル (底部方向) (e) - D - 10	 (単位:mm) (v) - 第D.4図 一般の試験条件の遮蔽解析モデル (底部方向) (v) - D - 10	-

核燃料輸送物設計変更承認申請に係る変更前後表

前回申請書 (平成30年8月17日付三原燃第18-393号をもって申請 (平成31年2月5日付三原燃第18-1013号をもって一部補正))	今回の核燃料輸送物設計変更承認申請	備考																																																																																																																								
<p>D.3.2 解析モデル各領域における原子個数密度</p> <p>遮蔽解析で用いた各領域における各物質の原子個数密度を(e)一第D.4表に示す。</p> <p>なお、解析で用いた寸法と原子個数密度は、常温における値を用いた。</p> <p>(e)一第D.4表 遮蔽解析で用いる物質の原子個数密度(1/4)</p> <table border="1"> <thead> <tr> <th>領域</th> <th>密度 (g/cm³)</th> <th>体積比 (%)</th> <th>核種</th> <th>原子個数密度 (atoms/barn·cm)</th> </tr> </thead> <tbody> <tr> <td>1.1 ハンドル部 (バスケット外)</td> <td>燃料構造材 (ステンレス鋼)</td> <td>7.9</td> <td>Cr Fe Ni Ti Cr Fe Ni Zr Sn</td> <td></td> </tr> <tr> <td>1.2.1 上部グリッド部 (バスケット外)</td> <td>被覆管 (ジルカロイ)</td> <td>6.55</td> <td></td> <td></td> </tr> <tr> <td></td> <td>燃料構造材 (ステンレス鋼)</td> <td>7.9</td> <td></td> <td></td> </tr> <tr> <td></td> <td>燃料構造材 (インコネル)</td> <td>8.25</td> <td></td> <td></td> </tr> <tr> <td>1.2.2 上部グリッド部 (バスケット領域)</td> <td>被覆管 (ジルカロイ)</td> <td>6.55</td> <td>¹⁰B Ti Cr Fe Ni Zr Sn</td> <td></td> </tr> <tr> <td></td> <td>燃料構造材 (ステンレス鋼)</td> <td>7.9</td> <td></td> <td></td> </tr> <tr> <td></td> <td>燃料構造材 (インコネル)</td> <td>8.25</td> <td></td> <td></td> </tr> <tr> <td></td> <td>バスケット (ボロン入り ステンレス鋼)</td> <td>7.8</td> <td></td> <td></td> </tr> <tr> <td>1.3 上部プレナム部</td> <td>被覆管 (ジルカロイ)</td> <td>6.55</td> <td>¹⁰B Cr Fe Ni Zr Sn</td> <td></td> </tr> <tr> <td></td> <td>燃料構造材 (ステンレス鋼)</td> <td>7.9</td> <td></td> <td></td> </tr> <tr> <td></td> <td>バスケット (ボロン入り ステンレス鋼)</td> <td>7.8</td> <td></td> <td></td> </tr> </tbody> </table> <p>(e) D-11</p>	領域	密度 (g/cm ³)	体積比 (%)	核種	原子個数密度 (atoms/barn·cm)	1.1 ハンドル部 (バスケット外)	燃料構造材 (ステンレス鋼)	7.9	Cr Fe Ni Ti Cr Fe Ni Zr Sn		1.2.1 上部グリッド部 (バスケット外)	被覆管 (ジルカロイ)	6.55				燃料構造材 (ステンレス鋼)	7.9				燃料構造材 (インコネル)	8.25			1.2.2 上部グリッド部 (バスケット領域)	被覆管 (ジルカロイ)	6.55	¹⁰ B Ti Cr Fe Ni Zr Sn			燃料構造材 (ステンレス鋼)	7.9				燃料構造材 (インコネル)	8.25				バスケット (ボロン入り ステンレス鋼)	7.8			1.3 上部プレナム部	被覆管 (ジルカロイ)	6.55	¹⁰ B Cr Fe Ni Zr Sn			燃料構造材 (ステンレス鋼)	7.9				バスケット (ボロン入り ステンレス鋼)	7.8			<p>D.3.2 解析モデル各領域における原子個数密度</p> <p>遮蔽解析で用いた各領域における各物質の原子個数密度を(e)一第D.4表に示す。</p> <p>なお、解析で用いた寸法と原子個数密度は、常温における値を用いた。</p> <p>(e)一第D.4表 遮蔽解析で用いる物質の原子個数密度(1/4)</p> <table border="1"> <thead> <tr> <th>領域</th> <th>密度 (g/cm³)</th> <th>体積比 (%)</th> <th>核種</th> <th>原子個数密度 (atoms/barn·cm)</th> </tr> </thead> <tbody> <tr> <td>1.1 ハンドル部 (バスケット外)</td> <td>燃料構造材 (ステンレス鋼)</td> <td>7.9</td> <td>Cr Fe Ni Ti Cr Fe Ni Zr Sn</td> <td></td> </tr> <tr> <td>1.2.1 上部グリッド部 (バスケット外)</td> <td>被覆管 (ジルカロイ)</td> <td>6.55</td> <td></td> <td></td> </tr> <tr> <td></td> <td>燃料構造材 (ステンレス鋼)</td> <td>7.9</td> <td></td> <td></td> </tr> <tr> <td></td> <td>燃料構造材 (インコネル)</td> <td>8.25</td> <td></td> <td></td> </tr> <tr> <td>1.2.2 上部グリッド部 (バスケット領域)</td> <td>被覆管 (ジルカロイ)</td> <td>6.55</td> <td>¹⁰B Ti Cr Fe Ni Zr Sn</td> <td></td> </tr> <tr> <td></td> <td>燃料構造材 (ステンレス鋼)</td> <td>7.9</td> <td></td> <td></td> </tr> <tr> <td></td> <td>燃料構造材 (インコネル)</td> <td>8.25</td> <td></td> <td></td> </tr> <tr> <td></td> <td>バスケット (ボロン入り ステンレス鋼)</td> <td>7.8</td> <td></td> <td></td> </tr> <tr> <td>1.3 上部プレナム部</td> <td>被覆管 (ジルカロイ)</td> <td>6.55</td> <td>¹⁰B Cr Fe Ni Zr Sn</td> <td></td> </tr> <tr> <td></td> <td>燃料構造材 (ステンレス鋼)</td> <td>7.9</td> <td></td> <td></td> </tr> <tr> <td></td> <td>バスケット (ボロン入り ステンレス鋼)</td> <td>7.8</td> <td></td> <td></td> </tr> </tbody> </table> <p>(e) D-11</p>	領域	密度 (g/cm ³)	体積比 (%)	核種	原子個数密度 (atoms/barn·cm)	1.1 ハンドル部 (バスケット外)	燃料構造材 (ステンレス鋼)	7.9	Cr Fe Ni Ti Cr Fe Ni Zr Sn		1.2.1 上部グリッド部 (バスケット外)	被覆管 (ジルカロイ)	6.55				燃料構造材 (ステンレス鋼)	7.9				燃料構造材 (インコネル)	8.25			1.2.2 上部グリッド部 (バスケット領域)	被覆管 (ジルカロイ)	6.55	¹⁰ B Ti Cr Fe Ni Zr Sn			燃料構造材 (ステンレス鋼)	7.9				燃料構造材 (インコネル)	8.25				バスケット (ボロン入り ステンレス鋼)	7.8			1.3 上部プレナム部	被覆管 (ジルカロイ)	6.55	¹⁰ B Cr Fe Ni Zr Sn			燃料構造材 (ステンレス鋼)	7.9				バスケット (ボロン入り ステンレス鋼)	7.8			<ul style="list-style-type: none"> 記載の適正化
領域	密度 (g/cm ³)	体積比 (%)	核種	原子個数密度 (atoms/barn·cm)																																																																																																																						
1.1 ハンドル部 (バスケット外)	燃料構造材 (ステンレス鋼)	7.9	Cr Fe Ni Ti Cr Fe Ni Zr Sn																																																																																																																							
1.2.1 上部グリッド部 (バスケット外)	被覆管 (ジルカロイ)	6.55																																																																																																																								
	燃料構造材 (ステンレス鋼)	7.9																																																																																																																								
	燃料構造材 (インコネル)	8.25																																																																																																																								
1.2.2 上部グリッド部 (バスケット領域)	被覆管 (ジルカロイ)	6.55	¹⁰ B Ti Cr Fe Ni Zr Sn																																																																																																																							
	燃料構造材 (ステンレス鋼)	7.9																																																																																																																								
	燃料構造材 (インコネル)	8.25																																																																																																																								
	バスケット (ボロン入り ステンレス鋼)	7.8																																																																																																																								
1.3 上部プレナム部	被覆管 (ジルカロイ)	6.55	¹⁰ B Cr Fe Ni Zr Sn																																																																																																																							
	燃料構造材 (ステンレス鋼)	7.9																																																																																																																								
	バスケット (ボロン入り ステンレス鋼)	7.8																																																																																																																								
領域	密度 (g/cm ³)	体積比 (%)	核種	原子個数密度 (atoms/barn·cm)																																																																																																																						
1.1 ハンドル部 (バスケット外)	燃料構造材 (ステンレス鋼)	7.9	Cr Fe Ni Ti Cr Fe Ni Zr Sn																																																																																																																							
1.2.1 上部グリッド部 (バスケット外)	被覆管 (ジルカロイ)	6.55																																																																																																																								
	燃料構造材 (ステンレス鋼)	7.9																																																																																																																								
	燃料構造材 (インコネル)	8.25																																																																																																																								
1.2.2 上部グリッド部 (バスケット領域)	被覆管 (ジルカロイ)	6.55	¹⁰ B Ti Cr Fe Ni Zr Sn																																																																																																																							
	燃料構造材 (ステンレス鋼)	7.9																																																																																																																								
	燃料構造材 (インコネル)	8.25																																																																																																																								
	バスケット (ボロン入り ステンレス鋼)	7.8																																																																																																																								
1.3 上部プレナム部	被覆管 (ジルカロイ)	6.55	¹⁰ B Cr Fe Ni Zr Sn																																																																																																																							
	燃料構造材 (ステンレス鋼)	7.9																																																																																																																								
	バスケット (ボロン入り ステンレス鋼)	7.8																																																																																																																								

核燃料輸送物設計変更承認申請に係る変更前後表

前回申請書 (平成30年8月17日付三原燃第18-393号をもって申請 (平成31年2月5日付三原燃第18-1013号をもって一部補正))				今回の核燃料輸送物設計変更承認申請				備考																																																																																																																																
<p>(v) 第D.4表 遮蔽解析で用いる物質の原子個数密度 (2/4)</p> <table border="1"> <thead> <tr> <th>領域</th> <th>密度 (g/cm³)</th> <th>体積比 (%)</th> <th>核種</th> <th>原子個数密度 (atoms/barn·cm)</th> </tr> </thead> <tbody> <tr> <td rowspan="8">1.4 燃料有効部</td> <td>燃料ペレット</td> <td>10.63</td> <td>O</td> <td></td> </tr> <tr> <td>被覆管 (ジルカロイ)</td> <td>6.55</td> <td>¹⁰B</td> <td></td> </tr> <tr> <td></td> <td></td> <td>Ti</td> <td></td> </tr> <tr> <td></td> <td></td> <td>Cr</td> <td></td> </tr> <tr> <td></td> <td></td> <td>Fe</td> <td></td> </tr> <tr> <td></td> <td></td> <td>Ni</td> <td></td> </tr> <tr> <td></td> <td></td> <td>Zr</td> <td></td> </tr> <tr> <td></td> <td></td> <td>Sn</td> <td></td> </tr> <tr> <td rowspan="8">1.5 下部タイプレート 部</td> <td>被覆管 (ジルカロイ)</td> <td>6.55</td> <td>²³⁵U ²³⁸U</td> <td></td> </tr> <tr> <td>燃料構造材 (ステンレス鋼)</td> <td>7.9</td> <td>Ti</td> <td></td> </tr> <tr> <td></td> <td></td> <td>Cr</td> <td></td> </tr> <tr> <td></td> <td></td> <td>Fe</td> <td></td> </tr> <tr> <td></td> <td></td> <td>Ni</td> <td></td> </tr> <tr> <td></td> <td></td> <td>Zr</td> <td></td> </tr> <tr> <td></td> <td></td> <td>Sn</td> <td></td> </tr> </tbody> </table>	領域	密度 (g/cm ³)	体積比 (%)	核種	原子個数密度 (atoms/barn·cm)	1.4 燃料有効部	燃料ペレット	10.63	O		被覆管 (ジルカロイ)	6.55	¹⁰ B				Ti				Cr				Fe				Ni				Zr				Sn		1.5 下部タイプレート 部	被覆管 (ジルカロイ)	6.55	²³⁵ U ²³⁸ U		燃料構造材 (ステンレス鋼)	7.9	Ti				Cr				Fe				Ni				Zr				Sn		<p>(v) 第D.4表 遮蔽解析で用いる物質の原子個数密度 (2/4)</p> <table border="1"> <thead> <tr> <th>領域</th> <th>密度 (g/cm³)</th> <th>体積比 (%)</th> <th>核種</th> <th>原子個数密度 (atoms/barn·cm)</th> </tr> </thead> <tbody> <tr> <td rowspan="8">1.4 燃料有効部</td> <td>燃料ペレット</td> <td>10.63</td> <td>O</td> <td></td> </tr> <tr> <td>被覆管 (ジルカロイ)</td> <td>6.55</td> <td>¹⁰B</td> <td></td> </tr> <tr> <td></td> <td></td> <td>Ti</td> <td></td> </tr> <tr> <td></td> <td></td> <td>Cr</td> <td></td> </tr> <tr> <td></td> <td></td> <td>Fe</td> <td></td> </tr> <tr> <td></td> <td></td> <td>Ni</td> <td></td> </tr> <tr> <td></td> <td></td> <td>Zr</td> <td></td> </tr> <tr> <td></td> <td></td> <td>Sn</td> <td></td> </tr> <tr> <td rowspan="8">1.5 下部タイプレート 部</td> <td>被覆管 (ジルカロイ)</td> <td>6.55</td> <td>²³⁵U ²³⁸U</td> <td></td> </tr> <tr> <td>燃料構造材 (ステンレス鋼)</td> <td>7.9</td> <td>Ti</td> <td></td> </tr> <tr> <td></td> <td></td> <td>Cr</td> <td></td> </tr> <tr> <td></td> <td></td> <td>Fe</td> <td></td> </tr> <tr> <td></td> <td></td> <td>Ni</td> <td></td> </tr> <tr> <td></td> <td></td> <td>Zr</td> <td></td> </tr> <tr> <td></td> <td></td> <td>Sn</td> <td></td> </tr> </tbody> </table>	領域	密度 (g/cm ³)	体積比 (%)	核種	原子個数密度 (atoms/barn·cm)	1.4 燃料有効部	燃料ペレット	10.63	O		被覆管 (ジルカロイ)	6.55	¹⁰ B				Ti				Cr				Fe				Ni				Zr				Sn		1.5 下部タイプレート 部	被覆管 (ジルカロイ)	6.55	²³⁵ U ²³⁸ U		燃料構造材 (ステンレス鋼)	7.9	Ti				Cr				Fe				Ni				Zr				Sn		<ul style="list-style-type: none"> 記載の適正化
領域	密度 (g/cm ³)	体積比 (%)	核種	原子個数密度 (atoms/barn·cm)																																																																																																																																				
1.4 燃料有効部	燃料ペレット	10.63	O																																																																																																																																					
	被覆管 (ジルカロイ)	6.55	¹⁰ B																																																																																																																																					
			Ti																																																																																																																																					
			Cr																																																																																																																																					
			Fe																																																																																																																																					
			Ni																																																																																																																																					
			Zr																																																																																																																																					
			Sn																																																																																																																																					
1.5 下部タイプレート 部	被覆管 (ジルカロイ)	6.55	²³⁵ U ²³⁸ U																																																																																																																																					
	燃料構造材 (ステンレス鋼)	7.9	Ti																																																																																																																																					
			Cr																																																																																																																																					
			Fe																																																																																																																																					
			Ni																																																																																																																																					
			Zr																																																																																																																																					
			Sn																																																																																																																																					
	領域	密度 (g/cm ³)	体積比 (%)	核種	原子個数密度 (atoms/barn·cm)																																																																																																																																			
1.4 燃料有効部	燃料ペレット	10.63	O																																																																																																																																					
	被覆管 (ジルカロイ)	6.55	¹⁰ B																																																																																																																																					
			Ti																																																																																																																																					
			Cr																																																																																																																																					
			Fe																																																																																																																																					
			Ni																																																																																																																																					
			Zr																																																																																																																																					
			Sn																																																																																																																																					
1.5 下部タイプレート 部	被覆管 (ジルカロイ)	6.55	²³⁵ U ²³⁸ U																																																																																																																																					
	燃料構造材 (ステンレス鋼)	7.9	Ti																																																																																																																																					
			Cr																																																																																																																																					
			Fe																																																																																																																																					
			Ni																																																																																																																																					
			Zr																																																																																																																																					
			Sn																																																																																																																																					
	(v) - D - 12	(v) - D - 12																																																																																																																																						

核燃料輸送物設計変更承認申請に係る変更前後表

前回申請書 (平成 30 年 8 月 17 日付三原燃第 18-393 号をもって申請 (平成 31 年 2 月 5 日付三原燃第 18-1013 号をもって一部補正))	今回の核燃料輸送物設計変更承認申請	備考																																																												
<p>(n) - 第 D.4 表 遮蔽解析で用いる物質の原子個数密度 (3/4)</p> <table border="1"> <thead> <tr> <th>領域</th> <th>密度 (g/cm³)</th> <th>体積比 (%)</th> <th>核種</th> <th>原子個数密度 (atoms /barn·cm)</th> </tr> </thead> <tbody> <tr> <td>2. 内筒・胴外板・底板 (■ステンレス鋼)</td> <td>7.8</td> <td></td> <td>Cr Fe Ni Cu Mo</td> <td></td> </tr> <tr> <td>3. レジンカバー (ステンレス鋼)</td> <td>7.9</td> <td></td> <td>Cr Fe Ni</td> <td></td> </tr> <tr> <td>4. 蓋板 (チタン合金)</td> <td>4.42</td> <td></td> <td>Al Ti</td> <td></td> </tr> <tr> <td>5. 脊部レジン層</td> <td></td> <td></td> <td>レジン</td> <td>-①</td> </tr> <tr> <td></td> <td></td> <td></td> <td>■ステンレス鋼</td> <td>7.8</td> </tr> </tbody> </table> <p>注1) レジンについては、仕様として原子個数密度により規定している。</p>	領域	密度 (g/cm ³)	体積比 (%)	核種	原子個数密度 (atoms /barn·cm)	2. 内筒・胴外板・底板 (■ステンレス鋼)	7.8		Cr Fe Ni Cu Mo		3. レジンカバー (ステンレス鋼)	7.9		Cr Fe Ni		4. 蓋板 (チタン合金)	4.42		Al Ti		5. 脊部レジン層			レジン	-①				■ステンレス鋼	7.8	<p>(n) - 第 D.4 表 遮蔽解析で用いる物質の原子個数密度 (3/4)</p> <table border="1"> <thead> <tr> <th>領域</th> <th>密度 (g/cm³)</th> <th>体積比 (%)</th> <th>核種</th> <th>原子個数密度 (atoms /barn·cm)</th> </tr> </thead> <tbody> <tr> <td>2. 内筒・胴外板・底板 (■ステンレス鋼)</td> <td>7.8</td> <td></td> <td>Cr Fe Ni Cu Mo</td> <td></td> </tr> <tr> <td>3. レジンカバー (ステンレス鋼)</td> <td>7.9</td> <td></td> <td>Cr Fe Ni</td> <td></td> </tr> <tr> <td>4. 蓋板 (チタン合金)</td> <td>4.42</td> <td></td> <td>Al Ti</td> <td></td> </tr> <tr> <td>5. 脊部レジン層</td> <td></td> <td></td> <td>レジン</td> <td>-①</td> </tr> <tr> <td></td> <td></td> <td></td> <td>■ステンレス鋼</td> <td>7.8</td> </tr> </tbody> </table> <p>注1) レジンについては、仕様として原子個数密度により規定している。</p>	領域	密度 (g/cm ³)	体積比 (%)	核種	原子個数密度 (atoms /barn·cm)	2. 内筒・胴外板・底板 (■ステンレス鋼)	7.8		Cr Fe Ni Cu Mo		3. レジンカバー (ステンレス鋼)	7.9		Cr Fe Ni		4. 蓋板 (チタン合金)	4.42		Al Ti		5. 脊部レジン層			レジン	-①				■ステンレス鋼	7.8	<p>・記載の適正化</p>
領域	密度 (g/cm ³)	体積比 (%)	核種	原子個数密度 (atoms /barn·cm)																																																										
2. 内筒・胴外板・底板 (■ステンレス鋼)	7.8		Cr Fe Ni Cu Mo																																																											
3. レジンカバー (ステンレス鋼)	7.9		Cr Fe Ni																																																											
4. 蓋板 (チタン合金)	4.42		Al Ti																																																											
5. 脊部レジン層			レジン	-①																																																										
			■ステンレス鋼	7.8																																																										
領域	密度 (g/cm ³)	体積比 (%)	核種	原子個数密度 (atoms /barn·cm)																																																										
2. 内筒・胴外板・底板 (■ステンレス鋼)	7.8		Cr Fe Ni Cu Mo																																																											
3. レジンカバー (ステンレス鋼)	7.9		Cr Fe Ni																																																											
4. 蓋板 (チタン合金)	4.42		Al Ti																																																											
5. 脊部レジン層			レジン	-①																																																										
			■ステンレス鋼	7.8																																																										

核燃料輸送物設計変更承認申請に係る変更前後表

前回申請書 (平成30年8月17日付三原燃第18-393号をもって申請 (平成31年2月5日付三原燃第18-1013号をもって一部補正))					今回の核燃料輸送物設計変更承認申請					備考																																																																													
(v) - 第D.4表 遮蔽解析で用いる物質の原子個数密度 (4/4)																																																																																							
<table border="1" style="width: 100%; border-collapse: collapse;"> <thead> <tr> <th>領域</th><th>密度 (g/cm³)</th><th>体積比 (%)</th><th>核種</th><th>原子個数密度 (atoms /barn·cm)</th><th>領域</th><th>密度 (g/cm³)</th><th>体積比 (%)</th><th>核種</th><th>原子個数密度 (atoms /barn·cm)</th><th>備考</th></tr> </thead> <tbody> <tr> <td>6. 蓋部レジン・底部レジン (レジン)</td><td>-0</td><td></td><td>H ¹⁰B C O Al ¹⁰B Cr Fe Ni Mg Al Cu Al Cu Mg Al N O</td><td></td><td>6. 蓋部レジン・底部レジン (レジン)</td><td>-0</td><td></td><td>H ¹⁰B C O Al ¹⁰B Cr Fe Ni Mg Al Cu Al Cu Mg Al N O</td><td></td><td>・記載の適正化</td></tr> <tr> <td>7. ロジメント (ボロン入りステンレス鋼)</td><td>7.8</td><td></td><td></td><td></td><td>7. ロジメント (ボロン入りステンレス鋼)</td><td>7.8</td><td></td><td></td><td></td><td></td></tr> <tr> <td>8. パスケットサポート底板 (アルミニウム合金)</td><td>2.78</td><td></td><td></td><td></td><td>8. パスケットサポート底板 (アルミニウム合金)</td><td>2.78</td><td></td><td></td><td></td><td></td></tr> <tr> <td>9. 追加遮蔽板 (アルミニウム合金)</td><td>2.84</td><td></td><td></td><td></td><td>9. 追加遮蔽板 (アルミニウム合金)</td><td>2.84</td><td></td><td></td><td></td><td></td></tr> <tr> <td>10. アルミスペーサー (アルミニウム合金)</td><td>2.70</td><td></td><td></td><td></td><td>10. アルミスペーサー (アルミニウム合金)</td><td>2.70</td><td></td><td></td><td></td><td></td></tr> <tr> <td>11. 空気</td><td>1.205 $\times 10^{-3}$</td><td></td><td></td><td></td><td>11. 空気</td><td>1.205 $\times 10^{-3}$</td><td></td><td></td><td></td><td></td></tr> </tbody> </table>											領域	密度 (g/cm ³)	体積比 (%)	核種	原子個数密度 (atoms /barn·cm)	領域	密度 (g/cm ³)	体積比 (%)	核種	原子個数密度 (atoms /barn·cm)	備考	6. 蓋部レジン・底部レジン (レジン)	-0		H ¹⁰ B C O Al ¹⁰ B Cr Fe Ni Mg Al Cu Al Cu Mg Al N O		6. 蓋部レジン・底部レジン (レジン)	-0		H ¹⁰ B C O Al ¹⁰ B Cr Fe Ni Mg Al Cu Al Cu Mg Al N O		・記載の適正化	7. ロジメント (ボロン入りステンレス鋼)	7.8				7. ロジメント (ボロン入りステンレス鋼)	7.8					8. パスケットサポート底板 (アルミニウム合金)	2.78				8. パスケットサポート底板 (アルミニウム合金)	2.78					9. 追加遮蔽板 (アルミニウム合金)	2.84				9. 追加遮蔽板 (アルミニウム合金)	2.84					10. アルミスペーサー (アルミニウム合金)	2.70				10. アルミスペーサー (アルミニウム合金)	2.70					11. 空気	1.205 $\times 10^{-3}$				11. 空気	1.205 $\times 10^{-3}$				
領域	密度 (g/cm ³)	体積比 (%)	核種	原子個数密度 (atoms /barn·cm)	領域	密度 (g/cm ³)	体積比 (%)	核種	原子個数密度 (atoms /barn·cm)	備考																																																																													
6. 蓋部レジン・底部レジン (レジン)	-0		H ¹⁰ B C O Al ¹⁰ B Cr Fe Ni Mg Al Cu Al Cu Mg Al N O		6. 蓋部レジン・底部レジン (レジン)	-0		H ¹⁰ B C O Al ¹⁰ B Cr Fe Ni Mg Al Cu Al Cu Mg Al N O		・記載の適正化																																																																													
7. ロジメント (ボロン入りステンレス鋼)	7.8				7. ロジメント (ボロン入りステンレス鋼)	7.8																																																																																	
8. パスケットサポート底板 (アルミニウム合金)	2.78				8. パスケットサポート底板 (アルミニウム合金)	2.78																																																																																	
9. 追加遮蔽板 (アルミニウム合金)	2.84				9. 追加遮蔽板 (アルミニウム合金)	2.84																																																																																	
10. アルミスペーサー (アルミニウム合金)	2.70				10. アルミスペーサー (アルミニウム合金)	2.70																																																																																	
11. 空気	1.205 $\times 10^{-3}$				11. 空気	1.205 $\times 10^{-3}$																																																																																	
注1) レジンについては、仕様として原子個数密度により規定している。																																																																																							
(v) - D - 14					(v) - D - 14																																																																																		

核燃料輸送物設計変更承認申請に係る変更前後表

前回申請書 (平成 30 年 8 月 17 日付三原燃第 18-393 号をもって申請 (平成 31 年 2 月 5 日付三原燃第 18-1013 号をもって一部補正))	今回の核燃料輸送物設計変更承認申請	備考
<p>D.4 遮蔽評価</p> <p>輸送物の通常輸送時及び一般の試験条件における線量当量率を評価するために用いた手法と計算結果を以下に示す。</p> <p>(1) 遮蔽評価手法</p> <p>ガンマ線の線量当量率の計算には DORT コードを用いる。 反応断面積は SCALE ライブライアリを使用する。 本ライブライアリは、米国オーリッジ国立研究所により ENDF/B-VII 核データファイルを用いて作成されたものである。 このデータのガンマ線のエネルギー群数は 47 である。この群構造に対応した線束から線量当量率への変換係数は ICRP Publication 74^[4]に基づいている。</p> <p>(2) 計算結果</p> <p>通常輸送時及び一般の試験条件における、輸送物の蓋部方向、側面方向、底部方向の最大線量当量率の計算結果を (v) 第 D.5 表に示す。 同表に示すように、輸送物の表面及び表面から 1m 離れた位置における線量当量率は、規則及び告示に定められた基準値を下回る。 また、一般の試験条件での輸送物の変形は衝撃吸収カバーのみであり容器本体に変形は生じないため、最大線量当量率の位置及び値は通常輸送時から変化しない。 したがって、一般的の試験条件において輸送物表面における最大線量当量率が著しく増加することはない。</p>	<p>D.4 遮蔽評価</p> <p>輸送物の通常輸送時及び一般の試験条件における線量当量率を評価するために用いた手法と計算結果を以下に示す。</p> <p>(1) 遮蔽評価手法</p> <p>ガンマ線の線量当量率の計算には DORT コードを用いる。 反応断面積は SCALE ライブライアリを使用する。 本ライブライアリは、米国オーリッジ国立研究所により ENDF/B-VII 核データファイルを用いて作成されたものである。 このデータのガンマ線のエネルギー群数は 47 である。この群構造に対応した線束から線量当量率への変換係数は ICRP Publication 74^[4]に基づいている。</p> <p>(2) 計算結果</p> <p>通常輸送時及び一般の試験条件における、輸送物の蓋部方向、側面方向、底部方向の最大線量当量率の計算結果を (v) 第 D.5 表に示す。 同表に示すように、輸送物の表面及び表面から 1m 離れた位置における線量当量率は、規則及び告示に定められた基準値を下回る。 また、一般的の試験条件での輸送物の変形は衝撃吸収カバーのみで、最大線量当量率の位置及び値は通常輸送時から変化しない。 したがって、一般的の試験条件において輸送物表面における最大線量当量率が著しく増加することはない。</p>	<ul style="list-style-type: none"> ・記載の適正化

核燃料輸送物設計変更承認申請に係る変更前後表

前回申請書 (平成 30 年 8 月 17 日付三原燃第 18-393 号をもって申請 (平成 31 年 2 月 5 日付三原燃第 18-1013 号をもって一部補正))							今回の核燃料輸送物設計変更承認申請							備考						
(a) 第 D.5 表 輸送物各部の最大線量当量率 ¹⁾ (単位: $\mu\text{Sv}/\text{h}$)							(b) 第 D.5 表 輸送物各部の最大線量当量率 ¹⁾ (単位: $\mu\text{Sv}/\text{h}$)													
通常輸送時		輸送物表面			表面より 1m の点				輸送物表面			表面より 1m の点								
		蓋部	側面	底部	蓋部	側面	底部	蓋部	側面	底部	蓋部	側面	底部	蓋部	側面	底部				
		燃料組成由来 のガンマ線			燃料組成由來 のガンマ線			燃料組成由來 のガンマ線			燃料組成由來 のガンマ線			燃料組成由來 のガンマ線						
通常輸送時																通常輸送時				
一般の試験条件																一般の試験条件				
基準値		通常輸送時			100				通常輸送時			100				基準値		—		
基準値		一般の試験条件			—				一般の試験条件			—				基準値		—		
注1) 最大線量当量率は、小数点第一位を切り上げて整数表示している。																				
(a) - D - 16							(a) - D - 16													

- ・収納物の追加に伴う記載の見直し
- ・知見の更新に関する記載の見直し（解析結果の変更）

核燃料輸送物設計変更承認申請に係る変更前後表

前回申請書 (平成 30 年 8 月 17 日付三原燃第 18-393 号をもって申請 (平成 31 年 2 月 5 日付三原燃第 18-1013 号をもって一部補正))	今回の核燃料輸送物設計変更承認申請	備考																																						
<p>D.5 結果の要約及びその評価</p> <p>輸送物の通常輸送時及び一般の試験条件における解析結果の要約を (e) 第 D.6 表に示す。</p> <p>計算から得られた最大線量当量率は、(e) 第 D.6 表に示すとおりであり、規則及び告示で定められた基準値を下回る。また、一般の試験条件における最大線量当量率の著しい増加は生じない。</p> <p>(e) 第 D.6 表 解析結果の要約</p> <p>(単位: $\mu\text{Sv}/\text{h}$)</p> <table border="1"> <thead> <tr> <th rowspan="2"></th> <th colspan="2">輸送物表面</th> <th colspan="2">表面より 1m の点</th> </tr> <tr> <th>最大線量当量率</th> <th>基準値</th> <th>最大線量当量率</th> <th>基準値</th> </tr> </thead> <tbody> <tr> <td>通常輸送時</td> <td>[]</td> <td>2,000</td> <td>[]</td> <td>100</td> </tr> <tr> <td>一般の試験条件</td> <td>[]</td> <td>2,000</td> <td></td> <td></td> </tr> </tbody> </table> <p>(e) - D - 17</p>		輸送物表面		表面より 1m の点		最大線量当量率	基準値	最大線量当量率	基準値	通常輸送時	[]	2,000	[]	100	一般の試験条件	[]	2,000			<p>D.5 結果の要約及びその評価</p> <p>輸送物の通常輸送時及び一般の試験条件における解析結果の要約を (e) 第 D.6 表に示す。</p> <p>計算から得られた最大線量当量率は、(e) 第 D.6 表に示すとおりであり、規則及び告示で定められた基準値を下回る。また、一般の試験条件における最大線量当量率の著しい増加は生じない。</p> <p>(e) 第 D.6 表 解析結果の要約</p> <p>(単位: $\mu\text{Sv}/\text{h}$)</p> <table border="1"> <thead> <tr> <th rowspan="2"></th> <th colspan="2">輸送物表面</th> <th colspan="2">表面より 1m の点</th> </tr> <tr> <th>最大線量当量率</th> <th>基準値</th> <th>最大線量当量率</th> <th>基準値</th> </tr> </thead> <tbody> <tr> <td>通常輸送時</td> <td>[]</td> <td>2,000</td> <td>[]</td> <td>100</td> </tr> <tr> <td>一般の試験条件</td> <td>[]</td> <td>2,000</td> <td></td> <td></td> </tr> </tbody> </table> <p>(e) - D - 17</p>		輸送物表面		表面より 1m の点		最大線量当量率	基準値	最大線量当量率	基準値	通常輸送時	[]	2,000	[]	100	一般の試験条件	[]	2,000			<ul style="list-style-type: none"> ・知見の更新に関する記載の見直し（解析結果の変更）
		輸送物表面		表面より 1m の点																																				
	最大線量当量率	基準値	最大線量当量率	基準値																																				
通常輸送時	[]	2,000	[]	100																																				
一般の試験条件	[]	2,000																																						
	輸送物表面		表面より 1m の点																																					
	最大線量当量率	基準値	最大線量当量率	基準値																																				
通常輸送時	[]	2,000	[]	100																																				
一般の試験条件	[]	2,000																																						

核燃料輸送物設計変更承認申請に係る変更前後表

前回申請書 (平成30年8月17日付三原燃第18-393号をもって申請 (平成31年2月5日付三原燃第18-1013号をもって一部補正))	今回の核燃料輸送物設計変更承認申請	備考
	<p>D.6 付属書類</p> <p>D.6.1 付属書類-1 燃料集合体の表面汚染について</p> <p>本輸送容器の収納物は、使用済み燃料プール水中に保管されていた未使用のBWR燃料集合体で、プール水及び汚染核種を含む瓦礫が付着している。</p> <p>当該燃料集合体は、(a)章に示すように、輸送容器への収納に先だって、必要に応じて、汚染除去のための洗浄が施されるが、汚染の一部は燃料集合体表面に残留していることが想定される。</p> <p>本付属書類では、汚染核種を含む瓦礫について、含まれる核種の種類とその放射能の量を説明する。なお、本付属書類において、核種の同位体の判別を容易にするため、質量数は元素記号の後に記載する表記をしている。(例 $^{60}\text{Co} \rightarrow \text{Co-60}$, $^{137}\text{Cs} \rightarrow \text{Cs-137}$)</p> <p>(1) 燃料集合体に付着している瓦礫について</p> <p>汚染核種の分析のために、燃料集合体に付着している瓦礫を採取した。燃料集合体は使用済み燃料プールに保管されていることから、付着している瓦礫を水中で吸い込み、フィルターで捕集した。</p> <p>燃料集合体5体より合計約3gの瓦礫を得た。以降、採取した瓦礫を瓦礫サンプルと呼ぶ。</p> <p>(2) 瓦礫サンプルの分析</p> <p>採取した瓦礫サンプルは、以下の要領で分析した。</p> <p>① アルファ線の測定</p> <p>瓦礫サンプルから放出されるアルファ線を、アルファ線サーベイメーターにて測定した。測定結果に基づきアルファ線を放出する核種（いわゆるアクチノイド核種）を評価した。</p> <p>② ガンマ線の測定</p> <p>瓦礫サンプルより放出されるガンマ線を測定し、ガンマ線スペクトル分析を行った。測定されたガンマ線のエネルギー値とその計測数（カウント数）の関係より、瓦礫サンプルに含まれる核種の種類、及びその放射能の量を評価した。</p> <p>③ ベータ線の測定</p> <p>瓦礫サンプルには、ベータ線のみ放出する核種（以下、ベータ核種）が含まれている可能性がある。ベータ核種は、瓦礫サンプルより化学的に核種を分離精製し、その放射能の量を評価した。</p> <p>また、分離抽出の困難なベータ核種については、測定可能な核種より、評価に基づきその存在する放射能の量を算出した。</p>	<p>・知見の更新に関する説明の追加</p>

核燃料輸送物設計変更承認申請に係る変更前後表

前回申請書 (平成30年8月17日付三原燃第18-393号をもって申請 (平成31年2月5日付三原燃第18-1013号をもって一部補正))	今回の核燃料輸送物設計変更承認申請	備考																
	<p>(3) 瓦礫サンプルの分析結果</p> <p>瓦礫サンプルの分析結果並びに評価対象の核種を(ア)ー第D.付1.1表に示す。瓦礫に含まれる汚染核種は、放射能の量が多い順に、Co-60、Cs-137、Ni-63、Cs-134、Sr-90を検出した。アルファ線は検出されていない。検出された核種の放射能の量を、(イ)ー第D.付1.3表に示す。</p> <p>(ア)ー第D.付1.1表 瓦礫の分析結果</p> <table border="1"> <thead> <tr> <th>放射線</th> <th>想定される核種</th> <th>分析結果</th> <th>評価対象とする汚染核種</th> </tr> </thead> <tbody> <tr> <td>アルファ線</td> <td>アルファ線を放出する核種(注1)</td> <td>アルファ線は不検出^[4]</td> <td>なし</td> </tr> <tr> <td>ガンマ線</td> <td>ガンマ線を放出する核種(注1)</td> <td>Co-60、Cs-137、Cs-134を検出</td> <td>Co-60 Cs-137 Cs-134</td> </tr> <tr> <td>ベータ線</td> <td>ベータ線のみを放出する核種(注1) Pm-147、Sm-151は、分析の困難なベータ核種であることから、化学的に挙動が類似しておりガムマ線の測定にて検出可能なEu-154より評価^[5]</td> <td>Ni-63、Sr-90を検出 Eu-154は不検出。そのためPm-147、Sm-151は含まれない。</td> <td>Ni-63 Sr-90</td> </tr> </tbody> </table> <p>(注1) 想定される核種は、(イ)ー第D.付1.2表参照。</p> <p>(ア)ーDー19</p>	放射線	想定される核種	分析結果	評価対象とする汚染核種	アルファ線	アルファ線を放出する核種(注1)	アルファ線は不検出 ^[4]	なし	ガンマ線	ガンマ線を放出する核種(注1)	Co-60、Cs-137、Cs-134を検出	Co-60 Cs-137 Cs-134	ベータ線	ベータ線のみを放出する核種(注1) Pm-147、Sm-151は、分析の困難なベータ核種であることから、化学的に挙動が類似しておりガムマ線の測定にて検出可能なEu-154より評価 ^[5]	Ni-63、Sr-90を検出 Eu-154は不検出。そのためPm-147、Sm-151は含まれない。	Ni-63 Sr-90	<ul style="list-style-type: none"> ・知見の更新に関する説明の追加
放射線	想定される核種	分析結果	評価対象とする汚染核種															
アルファ線	アルファ線を放出する核種(注1)	アルファ線は不検出 ^[4]	なし															
ガンマ線	ガンマ線を放出する核種(注1)	Co-60、Cs-137、Cs-134を検出	Co-60 Cs-137 Cs-134															
ベータ線	ベータ線のみを放出する核種(注1) Pm-147、Sm-151は、分析の困難なベータ核種であることから、化学的に挙動が類似しておりガムマ線の測定にて検出可能なEu-154より評価 ^[5]	Ni-63、Sr-90を検出 Eu-154は不検出。そのためPm-147、Sm-151は含まれない。	Ni-63 Sr-90															

核燃料輸送物設計変更承認申請に係る変更前後表

前回申請書 (平成30年8月17日付三原燃第18-393号をもって申請 (平成31年2月5日付三原燃第18-1013号をもって一部補正))	今回の核燃料輸送物設計変更承認申請	備考								
	<p>(4) 想定される核種と測定結果の妥当性</p> <p>瓦砾サンプルに含まれる核種として以下の汚染ルートが考えられる。各汚染ルートで想定される核種と今回の測定結果の妥当性を示す。</p> <p>① 4号機の原子炉建屋における水素爆発の際に瓦砾に付着した核種</p> <p>② 使用済み燃料プールにおけるプール水（クラッドを含む）に含まれる核種で瓦砾に付着した核種。</p> <p>③ 3号機炉心由来の核種</p> <p>1F事故分析中間報告書の4号機原子炉建屋における水素爆発の評価において、爆発前日の4号機屋内の放射線当量率が高い状態にあったことに鑑み、放射性物質を含む気体が3号機側から流入（逆流）してきたと考えることが合理的である、と評価されている^[6]。したがって、3号機炉心に存在する核種が、瓦砾に付着し得る。付着が想定される核種を（a）～（d）、付1.2表に示す。</p> <p>(a) 第D.付1.2表 想定される核種</p> <table border="1"> <thead> <tr> <th>核種</th><th>核種（その放射能の量が多い順）</th></tr> </thead> <tbody> <tr> <td>アルファ線を放出する核種</td><td>Pu-241、Am-241、Cm-244、Np-239等 並びにそれらの同位体核種</td></tr> <tr> <td>ガンマ線を放出する核種</td><td>Co-60、Cs-137（及びその子孫核種Ba-137m）、Kr-85、Cs-134、Eu-154、Eu-155、Sb-125、Ru-106（及びその子孫核種Rh-106）、Te-125m、Ce-144（及びその子孫核種Pr-144）等</td></tr> <tr> <td>ベータ線のみを放出する核種</td><td>Sr-90（及びその子孫核種Y-90）、Pm-147、Sm-151、H-3、Tc-99、Ni-63等</td></tr> </tbody> </table> <ul style="list-style-type: none"> ・ 3号機炉心の放射能について、JAEAが公開している燃焼計算コードORIGEN2による評価結果^[7]の値を用いる。 ・ 農災後10年経過した時点での3号機炉心内の核種を想定する。 	核種	核種（その放射能の量が多い順）	アルファ線を放出する核種	Pu-241、Am-241、Cm-244、Np-239等 並びにそれらの同位体核種	ガンマ線を放出する核種	Co-60、Cs-137（及びその子孫核種Ba-137m）、Kr-85、Cs-134、Eu-154、Eu-155、Sb-125、Ru-106（及びその子孫核種Rh-106）、Te-125m、Ce-144（及びその子孫核種Pr-144）等	ベータ線のみを放出する核種	Sr-90（及びその子孫核種Y-90）、Pm-147、Sm-151、H-3、Tc-99、Ni-63等	<ul style="list-style-type: none"> ・ 知見の更新に関する説明の追加
核種	核種（その放射能の量が多い順）									
アルファ線を放出する核種	Pu-241、Am-241、Cm-244、Np-239等 並びにそれらの同位体核種									
ガンマ線を放出する核種	Co-60、Cs-137（及びその子孫核種Ba-137m）、Kr-85、Cs-134、Eu-154、Eu-155、Sb-125、Ru-106（及びその子孫核種Rh-106）、Te-125m、Ce-144（及びその子孫核種Pr-144）等									
ベータ線のみを放出する核種	Sr-90（及びその子孫核種Y-90）、Pm-147、Sm-151、H-3、Tc-99、Ni-63等									

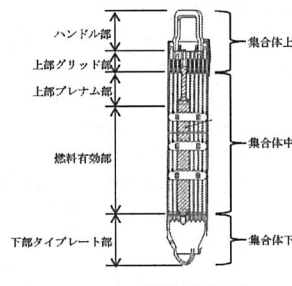
核燃料輸送物設計変更承認申請に係る変更前後表

前回申請書 (平成 30 年 8 月 17 日付三原燃第 18-393 号をもって申請 (平成 31 年 2 月 5 日付三原燃第 18-1013 号をもって一部補正))	今回の核燃料輸送物設計変更承認申請	備考
	<p>② プール水（クラッドを含む）による汚染核種</p> <p>(a) 第 D. 付 1.1 図に示すように 4 号機使用済み燃料プールで採取された瓦礫 Co-60 と Cs-137 の放射能の量の比は、原子炉建屋内の他の試料と比べて大きいことが報告されている^[9]。また、Co-60 はその化学性質から揮発したとは考え難いため、瓦礫サンプルに含まれる Co-60 は 3 号機炉心によるものとは異なると考えられる。従って、Co-60 に関しては 4 号機使用済み燃料プールでのプール水（クラッドを含む）による汚染と考えられる。</p> <p>(a) 第 D. 付 1.1 図 Co-60 の放射能の量の比較^[8]</p> <p>使用済み燃料プールの放射性物質（クラッドを含む）について、今回の分析で検出された核種のうち Co-60 及び Ni-63 が考えられる。Ni-63 についても、Co-60 と同様に、その化学性質上、3 号機炉心から揮発したとは考え難いことから、4 号機の使用済み燃料プールに存在するクラッド由来であると考えられる。</p> <p>なお、日本原子力学会標準^[9]において、クラッド核種について「Co-60 の放射能濃度が最も大きく、かつ Λ_2 値が最も小さいことから、密封設計上は燃料プール水中の放射性物質は全て Co-60 として評価すれば安全側の評価ができる」旨説明されており、今回の瓦礫サンプルの測定結果（Ni-63 に比べ Co-60 が多く含まれる）とも整合している。</p>	<ul style="list-style-type: none"> ・知見の更新に関する説明の追加

核燃料輸送物設計変更承認申請に係る変更前後表

前回申請書 (平成 30 年 8 月 17 日付三原燃第 18-393 号をもって申請 (平成 31 年 2 月 5 日付三原燃第 18-1013 号をもって一部補正))	今回の核燃料輸送物設計変更承認申請	備考																											
	<p>(5) 瓦礫に含まれる汚染核種分析結果まとめ 瓦礫サンプルの分析結果をまとめ<u>(n)</u>－第D_付1.3表に示す。</p> <p>(n)－第D_付1.3表 汚染核種と測定された放射能の量</p> <table border="1"> <thead> <tr> <th>核種</th> <th>測定された放射能の量^{(*)1} (Bq/g)</th> <th>合計放射能に対する 各核種の放射能の割合 (%)</th> </tr> </thead> <tbody> <tr> <td>Co-60</td> <td>8.99×10^6 [10]</td> <td>57.4</td> </tr> <tr> <td>Cs-137</td> <td>3.24×10^6 [10]</td> <td>20.7</td> </tr> <tr> <td>Ba-137m^{(*)2}</td> <td>3.07×10^6</td> <td>19.6</td> </tr> <tr> <td>Ni-63</td> <td>2.54×10^4</td> <td>1.62</td> </tr> <tr> <td>Cs-134</td> <td>1.07×10^4</td> <td>0.68</td> </tr> <tr> <td>Sr-90</td> <td>4.20×10^3</td> <td>0.003</td> </tr> <tr> <td>Y-90^{(*)3}</td> <td>4.20×10^3</td> <td>0.003</td> </tr> <tr> <td>合計</td> <td>1.57×10^8</td> <td>—</td> </tr> </tbody> </table> <p>(*)1) 2021年4月8日時点に減衰を補正し表記 (*)2) Cs-137 の子孫核種 (*)3) Sr-90 の子孫核種</p>	核種	測定された放射能の量 ^{(*)1} (Bq/g)	合計放射能に対する 各核種の放射能の割合 (%)	Co-60	8.99×10^6 [10]	57.4	Cs-137	3.24×10^6 [10]	20.7	Ba-137m ^{(*)2}	3.07×10^6	19.6	Ni-63	2.54×10^4	1.62	Cs-134	1.07×10^4	0.68	Sr-90	4.20×10^3	0.003	Y-90 ^{(*)3}	4.20×10^3	0.003	合計	1.57×10^8	—	<ul style="list-style-type: none"> ・知見の更新に関する説明の追加
核種	測定された放射能の量 ^{(*)1} (Bq/g)	合計放射能に対する 各核種の放射能の割合 (%)																											
Co-60	8.99×10^6 [10]	57.4																											
Cs-137	3.24×10^6 [10]	20.7																											
Ba-137m ^{(*)2}	3.07×10^6	19.6																											
Ni-63	2.54×10^4	1.62																											
Cs-134	1.07×10^4	0.68																											
Sr-90	4.20×10^3	0.003																											
Y-90 ^{(*)3}	4.20×10^3	0.003																											
合計	1.57×10^8	—																											

核燃料輸送物設計変更承認申請に係る変更前後表

前回申請書 (平成 30 年 8 月 17 日付三原燃第 18-393 号をもって申請 (平成 31 年 2 月 5 日付三原燃第 18-1013 号をもって一部補正))	今回の核燃料輸送物設計変更承認申請	備考												
	<p>D. 6.2 付属書類-2 燃料集合体表面汚染の線源強度の設定</p> <p>本付属書類では、遮蔽解析に使用する燃料集合体表面汚染の線源強度（放射能の量）を設定するため、燃料集合体表面の線量当量率の管理基準に基づき表面汚染の線源強度を算定する。</p> <p>(1) 燃料集合体の線量当量率の管理基準</p> <p>発送前の収納物検査における燃料集合体表面（チャンネルボックスを装着している場合はその表面）の線量当量率の管理基準を(a)-第D.付2.1表に示す。管理基準は、燃料集合体表面の線量当量率の測定結果^[1]を基に、測定値を包含するように設定した。</p> <p>(a)-第D.付2.1表 燃料集合体表面の線量当量率の管理基準</p> <table border="1"> <thead> <tr> <th>部 位</th> <th>管理基準値^b (mSv/h)</th> </tr> </thead> <tbody> <tr> <td>ハンドル部^c</td> <td></td> </tr> <tr> <td>上部グリッド部（グリッド部～上部端栓部）</td> <td></td> </tr> <tr> <td>上部ブレナム部（ブレナムスプリング部）</td> <td></td> </tr> <tr> <td>燃料有効部</td> <td></td> </tr> <tr> <td>下部タイプレート部（下部端栓部～下部タイプレート部）</td> <td></td> </tr> </tbody> </table> <p>注 1) 同じ軸方向位置について 4 面を測定した平均値に対する管理基準値</p> <p>注 2) チャンネルボックスを装着している場合のみ対象</p>  <p>(a)-D-23</p>	部 位	管理基準値 ^b (mSv/h)	ハンドル部 ^c		上部グリッド部（グリッド部～上部端栓部）		上部ブレナム部（ブレナムスプリング部）		燃料有効部		下部タイプレート部（下部端栓部～下部タイプレート部）		<ul style="list-style-type: none"> ・知見の更新に関する説明の追加
部 位	管理基準値 ^b (mSv/h)													
ハンドル部 ^c														
上部グリッド部（グリッド部～上部端栓部）														
上部ブレナム部（ブレナムスプリング部）														
燃料有効部														
下部タイプレート部（下部端栓部～下部タイプレート部）														

核燃料輸送物設計変更承認申請に係る変更前後表

前回申請書 (平成 30 年 8 月 17 日付三原燃第 18-393 号をもって申請 (平成 31 年 2 月 5 日付三原燃第 18-1013 号をもって一部補正))	今回の核燃料輸送物設計変更承認申請	備考
	<p style="text-align: center;">(2) 表面汚染の線源強度の算定</p> <p>燃料集合体表面の線量当量率は、線源の強度及びその線源の位置によって変化する。同じ強度の線源を燃料集合体に分散させた場合と燃料集合体表面から離れた位置(断面の中心)に集めた場合では、後者の方が線量当量率は低い値を示す。言い換えると、同じ線量当量率に対して、最も遮蔽効果の高い位置に線源があると仮定することが、より多くの線源を想定することになり、輸送物の遮蔽解析に対しては安全側の条件となる。</p> <p>そこで、燃料集合体をモデル化し、表面汚染による線源が燃料集合体の中心軸上に線状で存在しているとする。この線源に任意の強度を与えて燃料集合体表面の線量当量率を計算し、(a)-第D.付 2.1 表に示す管理基準以上となる線源強度を求める。想定する汚染核種は、瓦礫の分析結果(付属書類-1)に基づき、放射能の量の多い⁶⁰Co 及び¹³⁷Cs とする。即ち、汚染核種が全て⁶⁰Co とした場合の線源強度と、汚染核種が全て¹³⁷Cs とした場合の線源強度を算定する。</p> <p>a. 解析モデル</p> <p>燃料集合体の解析モデルを(a)-第D.付 2.1 図に示す。</p> <p>燃料集合体の断面形状は、正方形の 1 辺の長さを直径とする円形と見なして軸対称モデルとする。モデル化にあたっては、以下を考慮している。</p> <ul style="list-style-type: none"> - 軸方向について、燃料有効部を除き(a)-第D.付 2.1 表に示す各部位をひとつの領域として均質化し、外周にチャンネルボックスを配置する。チャンネルボックスは上下端を延長して燃料集合体全長にわたって存在すると仮定する。 - 燃料有効部は、スペーサのある範囲とスペーサのない範囲に区別する。 - 断面方向について、スペーサのある範囲では中心から、以下の領域に区別する。(スペーサのない範囲では、スペーサは空気へ置き換える。) <ul style="list-style-type: none"> ① 空気 (ウォーターチャンネル内部) ② ウォーターチャンネル ③ 均質化した燃料棒、空気及びスペーサ (外板以外) ④ スペーサ (外板) ⑤ 空気 ⑥ チャンネルボックス <p>b. 各領域における原子個数密度</p> <p>遮蔽解析で用いた各領域における各物質の原子個数密度を(a)-第D.付 2.2 表に示す。なお、寸法と原子個数密度は、常温における値を用いた。</p>	<p>・知見の更新に関する説明の追加</p>

核燃料輸送物設計変更承認申請に係る変更前後表

前回申請書 (平成 30 年 8 月 17 日付三原燃第 18-393 号をもって申請 (平成 31 年 2 月 5 日付三原燃第 18-1013 号をもって一部補正))	今回の核燃料輸送物設計変更承認申請	備考
	 <p>(单位 : mm)</p> <p>(v) - 第D. 付 2.1 図 燃料集合体の解剖モデル</p> <p>(v) - D - 25</p>	<ul style="list-style-type: none">・知見の更新に関する説明の追加

核燃料輸送物設計変更承認申請に係る変更前後表

前回申請書 (平成30年8月17日付三原燃第18-393号をもって申請 (平成31年2月5日付三原燃第18-1013号をもって一部補正))	今回の核燃料輸送物設計変更承認申請	備考																																																																													
	<p style="text-align: center;">(e) - 第D.付2.2表 各領域における原子個数密度 (1/2)</p> <table border="1" style="width: 100%; border-collapse: collapse;"> <thead> <tr> <th>領域</th> <th>密度 (g/cm³)</th> <th>体積比 (%)</th> <th>核種</th> <th>原子個数密度 (atoms/barn·cm)</th> </tr> </thead> <tbody> <tr> <td rowspan="2">ハンドル部 (均質化領域)</td> <td>燃料構造材 (ステンレス鋼)</td> <td>7.9</td> <td>Cr</td> <td></td> </tr> <tr> <td>空気</td> <td>1.205 ×10⁻³</td> <td>Fe</td> <td></td> </tr> <tr> <td rowspan="5">上部グリッド部 (均質化領域)</td> <td>燃料被覆管 (ジルカロイ-2)</td> <td>6.55</td> <td>Ni</td> <td></td> </tr> <tr> <td>燃料構造材 (ステンレス鋼)</td> <td>7.9</td> <td>Ti</td> <td></td> </tr> <tr> <td>燃料構造材 (インコネル)</td> <td>8.25</td> <td>Zr</td> <td></td> </tr> <tr> <td>空気</td> <td>1.205 ×10⁻³</td> <td>Sn</td> <td></td> </tr> <tr> <td></td> <td></td> <td>N</td> <td></td> </tr> <tr> <td rowspan="5">上部ブレナム部 (均質化領域)</td> <td>燃料被覆管 (ジルカロイ-2)</td> <td>6.55</td> <td>O</td> <td></td> </tr> <tr> <td>燃料構造材 (ステンレス鋼)</td> <td>7.9</td> <td>Cr</td> <td></td> </tr> <tr> <td>空気</td> <td>1.205 ×10⁻³</td> <td>Fe</td> <td></td> </tr> <tr> <td></td> <td></td> <td>Ni</td> <td></td> </tr> <tr> <td></td> <td></td> <td>Zr</td> <td></td> </tr> <tr> <td rowspan="5">下部タイプレート部 (均質化領域)</td> <td>燃料被覆管 (ジルカロイ-2)</td> <td>6.55</td> <td>Sn</td> <td></td> </tr> <tr> <td>燃料構造材 (ステンレス鋼)</td> <td>7.9</td> <td>N</td> <td></td> </tr> <tr> <td>燃料構造材 (インコネル)</td> <td>8.25</td> <td>O</td> <td></td> </tr> <tr> <td>空気</td> <td>1.205 ×10⁻³</td> <td>Cr</td> <td></td> </tr> <tr> <td></td> <td></td> <td>Fe</td> <td></td> </tr> </tbody> </table> <ul style="list-style-type: none"> ・知見の更新に関する説明の追加 	領域	密度 (g/cm ³)	体積比 (%)	核種	原子個数密度 (atoms/barn·cm)	ハンドル部 (均質化領域)	燃料構造材 (ステンレス鋼)	7.9	Cr		空気	1.205 ×10 ⁻³	Fe		上部グリッド部 (均質化領域)	燃料被覆管 (ジルカロイ-2)	6.55	Ni		燃料構造材 (ステンレス鋼)	7.9	Ti		燃料構造材 (インコネル)	8.25	Zr		空気	1.205 ×10 ⁻³	Sn				N		上部ブレナム部 (均質化領域)	燃料被覆管 (ジルカロイ-2)	6.55	O		燃料構造材 (ステンレス鋼)	7.9	Cr		空気	1.205 ×10 ⁻³	Fe				Ni				Zr		下部タイプレート部 (均質化領域)	燃料被覆管 (ジルカロイ-2)	6.55	Sn		燃料構造材 (ステンレス鋼)	7.9	N		燃料構造材 (インコネル)	8.25	O		空気	1.205 ×10 ⁻³	Cr				Fe		
領域	密度 (g/cm ³)	体積比 (%)	核種	原子個数密度 (atoms/barn·cm)																																																																											
ハンドル部 (均質化領域)	燃料構造材 (ステンレス鋼)	7.9	Cr																																																																												
	空気	1.205 ×10 ⁻³	Fe																																																																												
上部グリッド部 (均質化領域)	燃料被覆管 (ジルカロイ-2)	6.55	Ni																																																																												
	燃料構造材 (ステンレス鋼)	7.9	Ti																																																																												
	燃料構造材 (インコネル)	8.25	Zr																																																																												
	空気	1.205 ×10 ⁻³	Sn																																																																												
			N																																																																												
上部ブレナム部 (均質化領域)	燃料被覆管 (ジルカロイ-2)	6.55	O																																																																												
	燃料構造材 (ステンレス鋼)	7.9	Cr																																																																												
	空気	1.205 ×10 ⁻³	Fe																																																																												
			Ni																																																																												
			Zr																																																																												
下部タイプレート部 (均質化領域)	燃料被覆管 (ジルカロイ-2)	6.55	Sn																																																																												
	燃料構造材 (ステンレス鋼)	7.9	N																																																																												
	燃料構造材 (インコネル)	8.25	O																																																																												
	空気	1.205 ×10 ⁻³	Cr																																																																												
			Fe																																																																												

核燃料輸送物設計変更承認申請に係る変更前後表

前回申請書 (平成30年8月17日付三原燃第18-393号をもって申請 (平成31年2月5日付三原燃第18-1013号をもって一部補正))	今回の核燃料輸送物設計変更承認申請	備考																																																							
	<p>(e) 第D.付2.2表 各領域における原子個数密度 (2/2)</p> <table border="1"> <thead> <tr> <th>領域</th> <th>密度 (g/cm³)</th> <th>体積比 (%)</th> <th>核種</th> <th>原子個数密度 (atoms/barn·cm)</th> </tr> </thead> <tbody> <tr> <td rowspan="3">燃料有効部 [スペーサなし] (均質化領域)</td> <td>燃料ペレット</td> <td>10.63</td> <td>²³⁵U</td> <td></td> </tr> <tr> <td>燃料被覆管 (ジルカロイ-2)</td> <td>6.55</td> <td>²³⁸U</td> <td></td> </tr> <tr> <td>空気</td> <td>1.205 $\times 10^{-3}$</td> <td>Zr</td> <td></td> </tr> <tr> <td rowspan="5">燃料有効部 [スペーザあり] (均質化領域)</td> <td>燃料ペレット</td> <td>10.63</td> <td>Sn</td> <td></td> </tr> <tr> <td>燃料被覆管 (ジルカロイ-2)</td> <td>6.55</td> <td>N</td> <td></td> </tr> <tr> <td>スペーザ (外板以外) (ジルカロイ-4)</td> <td>6.55</td> <td>O</td> <td></td> </tr> <tr> <td>スペーザ (外板以外) (インコネル)</td> <td>8.25</td> <td>²³⁵U</td> <td></td> </tr> <tr> <td>空気</td> <td>1.205 $\times 10^{-3}$</td> <td>²³⁸U</td> <td></td> </tr> <tr> <td>ウォーターチャンネル (ジルカロイ-4)</td> <td>6.55</td> <td>Zr</td> <td></td> </tr> <tr> <td>チャンネルボックス (ジルカロイ-4)</td> <td>6.55</td> <td>Sn</td> <td></td> </tr> <tr> <td>スペーザ (外板) (ジルカロイ-4)</td> <td>6.55</td> <td>Zr</td> <td></td> </tr> <tr> <td>空気</td> <td>1.205 $\times 10^{-3}$</td> <td>Sn</td> <td></td> </tr> </tbody> </table>	領域	密度 (g/cm ³)	体積比 (%)	核種	原子個数密度 (atoms/barn·cm)	燃料有効部 [スペーサなし] (均質化領域)	燃料ペレット	10.63	²³⁵ U		燃料被覆管 (ジルカロイ-2)	6.55	²³⁸ U		空気	1.205 $\times 10^{-3}$	Zr		燃料有効部 [スペーザあり] (均質化領域)	燃料ペレット	10.63	Sn		燃料被覆管 (ジルカロイ-2)	6.55	N		スペーザ (外板以外) (ジルカロイ-4)	6.55	O		スペーザ (外板以外) (インコネル)	8.25	²³⁵ U		空気	1.205 $\times 10^{-3}$	²³⁸ U		ウォーターチャンネル (ジルカロイ-4)	6.55	Zr		チャンネルボックス (ジルカロイ-4)	6.55	Sn		スペーザ (外板) (ジルカロイ-4)	6.55	Zr		空気	1.205 $\times 10^{-3}$	Sn		<ul style="list-style-type: none"> ・知見の更新に関する説明の追加
領域	密度 (g/cm ³)	体積比 (%)	核種	原子個数密度 (atoms/barn·cm)																																																					
燃料有効部 [スペーサなし] (均質化領域)	燃料ペレット	10.63	²³⁵ U																																																						
	燃料被覆管 (ジルカロイ-2)	6.55	²³⁸ U																																																						
	空気	1.205 $\times 10^{-3}$	Zr																																																						
燃料有効部 [スペーザあり] (均質化領域)	燃料ペレット	10.63	Sn																																																						
	燃料被覆管 (ジルカロイ-2)	6.55	N																																																						
	スペーザ (外板以外) (ジルカロイ-4)	6.55	O																																																						
	スペーザ (外板以外) (インコネル)	8.25	²³⁵ U																																																						
	空気	1.205 $\times 10^{-3}$	²³⁸ U																																																						
ウォーターチャンネル (ジルカロイ-4)	6.55	Zr																																																							
チャンネルボックス (ジルカロイ-4)	6.55	Sn																																																							
スペーザ (外板) (ジルカロイ-4)	6.55	Zr																																																							
空気	1.205 $\times 10^{-3}$	Sn																																																							

核燃料輸送物設計変更承認申請に係る変更前後表

前回申請書 (平成 30 年 8 月 17 日付三原燃第 18-393 号をもって申請 (平成 31 年 2 月 5 日付三原燃第 18-1013 号をもって一部補正))	今回の核燃料輸送物設計変更承認申請	備考
	<p>c. 遮蔽計算</p> <p>燃料集合体表面における線量当量率の計算方法及び計算結果を以下に示す。</p> <p>(a) 計算方法</p> <p>輸送物の遮蔽解析と同じく DORT コード及び SCALE ライブラリを用いる。</p> <p>燃料集合体モデルの以下に示す各部位のそれぞれに対し、中心軸上に一様な線状の線源を与えたときに、燃料集合体表面の線量当量率が (n)- 第 D. 付 2.1 表の管理基準を上回るような各部位の線源強度を求める。</p> <ul style="list-style-type: none"> a. ハンドル部 b. 上部グリッド部 c. 上部ブレナム部 d. 燃料有効部 e. 下部タイプレート部 <p>(b) 計算結果</p> <p>前述の計算方法で求めた各部位の線源強度を、汚染核種が全て ^{60}Co とした場合を (n)- 第 D. 付 2.3 表に、汚染核種が全て ^{137}Cs とした場合を (n)- 第 D. 付 2.4 表に示す。算定した線源強度は、遮蔽解析の線源強度仕様として用いる。</p> <p>算出した線源強度の妥当性を確認するため、(n)- 第 D. 付 2.3 表又は (n)- 第 D. 付 2.4 表に示す線源強度を入力として、燃料集合体表面での線量当量率の軸力向分布を算出した。汚染核種が全て ^{60}Co とした場合を (n)- 第 D. 付 2.2 図に、汚染核種が全て ^{137}Cs とした場合を (n)- 第 D. 付 2.3 図に、管理基準と併せて示す。各図に示すように、汚染核種が全て ^{60}Co とした場合及び汚染核種が全て ^{137}Cs とした場合とも、燃料集合体表面の線量当量率は、管理基準以上である。従って、(n)- 第 D. 付 2.3 表及び (n)- 第 D. 付 2.4 表に示す ^{60}Co または ^{137}Cs の線源強度は、遮蔽解析の入力として安全側となっている。</p>	<ul style="list-style-type: none"> ・知見の更新に関する説明の追加

核燃料輸送物設計変更承認申請に係る変更前後表

前回申請書 (平成30年8月17日付三原燃第18-393号をもって申請 (平成31年2月5日付三原燃第18-1013号をもって一部補正))	今回の核燃料輸送物設計変更承認申請	備考														
	<p>(v) - 第D.付2.3表 燃料集合体各部位の表面汚染による線源仕様 (^{60}Co)</p> <table border="1"> <thead> <tr> <th>部 位</th> <th>線源強度 ($\text{kCo Ba}/\text{集合体}$)</th> </tr> </thead> <tbody> <tr> <td>a. ハンドル部</td> <td></td> </tr> <tr> <td>b. 上部グリッド部</td> <td></td> </tr> <tr> <td>c. 上部ブレナム部</td> <td></td> </tr> <tr> <td>d. 燃料育効部</td> <td></td> </tr> <tr> <td>e. 下部タイプレート部</td> <td></td> </tr> <tr> <td>合 計</td> <td></td> </tr> </tbody> </table> <p>(v) - 第D.付2.2図 燃料集合体モデルの表面線量当量率分布 (^{60}Co)</p> 	部 位	線源強度 ($\text{kCo Ba}/\text{集合体}$)	a. ハンドル部		b. 上部グリッド部		c. 上部ブレナム部		d. 燃料育効部		e. 下部タイプレート部		合 計		<ul style="list-style-type: none"> ・知見の更新に関する説明の追加
部 位	線源強度 ($\text{kCo Ba}/\text{集合体}$)															
a. ハンドル部																
b. 上部グリッド部																
c. 上部ブレナム部																
d. 燃料育効部																
e. 下部タイプレート部																
合 計																

核燃料輸送物設計変更承認申請に係る変更前後表

前回申請書 (平成 30 年 8 月 17 日付三原燃第 18-393 号をもって申請 (平成 31 年 2 月 5 日付三原燃第 18-1013 号をもって一部補正))	今回の核燃料輸送物設計変更承認申請	備考														
	<p>(a) - 第 D. 付 2.4 表 燃料集合体各部位の表面汚染による線源仕様 (^{137}Cs)</p> <table border="1"> <thead> <tr> <th>部 位</th> <th>線源強度 ($^{137}\text{Cs} \text{ Bq}/\text{集合体}$)</th> </tr> </thead> <tbody> <tr> <td>a. ハンドル部</td> <td></td> </tr> <tr> <td>b. 上部グリッド部</td> <td></td> </tr> <tr> <td>c. 上部プレナム部</td> <td></td> </tr> <tr> <td>d. 燃料有効部</td> <td></td> </tr> <tr> <td>e. 下部タイプレート部</td> <td></td> </tr> <tr> <td>合 計</td> <td></td> </tr> </tbody> </table> <p>(a) - 第 D. 付 2.3 図 燃料集合体モデルの表面線量当量率分布 (^{137}Cs)</p>  <p>(a) - D - 30</p>	部 位	線源強度 ($^{137}\text{Cs} \text{ Bq}/\text{集合体}$)	a. ハンドル部		b. 上部グリッド部		c. 上部プレナム部		d. 燃料有効部		e. 下部タイプレート部		合 計		<ul style="list-style-type: none"> ・知見の更新に関する説明の追加
部 位	線源強度 ($^{137}\text{Cs} \text{ Bq}/\text{集合体}$)															
a. ハンドル部																
b. 上部グリッド部																
c. 上部プレナム部																
d. 燃料有効部																
e. 下部タイプレート部																
合 計																

核燃料輸送物設計変更承認申請に係る変更前後表

前回申請書 (平成30年8月17日付三原燃第18-393号をもって申請 (平成31年2月5日付三原燃第18-1013号をもって一部補正))	今回の核燃料輸送物設計変更承認申請	備考
	<p>D.6.3 付属書類-3 輸送容器当りの汚染核種の放射能の量</p> <p>輸送容器当りの汚染核種の放射能の量を求め、告示に示された算式を基に本輸送物がA型輸送物に該当することを説明する。なお、本付属書類において、核種の同位体の判別を容易にするため、質量数は元素記号の後に記載する表記としている。(例 ^{60}Co→Co-60, ^{137}Cs→Cs-137)</p> <p>(1) 瓦砾分析結果に基づく汚染核種の放射能の量</p> <p>瓦砾分析結果に基づき、燃料集合体には付属書類-1の(a)-第D.付1.3表に示す核種が測定された放射能の量の割合で付着しているとする。</p> <p>放射能の量については、まず汚染核種が全て Co-60 とした場合及び汚染核種が全て Cs-137 とした場合で、集合体表面の線量当量率が管理基準以上となる線源強度(放射能の量)を求める(付属書類-2)。次に瓦砾分析結果に基づき、主要核種である Co-60 又は Cs-137 の放射能の量に対する各核種の比率から、その他核種(Ba-137m, Ni-63, Cs-134, Sr-90, Y-90)の放射能の量を求め、最後に、全ての汚染核種の放射能の量を足し合わせ総量を算出する。</p> <p>a. 主要核種の放射能の量</p> <p>汚染核種が全て Co-60 とした場合及び汚染核種が全て Cs-137 とした場合の放射能の量は、付属書類-2の(a)-第D.付2.3表及び(e)-第D.付2.4表に示しており、燃料集合体1体当たりで以下のようになる。</p> <p>Co-60 : <input type="text"/> Bq/集合体 Cs-137 : <input type="text"/> Bq/集合体</p> <p>次に、Co-60 及び Cs-137 が混在している状態で、燃料集合体表面の線量当量率が管理基準以上となる Co-60 及び Cs-137 の放射能の量を求める。燃料集合体に存在する Co-60 の放射能の量を A [Bq/集合体]、Cs-137 の放射能の量を B [Bq/集合体] とすると、燃料集合体表面の線量当量率が管理基準以上となる A 及び B は下式により与えられる。</p> $\frac{A}{\text{[Bq/集合体]}} + \frac{B}{\text{[Bq/集合体]}} \geq 1 \quad \dots \quad (1)$ <p>また、Co-60 の放射能の量と Cs-137 の放射能の量の比率は、付属書類-1の(a)-第D.付1.3表より、下式のようになる。</p> $A / B = 8.99 \times 10^5 / 3.24 \times 10^5 \quad \dots \quad (2)$	<ul style="list-style-type: none"> ・知見の更新に関する説明の追加

核燃料輸送物設計変更承認申請に係る変更前後表

前回申請書 (平成 30 年 8 月 17 日付三原燃第 18-393 号をもって申請 (平成 31 年 2 月 5 日付三原燃第 18-1013 号をもって一部補正))	今回の核燃料輸送物設計変更承認申請	備考
	<p>(1)式及び(2)式から A 及び B は以下のように算出される。</p> <p>A (Co-60 の放射能の量) : <input type="text"/> Bq/集合体 B (Cs-137 の放射能の量) : <input type="text"/> Bq/集合体</p> <p>したがって、Co-60 及び Cs-137 の輸送容器当りの放射能の量は以下になる。</p> <p>Co-60 : <input type="text"/> Bq/容器 (10 体の燃料集合体) Cs-137 : <input type="text"/> Bq/容器 (10 体の燃料集合体)</p> <p>b. その他核種の放射能の量</p> <p>その他の核種の放射能の量は、Co-60 又は Cs-137 の放射能の量と付属書類-1 の(ii) - 第 D. 付 1.3 表に示された比率から算出する。</p> <p>算出された各核種の放射能の量及び合計値を (e) - 第 D. 付 3.1 表に示す。</p> <p>c. A_z 値の評価</p> <p>(n) - 第 D. 付 3.1 表に示した各核種の最大放射能の量を用いて A_z 値を評価する。</p> <p>A_z 評価においては、IAEA 輸送規則 (SSR-6 (Rev. 1), 2018) より、Ba-137m 及び Y-90 の A_z 値は親核種の Cs-137 及び Sr-90 の A_z 値で考慮されていることから、Ba-137m 及び Y-90 は A_z 値評価の対象核種からは除外する。これらの核種を除いた 5 核種を対象に、各核種の放射能の量と、A_z 値を基に、告示別表第四に定められた $\Sigma (x_n / X_n)$ を計算した結果を (e) - 第 D. 付 3.2 表に示す。</p> <p>(o) - 第 D. 付 3.2 表に示すように、告示別表第四に定められた $\Sigma (x_n / X_n)$ を計算した結果は <input type="text"/> であり、1 未満である。また、汚染核種の総放射能の量は <input type="text"/> TBq/容器となる。</p> <p>なお、ウランは「未照射、かつ濃縮度 20% 以下のもの」に該当し、A_z 値は、「制限なし」である。</p>	<ul style="list-style-type: none"> ・知見の更新に関する説明の追加

核燃料輸送物設計変更承認申請に係る変更前後表

前回申請書 (平成30年8月17日付三原燃第18-393号をもって申請 (平成31年2月5日付三原燃第18-1013号をもって一部補正))	今回の核燃料輸送物設計変更承認申請	備考																																																									
	<p>(e) 第D.付 3.1表 汚染核種の放射能の量</p> <table border="1"> <thead> <tr> <th>核種</th> <th>容器当りの放射能の量 (Bq/容器)</th> </tr> </thead> <tbody> <tr> <td>Co-60</td> <td></td> </tr> <tr> <td>Cs-137</td> <td></td> </tr> <tr> <td>Ba-137m</td> <td></td> </tr> <tr> <td>Ni-63</td> <td></td> </tr> <tr> <td>Cs-134</td> <td></td> </tr> <tr> <td>Sr-90</td> <td></td> </tr> <tr> <td>Y-90</td> <td></td> </tr> <tr> <td>合計</td> <td></td> </tr> </tbody> </table> <p>(e) 第D.付 3.2表 汚染核種の放射能の量に基づくA_z値評価</p> <table border="1"> <thead> <tr> <th>核種</th> <th>容器当りの放射能 x (TBq)</th> <th>A_z値 X (TBq)</th> <th>x_z / X_z</th> </tr> </thead> <tbody> <tr> <td>Co-60</td> <td></td> <td>0.4</td> <td></td> </tr> <tr> <td>Cs-137</td> <td></td> <td>0.6</td> <td></td> </tr> <tr> <td>Ba-137m</td> <td></td> <td>—(*1)</td> <td></td> </tr> <tr> <td>Ni-63</td> <td></td> <td>30</td> <td></td> </tr> <tr> <td>Cs-134</td> <td></td> <td>0.7</td> <td></td> </tr> <tr> <td>Sr-90</td> <td></td> <td>0.3</td> <td></td> </tr> <tr> <td>Y-90</td> <td></td> <td>—(*2)</td> <td></td> </tr> <tr> <td>合計</td> <td>(ウランを除く)</td> <td></td> <td><1</td> </tr> <tr> <td colspan="3">A型輸送物のための基準</td></tr> </tbody> </table> <p>(*1) Cs-137に包含されるため除外している。 (*2) Sr-90に包含されるため除外している。 (備考) Ba-137m及びY-90は半減期10日未満の子孫核種</p> <p>(e) - D - 33</p>	核種	容器当りの放射能の量 (Bq/容器)	Co-60		Cs-137		Ba-137m		Ni-63		Cs-134		Sr-90		Y-90		合計		核種	容器当りの放射能 x (TBq)	A _z 値 X (TBq)	x _z / X _z	Co-60		0.4		Cs-137		0.6		Ba-137m		—(*1)		Ni-63		30		Cs-134		0.7		Sr-90		0.3		Y-90		—(*2)		合計	(ウランを除く)		<1	A型輸送物のための基準			<ul style="list-style-type: none"> ・知見の更新に関する説明の追加
核種	容器当りの放射能の量 (Bq/容器)																																																										
Co-60																																																											
Cs-137																																																											
Ba-137m																																																											
Ni-63																																																											
Cs-134																																																											
Sr-90																																																											
Y-90																																																											
合計																																																											
核種	容器当りの放射能 x (TBq)	A _z 値 X (TBq)	x _z / X _z																																																								
Co-60		0.4																																																									
Cs-137		0.6																																																									
Ba-137m		—(*1)																																																									
Ni-63		30																																																									
Cs-134		0.7																																																									
Sr-90		0.3																																																									
Y-90		—(*2)																																																									
合計	(ウランを除く)		<1																																																								
A型輸送物のための基準																																																											

核燃料輸送物設計変更承認申請に係る変更前後表

前回申請書 (平成 30 年 8 月 17 日付三原燃第 18-393 号をもって申請 (平成 31 年 2 月 5 日付三原燃第 18-1013 号をもって一部補正))	今回の核燃料輸送物設計変更承認申請	備考
	<p>(2) 汚染核種の放射能の量が最も多くなる場合</p> <p>汚染核種の放射能の量が最も多くなる場合として、線量当量率への寄与の高い Co-60 を含まず、Cs-137 とその他の核種 (Ba-137m、Ni-63、Cs-134、Sr-90、Y-90) となる場合を評価する。燃料集合体表面で測定される線量当量率が同じ場合、放出する放射線のエネルギーがより低い Cs-137 のみと想定することで、燃料集合体に含まれる線源強度（放射能の量）を、Co-60 と Cs-137 が混在する場合より多く想定することとなる。</p> <p>a. 各核種の放射能の量</p> <p>Co-60 を含まない状態は、主要な汚染核種が全て Cs-137 の場合に相当し、その放射能の量は付属書類-2 の (e) - 第 D. 付 2.4 表に示した値の合計値になる。その他核種 (Ba-137m、Ni-63、Cs-134、Sr-90、Y-90) の放射能の量は、付属書類-1 の (e) - 第 D. 付 1.3 表に示した Cs-137 に対する比率を Cs-137 の放射能の量に乗じて算出する。</p> <p>各核種の放射能の量及び合計値を (e) - 第 D. 付 3.3 表に示す。合計値は汚染核種の最大の放射能の量となる。</p> <p>b. A_z 値の評価</p> <p>(i) - 第 D. 付 3.3 表に示した各核種の放射能の量を用いて A_z 値を評価する。前項と同様に、Ba-137m 及び Y-90 は A_z 値評価の対象核種からは除外する。各核種の放射能の量と A_z 値を基に、告示別表第四に定められた $\Sigma (x_s/X_s)$ を計算した結果を (e) - 第 D. 付 3.4 表に示す。</p> <p>(ii) - 第 D. 付 3.4 表に示すように、告示別表第四に定められた $\Sigma (x_s/X_s)$ を計算した結果は [] であり、1 を下回っている。また、汚染核種の総放射能の量は [] TBq/容器となる。</p> <p>なお、ウランは「本照射、かつ濃縮度 20%以下のもの」に該当し、A_z 値は、「制限なし」である。</p>	<ul style="list-style-type: none"> ・知見の更新に関する説明の追加

核燃料輸送物設計変更承認申請に係る変更前後表

前回申請書 (平成30年8月17日付三原燃第18-393号をもって申請 (平成31年2月5日付三原燃第18-1013号をもって一部補正))	今回の核燃料輸送物設計変更承認申請	備考																																																						
	<p>(v) - 第D.付3.3表 汚染核種の放射能の量(放射能の量が最大)</p> <table border="1"> <thead> <tr> <th>核種</th> <th>容器当りの放射能の量(Bq/容器)</th> </tr> </thead> <tbody> <tr> <td>Co-60</td> <td>0</td> </tr> <tr> <td>Cs-137</td> <td></td> </tr> <tr> <td>Ba-137m</td> <td></td> </tr> <tr> <td>Ni-63</td> <td></td> </tr> <tr> <td>Cs-134</td> <td></td> </tr> <tr> <td>Sr-90</td> <td></td> </tr> <tr> <td>Y-90</td> <td></td> </tr> <tr> <td>合計</td> <td></td> </tr> </tbody> </table> <p>(v) - 第D.付3.4表 汚染核種の放射能の量に基づくA₂値評価(放射能の量が最大)</p> <table border="1"> <thead> <tr> <th>核種</th> <th>容器当りの放射能 × (TBq)</th> <th>A₂値 × (TBq)</th> <th>x_n / X_n</th> </tr> </thead> <tbody> <tr> <td>Co-60</td> <td>0</td> <td>0.4</td> <td>0</td> </tr> <tr> <td>Cs-137</td> <td></td> <td>0.6</td> <td>—(*1)</td> </tr> <tr> <td>Ba-137m</td> <td></td> <td>—(*1)</td> <td></td> </tr> <tr> <td>Ni-63</td> <td></td> <td>30</td> <td></td> </tr> <tr> <td>Cs-134</td> <td></td> <td>0.7</td> <td></td> </tr> <tr> <td>Sr-90</td> <td></td> <td>0.3</td> <td>—(*2)</td> </tr> <tr> <td>Y-90</td> <td></td> <td>—(*2)</td> <td></td> </tr> <tr> <td>合計</td> <td>(ウランを除く)</td> <td></td> <td><1</td> </tr> </tbody> </table> <p>(*1) Cs-137に包含されるため除外している。 (*2) Sr-90に包含されるため除外している。 (備考) Ba-137m及びY-90は半減期10日未満の子孫核種</p> <p style="text-align: center;">(v) - D - 35</p>	核種	容器当りの放射能の量(Bq/容器)	Co-60	0	Cs-137		Ba-137m		Ni-63		Cs-134		Sr-90		Y-90		合計		核種	容器当りの放射能 × (TBq)	A ₂ 値 × (TBq)	x _n / X _n	Co-60	0	0.4	0	Cs-137		0.6	—(*1)	Ba-137m		—(*1)		Ni-63		30		Cs-134		0.7		Sr-90		0.3	—(*2)	Y-90		—(*2)		合計	(ウランを除く)		<1	<ul style="list-style-type: none"> ・知見の更新に関する説明の追加
核種	容器当りの放射能の量(Bq/容器)																																																							
Co-60	0																																																							
Cs-137																																																								
Ba-137m																																																								
Ni-63																																																								
Cs-134																																																								
Sr-90																																																								
Y-90																																																								
合計																																																								
核種	容器当りの放射能 × (TBq)	A ₂ 値 × (TBq)	x _n / X _n																																																					
Co-60	0	0.4	0																																																					
Cs-137		0.6	—(*1)																																																					
Ba-137m		—(*1)																																																						
Ni-63		30																																																						
Cs-134		0.7																																																						
Sr-90		0.3	—(*2)																																																					
Y-90		—(*2)																																																						
合計	(ウランを除く)		<1																																																					

核燃料輸送物設計変更承認申請に係る変更前後表

前回申請書 (平成30年8月17日付三原燃第18-393号をもって申請 (平成31年2月5日付三原燃第18-1013号をもって一部補正))	今回の核燃料輸送物設計変更承認申請	備考
	<p>(3) プール水のみの汚染がある場合</p> <p>燃料集合体に瓦礫が付着せず、プール水のみの汚染がある場合として、Co-60とNi-63の2核種を汚染核種とした。</p> <p>a. 各核種の放射能の量</p> <p>Ca-137を含まない場合、Co-60の放射能の量は付属書類-2の(i)一第D.付2.3表に示した値の合計値になる。Ni-63の放射能の量は、付属書類-1の(i)一第D.付1.3表に示したCo-60に対するNi-63の比率をCo-60の放射能の量に乗じて求める。</p> <p>各核種の最大放射能の量及び合計値を(i)一第D.付3.5表に示す。</p> <p>b. A_2値の評価</p> <p>(i)一第D.付3.5表に示した各核種の放射能の量を用いてA_2値を評価する。各核種の放射能の量及びA_2値を基に、告示別表第四に定められた$\Sigma(x_s/X_s)$を計算した結果を(i)一第D.付3.6表に示す。</p> <p>(ii)一第D.付3.6表に示すように、告示別表第四に定められた$\Sigma(x_s/X_s)$を計算した結果は□であり、1を下回っている。また、汚染核種の総放射能の量は□Tbq/容器となる。</p> <p>なお、ウランは「未照射、かつ濃縮度20%以下のもの」に該当し、A_2値は、「制限なし」である。</p>	<ul style="list-style-type: none"> ・知見の更新に関する説明の追加

核燃料輸送物設計変更承認申請に係る変更前後表

前回申請書 (平成30年8月17日付三原燃第18-393号をもって申請 (平成31年2月5日付三原燃第18-1013号をもって一部補正))	今回の核燃料輸送物設計変更承認申請	備考																																																										
	<p>(a) - 第D.付3.5表 汚染核種の放射能の量(プール水のみの汚染)</p> <table border="1"> <thead> <tr> <th>核種</th> <th>容器当りの放射能の量(Bq/容器)</th> </tr> </thead> <tbody> <tr> <td>Co-60</td> <td></td> </tr> <tr> <td>Cs-137</td> <td></td> </tr> <tr> <td>Ba-137m</td> <td></td> </tr> <tr> <td>Ni-63</td> <td></td> </tr> <tr> <td>Cs-134</td> <td></td> </tr> <tr> <td>Sr-90</td> <td></td> </tr> <tr> <td>Y-90</td> <td></td> </tr> <tr> <td>合計</td> <td></td> </tr> </tbody> </table> <p>(b) - 第D.付3.6表 汚染核種の放射能の量に基づくA_z値評価(プール水のみの汚染)</p> <table border="1"> <thead> <tr> <th>核種</th> <th>容器当りの放射能 x (TBq)</th> <th>A_z値 X (TBq)</th> <th>x_z / X_z</th> </tr> </thead> <tbody> <tr> <td>Co-60</td> <td></td> <td>0.4</td> <td></td> </tr> <tr> <td>Cs-137</td> <td></td> <td>0.6</td> <td></td> </tr> <tr> <td>Ba-137m</td> <td></td> <td>—(*1)</td> <td></td> </tr> <tr> <td>Ni-63</td> <td></td> <td>30</td> <td></td> </tr> <tr> <td>Cs-134</td> <td></td> <td>0.7</td> <td></td> </tr> <tr> <td>Sr-90</td> <td></td> <td>0.3</td> <td></td> </tr> <tr> <td>Y-90</td> <td></td> <td>—(*2)</td> <td></td> </tr> <tr> <td>合計 (ウランを除く)</td> <td></td> <td></td> <td><1</td> </tr> <tr> <td></td> <td></td> <td></td> <td>A型輸送物のための基準</td> </tr> </tbody> </table> <p>(*1) Cs-137に含まれるため除外している。 (*2) Sr-90に含まれるため除外している。 (備考) Ba-137m及びY-90は半減期10日未満の子孫核種</p> <p>(a) - D - 37</p>	核種	容器当りの放射能の量(Bq/容器)	Co-60		Cs-137		Ba-137m		Ni-63		Cs-134		Sr-90		Y-90		合計		核種	容器当りの放射能 x (TBq)	A _z 値 X (TBq)	x _z / X _z	Co-60		0.4		Cs-137		0.6		Ba-137m		—(*1)		Ni-63		30		Cs-134		0.7		Sr-90		0.3		Y-90		—(*2)		合計 (ウランを除く)			<1				A型輸送物のための基準	<ul style="list-style-type: none"> ・知見の更新に関する説明の追加
核種	容器当りの放射能の量(Bq/容器)																																																											
Co-60																																																												
Cs-137																																																												
Ba-137m																																																												
Ni-63																																																												
Cs-134																																																												
Sr-90																																																												
Y-90																																																												
合計																																																												
核種	容器当りの放射能 x (TBq)	A _z 値 X (TBq)	x _z / X _z																																																									
Co-60		0.4																																																										
Cs-137		0.6																																																										
Ba-137m		—(*1)																																																										
Ni-63		30																																																										
Cs-134		0.7																																																										
Sr-90		0.3																																																										
Y-90		—(*2)																																																										
合計 (ウランを除く)			<1																																																									
			A型輸送物のための基準																																																									

核燃料輸送物設計変更承認申請に係る変更前後表

前回申請書 (平成 30 年 8 月 17 日付三原燃第 18-393 号をもって申請 (平成 31 年 2 月 5 日付三原燃第 18-1013 号をもって一部補正))	今回の核燃料輸送物設計変更承認申請	備考
<p>D.6 付属書類</p> <p>D.6.1 付属書類-1 参考文献</p> <ul style="list-style-type: none"> [1] RSIC Code Package CCC-484, 'DORT two dimensional discrete ordinates transport code system,' Oak Ridge National Laboratory, Nov. 1989. [2] A.G.Croff, "ORIGEN2 - A Revised and Updated of the Oak Ridge Isotope Generation and Depletion Code", ORNL-5621, July 1980. [3] 日本原子力学会標準, 「使用済燃料・混合酸化物新燃料・高レベル放射性廃棄物輸送容器の安全設計及び検査基準 : 2013」, AESJ-SC-F006:2013, 2014 年 11 月 [4] ICRP 74, "Conversion Coefficients for use in Radiological Protection against External Radiation", Ann. ICRP 26 (3-4), 1996. 	<p>D.6.4 付属書類-4 参考文献</p> <ul style="list-style-type: none"> [1] RSIC Code Package CCC-484, 'DORT two dimensional discrete ordinates transport code system,' Oak Ridge National Laboratory, Nov. 1989. [2] A.G.Croff, "ORIGEN2 - A Revised and Updated of the Oak Ridge Isotope Generation and Depletion Code", ORNL-5621, July 1980. [3] ICRP 74, "Conversion Coefficients for use in Radiological Protection against External Radiation", Ann. ICRP 26 (3-4), 1996. [4] 東京電力ホールディングス, 「福島第一原子力発電所における日々の放射性物質の分析結果、線量率等の測定計画及び結果(2021年4月)」, II. 管理対象区域内外の測定(随時測定), 4月 19 日 [5] 東京電力ホールディングス, 「インベントリ比からの評価により求めた核種濃度について」, 2019 年 4 月 26 日 [6] 原子力規制委員会, 「東京電力福島第一原子力発電所 事故の分析 中間報告書」, NREP-0001, p103, 平成 26 年 10 月 8 日 [7] 日本原子力研究開発機構, 「福島第一原子力発電所の燃料組成評価」, JAEA-Data/Code 2012-018, September 2012. [8] 國際廃炉研究開発機構/日本原子力研究開発機構, 「福島第一原子力発電所の固体廃棄物試料分析(現状までの成果報告)」, 平成 29 年 5 月 25 日 [9] 日本原子力学会, 「使用済燃料・混合酸化物新燃料・高レベル放射性廃棄物輸送容器の安全設計及び検査基準 : 2013」, AESJ-SC-F006:2013, 2014 年 11 月 [10] 東京電力ホールディングス, 「福島第一原子力発電所における日々の放射性物質の分析結果、1~4 号設備・共用設備、2020 年度の分析結果、1F4 新燃料調査(共用プール) 砂れきの放射能調査」 [11] 東京電力株式会社, 「4 号新燃料調査に関する報告」, 平成 24 年 9 月 24 日 	<p>・知見の更新に関する説明の追加</p>

核燃料輸送物設計変更承認申請に係る変更前後表

前回申請書 (平成 30 年 8 月 17 日付三原燃第 18-393 号をもって申請 (平成 31 年 2 月 5 日付三原燃第 18-1013 号をもって一部補正))	今回の核燃料輸送物設計変更承認申請	備考
<p>(n) - E 臨界解析</p> <p>E.1 概要</p> <p>本解析では、規則に定められた条件において未臨界の状態が保たれることを示す。</p> <p>本輸送物の臨界安全上の重要な特性は(n) - A構造解析により以下のように示されている。</p> <ul style="list-style-type: none"> ・ パスケットは、核分裂性輸送物に係る一般及び特別の試験条件で臨界性能を損なうような変形は生じない。 ・ 輸送容器は、核分裂性輸送物に係る一般の試験条件において、衝撃吸収カバーが変形する。 ・ 輸送容器は、核分裂性輸送物に係る特別の試験条件において、内筒、胴外板、胴ガセット、胴部レジン及び衝撃吸収カバーが変形する。また、レジンの一部が破壊する。 ・ 燃料棒は、核分裂性輸送物に係る一般及び特別の試験条件において変形するが破断には至らない。 <p>以上のことから、本輸送物の臨界解析モデルは、軸方向に無限長を仮定し、胴外板、胴ガセット及び胴部レジン並びに蓋板、底板及び衝撃吸収カバーを無視した安全側のモデルとした。また、燃料集合体が変形する可能性を考慮し、全燃料集合体についてロジメント内の全スペインの燃料棒ヒッチを最大化したモデルとした。</p> <p>規則で定められる条件とそれぞれの解析条件の対応を(n)-第E.1表に示す。これらすべての条件を考慮して、水密度及び境界条件をパラメータとした解析を実施した。</p> <p>臨界計算には、米国オークリッジ国立研究所で開発された SCALE システム^[1]を用い、実効増倍率 (keff) の計算には多群モンテカルロ計算コード KENO-VI を用いた。</p> <p>解析の結果、孤立系及び配列系を考慮した最も厳しい解析条件は、輸送物が任意の配列で無限個存在し、輸送物内への水の浸入がある場合であり、実効増倍率 (keff) は 3.0 を含めても十分未臨界である。</p> <p>したがって、本輸送物は規則に定めるいずれの条件においても未臨界である。</p>	<p>(n) - E 臨界解析</p> <p>E.1 概要</p> <p>本解析では、規則に定められた条件において未臨界の状態が保たれることを示す。</p> <p>臨界計算には、米国オークリッジ国立研究所で開発された SCALE システム^[1]を用い、実効増倍率 (keff) の計算には多群モンテカルロ計算コード KENO-VI を用いた。</p> <p>本輸送物の臨界解析モデルは、(n) - A構造解析及び(n) - 一旦熱解析において明らかとなった損傷状態を考慮して、胴外板、胴ガセット及び胴部レジン並びに蓋板、底板及び衝撃吸収カバーを無視し、軸方向に無限長を仮定した安全側のモデルとした。また、燃料集合体が変形する可能性を考慮し、全燃料集合体についてロジメント内の全スペインの燃料棒ヒッチを最大化したモデルとした。</p> <p>また、通常輸送時、核分裂性輸送物に係る一般及び特別の試験条件に対する各条件を考慮する損傷状態を考慮した同一のモデルとした。</p> <p>規則で定められる条件とそれぞれの解析条件の対応を(n)-第E.1表に示す。同表に示すように、輸送物内への浸水を假定し、かつ、輸送物が任意の配列で無限個存在する配列の条件で以下の計算を行い、水密度及び境界条件をパラメータとした解析を実施した。</p> <p>解析の結果、実効増倍率 (keff) は 3.0 を含めても十分未臨界である。したがって、本輸送物は規則に定めるいずれの条件においても未臨界である。</p>	<ul style="list-style-type: none"> ・ 知見の更新に関する説明の見直し

核燃料輸送物設計変更承認申請に係る変更前後表

核燃料輸送物設計変更承認申請に係る変更前後表

前回申請書 (平成 30 年 8 月 17 日付三原燃第 18-393 号をもって申請 (平成 31 年 2 月 5 日付三原燃第 18-1013 号をもって一部補正))	今回の核燃料輸送物設計変更承認申請	備考
<p>E.2 解析対象</p> <p>E.2.1 収納物</p> <p>本輸送容器にはBWR燃料集合体を最大10体収納する。</p> <p>本輸送容器に収納する燃料集合体の型式と仕様は(i)ー第A.1表に示したとおりであり、 臨界解析の対象とする燃料集合体の主要諸元を(a)ー第E.2表に示す。</p> <p>燃料集合体には、ガドリニウムを含む燃料棒が含まれる場合があるが、安全側に無視し、 ペレットの濃縮度は(i)ー第E.2表に示すように安全側に全て5.0 wt%とする。</p> <p>また、核分裂性輸送物に係る特別の試験条件における燃料集合体の変形を考慮し、輸送 容器に収納される燃料集合体について全スパンの燃料棒ピッチの変化を仮定する。この燃料 棒ピッチの変化としては、安全側にチャンネルボックスを無視し、燃料棒がロジメント 内に均一に拡がった場合を考える。</p> <p>E.2.2 輸送容器</p> <p>本輸送容器は、核分裂性輸送物に係る一般及び特別の試験条件において以下のような変 形が生じる。</p> <ul style="list-style-type: none"> ・ 核分裂性輸送物に係る一般的な試験条件の落下試験において、衝撃吸収カバーが変形 する。 ・ 核分裂性輸送物に係る特別な試験条件の落下試験において、内筒、胴外板、胴ガセ ット、胴部レジン及び衝撃吸収カバーが変形する。 ・ 核分裂性輸送物に係る特別な試験条件の熱的試験において、内筒が変形し半径が拡 大する。(付録書類-2に示すように、この変形による実効増倍率への影響は無視で きるため考慮しない。)また、レジンの一部が炭化する。 <p>以上のことから、本輸送物の臨界解析モデルは、胴外板、胴ガセット及び胴部レジン並 びに蓋板、底板及び衝撃吸収カバーを無視し、軸方向に無限長を仮定した安全側のモデル としている。</p> <p>本輸送容器には、燃料集合体を所定の位置に保持するためにアルミニウム合金とボロン 入りステンレス鋼からなるバスケットが用いられる。バスケットは核分裂性輸送物に係る 一般及び特別の試験条件において臨界性能を損なうような変形は生じない。</p>	<p>E.2 解析対象</p> <p>E.2.1 収納物</p> <p>本輸送容器にはBWR燃料集合体を最大10体収納する。</p> <p>本輸送容器に収納する燃料集合体の型式と仕様は(i)ー第A.1表に示したとおりであり、 臨界解析の対象とする燃料集合体の主要諸元を(a)ー第E.2表に示す。</p> <p>燃料集合体には、ガドリニウムを含む燃料棒が含まれる場合があるが、安全側に無視し、 ペレットの濃縮度は(i)ー第E.2表に示すように安全側に全て5.0 wt%とする。</p> <p>また、既存の場所に収納される燃料集合体について、核分裂性輸送物に係る一般及び特別 の試験条件において燃料被覆管が剥離しないことを確認しているが、燃料集合体の変形 による安全性能を考慮して、全スパンの燃料棒ピッチの変化を仮定する。この燃料棒ピッチの変 化としては、安全側に既存のチャンネルボックスを無視し、燃料棒がロジメント内に 均一に拡がった場合を考える。</p> <p>E.2.2 輸送容器</p> <p>本輸送容器は、核分裂性輸送物に係る一般及び特別の試験条件において以下のような変 形が生じる。</p> <ul style="list-style-type: none"> ・ 核分裂性輸送物に係る一般的な試験条件の落下試験において、衝撃吸収カバーが変形 する。 ・ 核分裂性輸送物に係る特別な試験条件の落下試験において、内筒、胴外板、胴ガセ ット、胴部レジン及び衝撃吸収カバーが変形する。(i)、バスケットの一部が変形 する) ・ 核分裂性輸送物に係る特別な試験条件の熱的試験において、内筒が変形し半径が拡 大する(i)た、レジンの一部が炭化する。 <p>既存の場所の臨界解析モデルは、以下の損傷を考慮し、通常動作時、(核分裂性輸送物に 係る一般及び特別の試験条件を含む)出力汎域を仮定してモデル化する。詳細は付録書類-2 と付録書類-3に示す。</p>	<ul style="list-style-type: none"> ・ 記載の適正化 ・ 収納物の追加に伴う記載の見直し

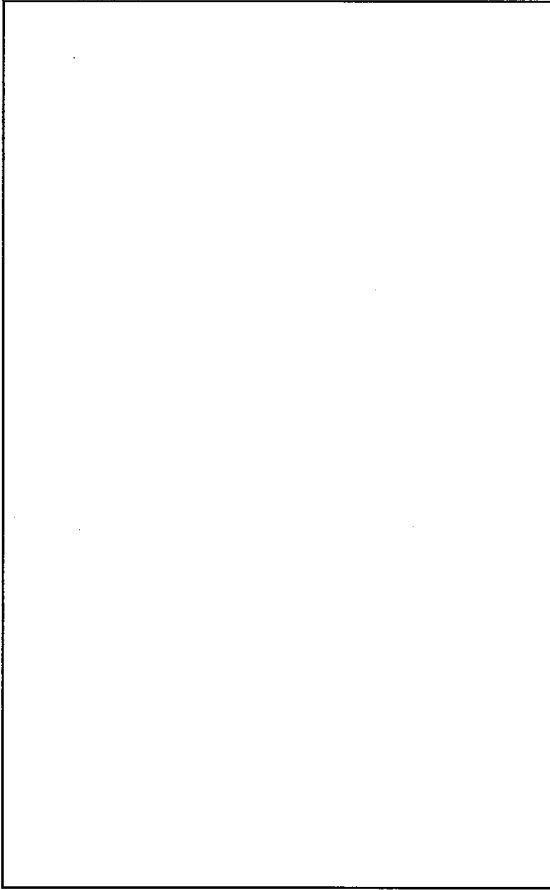
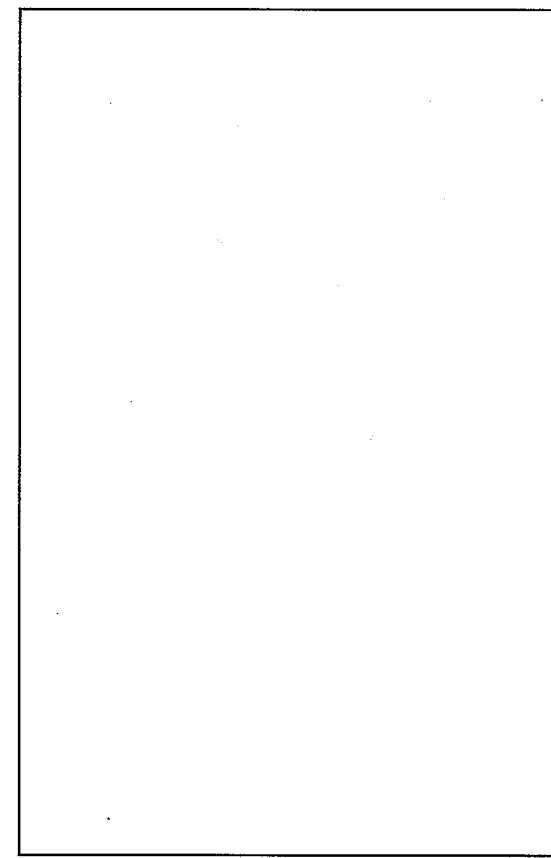
核燃料輸送物設計変更承認申請に係る変更前後表

前回申請書 (平成 30 年 8 月 17 日付三原燃第 18-393 号をもって申請 (平成 31 年 2 月 5 日付三原燃第 18-1013 号をもって一部補正))	今回の核燃料輸送物設計変更承認申請	備考																																														
<p>E.2.3 中性子吸収材</p> <p>本輸送容器は、バスケットに中性子吸収材としてボロン入りステンレス鋼を使用している。ステンレス鋼中のボロン含有量は□wt%以上である。</p> <p>本輸送容器内の中性子束は低いため、長時間経過しても、この中性子の捕獲によって吸収材が著しく消耗されることはない。</p> <p>(v) - 第 E.2 表 臨界解析の対象とする燃料集合体の主要諸元</p> <table border="1"> <thead> <tr> <th>項目</th><th>臨界解析で用いた数値等</th></tr> </thead> <tbody> <tr> <td>燃料材質</td><td>二酸化ウラン</td></tr> <tr> <td>被覆管材質</td><td>ジルカロイ</td></tr> <tr> <td>燃料棒直径 (mm)</td><td>[]</td></tr> <tr> <td>燃料ペレット直径 (mm)</td><td>[]</td></tr> <tr> <td>被覆管肉厚 (mm)</td><td>[]</td></tr> <tr> <td>燃料有効長 (mm)</td><td>[]</td></tr> <tr> <td>燃料棒配列</td><td>9×9</td></tr> <tr> <td>集合体あたり燃料棒数 (本)</td><td>[]</td></tr> <tr> <td>燃料棒ピッチ (mm)</td><td>[]</td></tr> <tr> <td>^{235}U濃縮度 (wt%)</td><td>5.0</td></tr> </tbody> </table> <p>(e) - E - 4</p>	項目	臨界解析で用いた数値等	燃料材質	二酸化ウラン	被覆管材質	ジルカロイ	燃料棒直径 (mm)	[]	燃料ペレット直径 (mm)	[]	被覆管肉厚 (mm)	[]	燃料有効長 (mm)	[]	燃料棒配列	9×9	集合体あたり燃料棒数 (本)	[]	燃料棒ピッチ (mm)	[]	^{235}U 濃縮度 (wt%)	5.0	<p>E.2.3 中性子吸収材</p> <p>本輸送容器は、バスケットに中性子吸収材としてボロン入りステンレス鋼を使用している。ステンレス鋼中のボロン含有量は□wt%以上である。</p> <p>本輸送容器内の中性子束は低いため、長時間経過しても、この中性子の捕獲によって吸収材が著しく消耗されることはない。</p> <p>(v) - 第 E.2 表 臨界解析の対象とする燃料集合体の主要諸元</p> <table border="1"> <thead> <tr> <th>項目</th><th>臨界解析で用いた数値等</th></tr> </thead> <tbody> <tr> <td>燃料材質</td><td>二酸化ウラン</td></tr> <tr> <td>被覆管材質</td><td>ジルカロイ</td></tr> <tr> <td>燃料棒直径 (mm)</td><td>11.0</td></tr> <tr> <td>燃料ペレット直径 (mm)</td><td>[]</td></tr> <tr> <td>被覆管肉厚 (mm)</td><td>[]</td></tr> <tr> <td>燃料有効長 (mm)</td><td>[]</td></tr> <tr> <td>燃料棒配列</td><td>9×9</td></tr> <tr> <td>集合体あたり燃料棒数 (本)</td><td>72</td></tr> <tr> <td>燃料棒ピッチ (mm)</td><td>14.5</td></tr> <tr> <td>^{235}U濃縮度 (wt%)</td><td>5.0</td></tr> <tr> <td>格子の種類</td><td>3 次元格子</td></tr> </tbody> </table> <p>(n) - E - 4</p>	項目	臨界解析で用いた数値等	燃料材質	二酸化ウラン	被覆管材質	ジルカロイ	燃料棒直径 (mm)	11.0	燃料ペレット直径 (mm)	[]	被覆管肉厚 (mm)	[]	燃料有効長 (mm)	[]	燃料棒配列	9×9	集合体あたり燃料棒数 (本)	72	燃料棒ピッチ (mm)	14.5	^{235}U 濃縮度 (wt%)	5.0	格子の種類	3 次元格子	<ul style="list-style-type: none"> ・記載の適正化 ・収納物の追加に伴う記載の見直し
項目	臨界解析で用いた数値等																																															
燃料材質	二酸化ウラン																																															
被覆管材質	ジルカロイ																																															
燃料棒直径 (mm)	[]																																															
燃料ペレット直径 (mm)	[]																																															
被覆管肉厚 (mm)	[]																																															
燃料有効長 (mm)	[]																																															
燃料棒配列	9×9																																															
集合体あたり燃料棒数 (本)	[]																																															
燃料棒ピッチ (mm)	[]																																															
^{235}U 濃縮度 (wt%)	5.0																																															
項目	臨界解析で用いた数値等																																															
燃料材質	二酸化ウラン																																															
被覆管材質	ジルカロイ																																															
燃料棒直径 (mm)	11.0																																															
燃料ペレット直径 (mm)	[]																																															
被覆管肉厚 (mm)	[]																																															
燃料有効長 (mm)	[]																																															
燃料棒配列	9×9																																															
集合体あたり燃料棒数 (本)	72																																															
燃料棒ピッチ (mm)	14.5																																															
^{235}U 濃縮度 (wt%)	5.0																																															
格子の種類	3 次元格子																																															

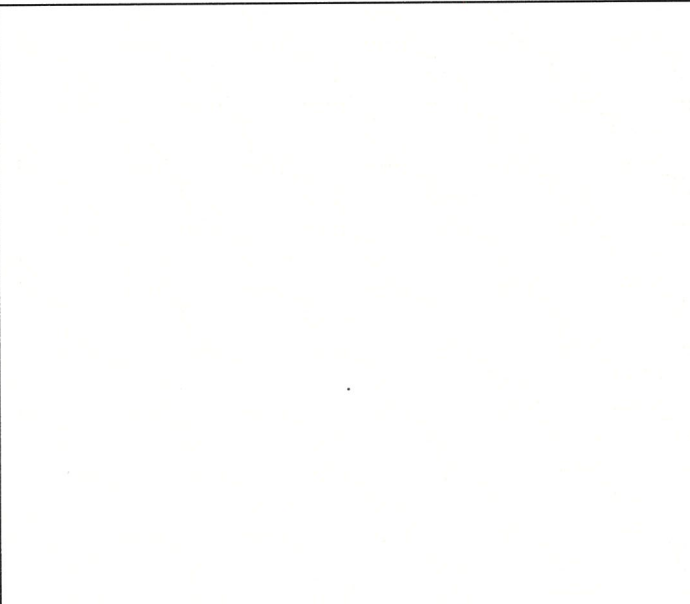
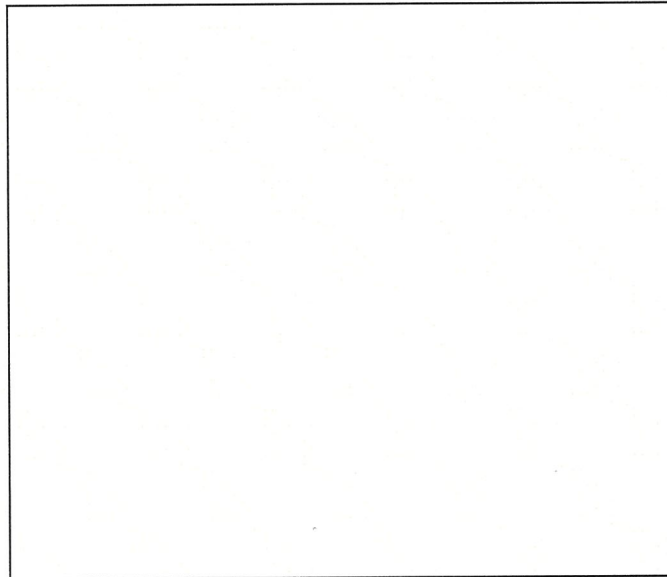
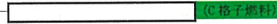
核燃料輸送物設計変更承認申請に係る変更前後表

前回申請書 (平成 30 年 8 月 17 日付三原燃第 18-393 号をもって申請 (平成 31 年 2 月 5 日付三原燃第 18-1013 号をもって一部補正))	今回の核燃料輸送物設計変更承認申請	備考
<p>E.3 モデル仕様</p> <p>E.3.1 解析モデル</p> <p>本輸送物の実効増倍率の計算は、(u) 第E.1 図～(u) 第E.3 図に示す解析モデルで行う。解析モデルは以下の領域により構成される。</p> <ul style="list-style-type: none"> ① 燃料 ② 被覆管（ジルカロイ） ③ ロジメント（ボロン入りステンレス鋼） ④ [] ⑤ [] ⑥ [] ⑦ 追加遮蔽板（アルミニウム合金） ⑧ アルミスペーサー（アルミニウム合金） ⑨ 内筒（ステンレス鋼） ⑩ 水 ⑪ 空間（真空） <p>解析モデルは、安全側の評価となるように以下の条件を考慮している。</p> <ul style="list-style-type: none"> ・ 軸方向に無限長を仮定し、胴外板、胴ガセット及び胴部レジン並びに蓋板、底板及び衝撃吸収カバーを無視する。 ・ 容器内の水密度は、実効増倍率が最大となるように [] g/cm³ とする。 ・ 輸送物の外側は真空とし、実効増倍率が最大となるように完全反射境界とする。 ・ ウォーターロッド及びチャンネルボックスを安全側に無視する。 ・ 燃料集合体の変形を考慮し、全燃料集合体についてロジメント内での全スパンの燃料棒ピッチを拡大させた配列とする。 	<p>E.3 モデル仕様</p> <p>E.3.1 解析モデル</p> <p>本輸送物の実効増倍率の計算は、(u) 第E.1 図～(u) 第E.5 図に示す解析モデルで行う。解析モデルは以下の領域により構成される。</p> <ul style="list-style-type: none"> ① 燃料 ② 被覆管（ジルカロイ） ③ ロジメント（ボロン入りステンレス鋼） ④ [] (アルミニウム合金) ⑤ [] (アルミニウム合金) ⑥ [] (アルミニウム合金) ⑦ 追加遮蔽板（アルミニウム合金） ⑧ アルミスペーサー（アルミニウム合金） ⑨ 内筒（ステンレス鋼） ⑩ 水 ⑪ 空間（[] 真空） <p>解析モデルは、[] 型式の輸送物に係る一般及び特別の試験条件における損傷規範を考慮して、安全側の評価となるように以下の条件を考慮している。(伊原書類-E-6)</p> <ul style="list-style-type: none"> ・ 軸方向に無限長を仮定し、胴外板、胴ガセット及び胴部レジン並びに蓋板、底板及び衝撃吸収カバーを無視する。 ・ 容器内の水密度は、実効増倍率が最大となるように [] g/cm³ とする。 ・ 輸送物の外側は真空とし、実効増倍率が最大となるように完全反射境界とする。 ・ ウォーターロッド、チャンネルボックス [] を安全側に無視する。 ・ 燃料集合体 [] 变形する可能性を考慮し、全燃料集合体についてロジメント内での全スパンの燃料棒ピッチを拡大させた配列とする。 	<ul style="list-style-type: none"> ・ 記載の適正化 ・ 収納物の追加に伴う記載の見直し

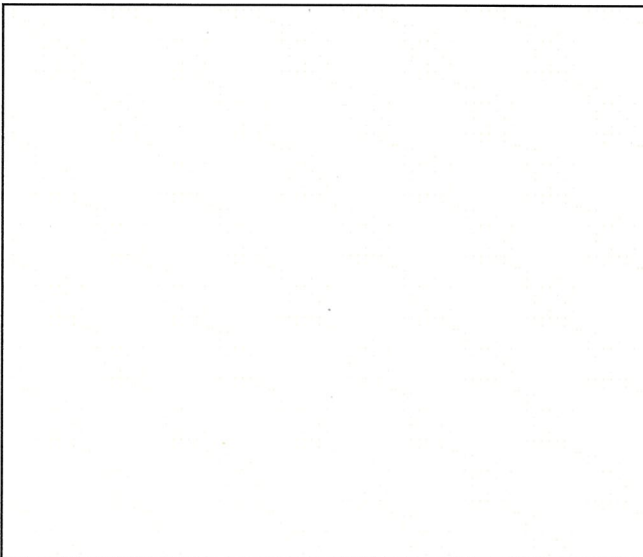
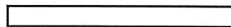
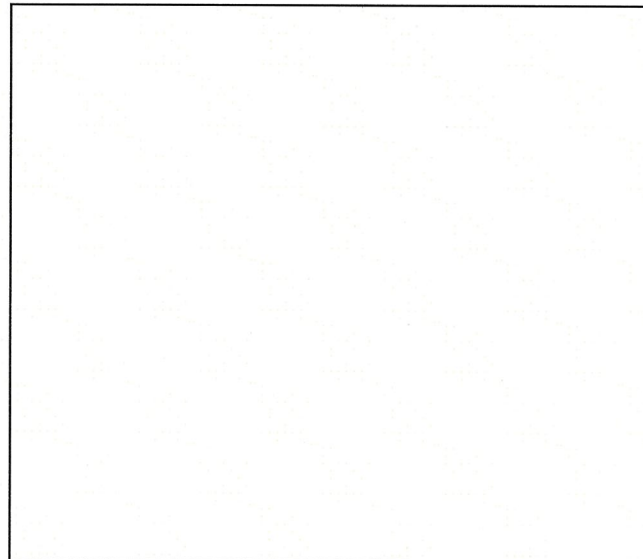
核燃料輸送物設計変更承認申請に係る変更前後表

前回申請書 (平成 30 年 8 月 17 日付三原燃第 18-393 号をもって申請 (平成 31 年 2 月 5 日付三原燃第 18-1013 号をもって一部補正))	今回の核燃料輸送物設計変更承認申請	備考
 (v) - 第 E.1 図 隣界解析モデル（軸方向断面図） (v) - E - 6	 (v) - 第 E.1 図 隣界解析モデル（軸方向断面図） (v) - E - 6	—

核燃料輸送物設計変更承認申請に係る変更前後表

前回申請書 (平成30年8月17日付三原燃第18-393号をもって申請 (平成31年2月5日付三原燃第18-1013号をもって一部補正))	今回の核燃料輸送物設計変更承認申請	備考
 (n) - 第E.2図 臨界解析モデル（横断面図）  (n) - E - 7	 (n) - 第E.2図 臨界解析モデル（横断面図）  (n) - E - 7	<ul style="list-style-type: none">・収納物の追加に伴う記載の見直し

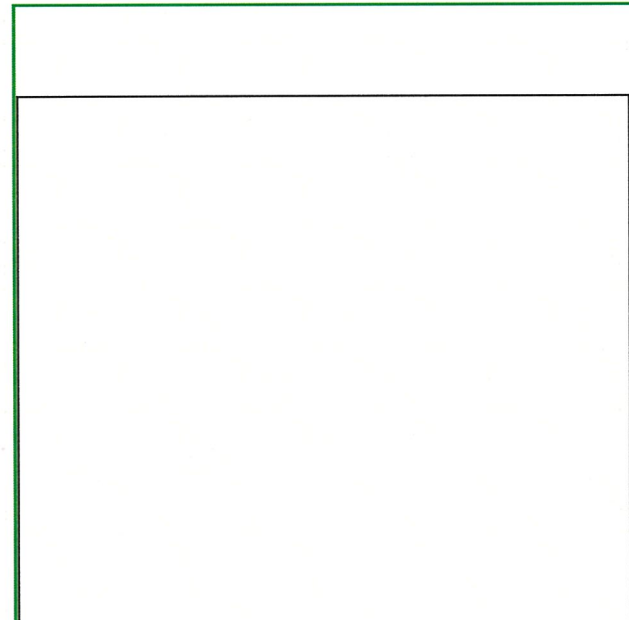
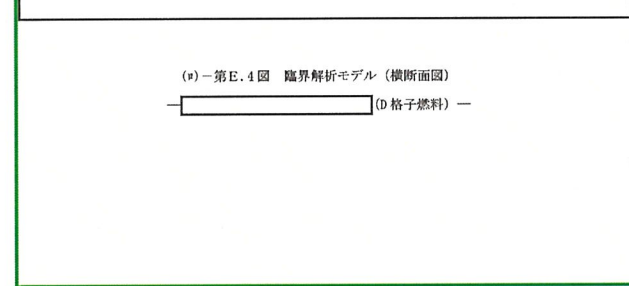
核燃料輸送物設計変更承認申請に係る変更前後表

前回申請書 (平成 30 年 8 月 17 日付三原燃第 18-393 号をもって申請 (平成 31 年 2 月 5 日付三原燃第 18-1013 号をもって一部補正))	今回の核燃料輸送物設計変更承認申請	備考
 (v) - 第 E.3 図 隣界解析モデル (横断面図) 	 (v) - 第 E.3 図 隣界解析モデル (横断面図) 	・収納物の追加に伴う記載の見直し

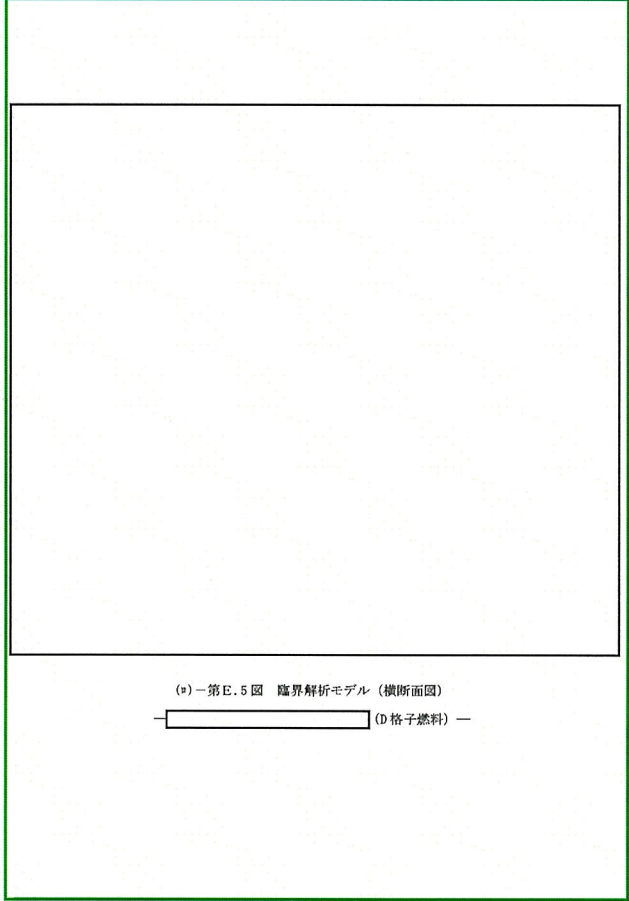
(v) - E - 8

(v) - E - 8

核燃料輸送物設計変更承認申請に係る変更前後表

前回申請書 (平成 30 年 8 月 17 日付三原燃第 18-393 号をもって申請 (平成 31 年 2 月 5 日付三原燃第 18-1013 号をもって一部補正))	今回の核燃料輸送物設計変更承認申請	備考
	 <p>(e) 第 E. 4 図 臨界解析モデル（横断面図） — (d) 格子燃料 —</p> 	<ul style="list-style-type: none">・収納物の追加に伴う記載の追加

核燃料輸送物設計変更承認申請に係る変更前後表

前回申請書 (平成 30 年 8 月 17 日付三原燃第 18-393 号をもって申請 (平成 31 年 2 月 5 日付三原燃第 18-1013 号をもって一部補正))	今回の核燃料輸送物設計変更承認申請	備考
	 <p>(v) - 第 E.5 図 臨界解折モデル（横断面図） — [Redacted] — (D 格子燃料) —</p> <p>(v) - E - 10</p>	<ul style="list-style-type: none">・収納物の追加に伴う記載の追加

核燃料輸送物設計変更承認申請に係る変更前後表

前回申請書 (平成30年8月17日付三原燃第18-393号をもって申請 (平成31年2月5日付三原燃第18-1013号をもって一部補正))					今回の核燃料輸送物設計変更承認申請					備考																																																																																																																																																																				
<p>E.3.2 解析モデル各領域における原子個数密度</p> <p>臨界解析で用いた各領域の構成各元素の原子個数密度を(e)一第E.3表に示す。</p> <p>なお、原子個数密度は、常温における値を用いた。</p> <p>(e)一第E.3表 臨界解析に用いる各領域の原子個数密度 (1/2)</p> <table border="1"> <thead> <tr> <th>領域</th> <th>材料</th> <th>密度 (g/cm³)</th> <th>体積比 (%)</th> <th>核種</th> <th>原子個数密度 (atoms/barn·cm)</th> </tr> </thead> <tbody> <tr> <td rowspan="3">①燃料</td> <td rowspan="3">二酸化ウラン</td> <td rowspan="3">10.63</td> <td rowspan="3">100</td> <td>O</td> <td></td> </tr> <tr> <td>²³⁴U</td> <td></td> </tr> <tr> <td>²³⁸U</td> <td></td> </tr> <tr> <td rowspan="3">②被覆管</td> <td rowspan="3">ジルカロイ</td> <td rowspan="3">6.55</td> <td rowspan="3">100</td> <td>Zr</td> <td></td> </tr> <tr> <td>Sn</td> <td></td> </tr> <tr> <td>¹⁰B</td> <td></td> </tr> <tr> <td rowspan="5">③ロジメント</td> <td rowspan="5">ボロン入り ステンレス鋼</td> <td rowspan="5">7.80</td> <td rowspan="5">100</td> <td>¹¹B</td> <td></td> </tr> <tr> <td>Cr</td> <td></td> </tr> <tr> <td>Fe</td> <td></td> </tr> <tr> <td>Ni</td> <td></td> </tr> <tr> <td>Mg</td> <td></td> </tr> <tr> <td rowspan="3">④</td> <td rowspan="3">アルミニウム 合金</td> <td rowspan="3">2.78</td> <td rowspan="3">100</td> <td>Al</td> <td></td> </tr> <tr> <td>Cu</td> <td></td> </tr> <tr> <td>Mg</td> <td></td> </tr> <tr> <td rowspan="4">⑥</td> <td rowspan="4">アルミニウム 合金</td> <td rowspan="4">2.80</td> <td rowspan="4">100</td> <td>Al</td> <td></td> </tr> <tr> <td>Cu</td> <td></td> </tr> <tr> <td>Zn</td> <td></td> </tr> <tr> <td>Mg</td> <td></td> </tr> <tr> <td>⑦追加遮蔽板</td> <td>アルミニウム 合金</td> <td>2.84</td> <td>100</td> <td>Al</td> <td></td> </tr> <tr> <td>⑧アルミスペーサー</td> <td>アルミニウム 合金</td> <td>2.70</td> <td>100</td> <td>Mg</td> <td></td> </tr> <tr> <td></td> <td></td> <td></td> <td></td> <td>Al</td> <td></td> </tr> </tbody> </table>					領域	材料	密度 (g/cm ³)	体積比 (%)	核種	原子個数密度 (atoms/barn·cm)	①燃料	二酸化ウラン	10.63	100	O		²³⁴ U		²³⁸ U		②被覆管	ジルカロイ	6.55	100	Zr		Sn		¹⁰ B		③ロジメント	ボロン入り ステンレス鋼	7.80	100	¹¹ B		Cr		Fe		Ni		Mg		④	アルミニウム 合金	2.78	100	Al		Cu		Mg		⑥	アルミニウム 合金	2.80	100	Al		Cu		Zn		Mg		⑦追加遮蔽板	アルミニウム 合金	2.84	100	Al		⑧アルミスペーサー	アルミニウム 合金	2.70	100	Mg						Al		<p>E.3.2 解析モデル各領域における原子個数密度</p> <p>臨界解析で用いた各領域の構成各元素の原子個数密度を(e)一第E.3表に示す。</p> <p>なお、原子個数密度は、常温における値を用いた。</p> <p>(e)一第E.3表 臨界解析に用いる各領域の原子個数密度 (1/2)</p> <table border="1"> <thead> <tr> <th>領域</th> <th>材料</th> <th>密度 (g/cm³)</th> <th>体積比 (%)</th> <th>核種</th> <th>原子個数密度 (atoms/barn·cm)</th> </tr> </thead> <tbody> <tr> <td rowspan="3">①燃料</td> <td rowspan="3">二酸化ウラン</td> <td rowspan="3">10.63</td> <td rowspan="3">100</td> <td>O</td> <td></td> </tr> <tr> <td>²³⁴U</td> <td></td> </tr> <tr> <td>²³⁸U</td> <td></td> </tr> <tr> <td rowspan="3">②被覆管</td> <td rowspan="3">ジルカロイ</td> <td rowspan="3">6.55</td> <td rowspan="3">100</td> <td>Zr</td> <td></td> </tr> <tr> <td>Sn</td> <td></td> </tr> <tr> <td>¹⁰B</td> <td></td> </tr> <tr> <td rowspan="5">③ロジメント</td> <td rowspan="5">ボロン入り ステンレス鋼</td> <td rowspan="5">7.80</td> <td rowspan="5">100</td> <td>¹¹B</td> <td></td> </tr> <tr> <td>Cr</td> <td></td> </tr> <tr> <td>Fe</td> <td></td> </tr> <tr> <td>Ni</td> <td></td> </tr> <tr> <td>Mg</td> <td></td> </tr> <tr> <td rowspan="3">④</td> <td rowspan="3">アルミニウム 合金</td> <td rowspan="3">2.78</td> <td rowspan="3">100</td> <td>Al</td> <td></td> </tr> <tr> <td>Cu</td> <td></td> </tr> <tr> <td>Mg</td> <td></td> </tr> <tr> <td rowspan="4">⑥</td> <td rowspan="4">アルミニウム 合金</td> <td rowspan="4">2.80</td> <td rowspan="4">100</td> <td>Zn</td> <td></td> </tr> <tr> <td>Al</td> <td></td> </tr> <tr> <td>Cu</td> <td></td> </tr> <tr> <td>Mg</td> <td></td> </tr> <tr> <td>⑦追加遮蔽板</td> <td>アルミニウム 合金</td> <td>2.84</td> <td>100</td> <td>Al</td> <td></td> </tr> <tr> <td>⑧アルミスペーサー</td> <td>アルミニウム 合金</td> <td>2.70</td> <td>100</td> <td>Mg</td> <td></td> </tr> <tr> <td></td> <td></td> <td></td> <td></td> <td>Al</td> <td></td> </tr> </tbody> </table>									領域	材料	密度 (g/cm ³)	体積比 (%)	核種	原子個数密度 (atoms/barn·cm)	①燃料	二酸化ウラン	10.63	100	O		²³⁴ U		²³⁸ U		②被覆管	ジルカロイ	6.55	100	Zr		Sn		¹⁰ B		③ロジメント	ボロン入り ステンレス鋼	7.80	100	¹¹ B		Cr		Fe		Ni		Mg		④	アルミニウム 合金	2.78	100	Al		Cu		Mg		⑥	アルミニウム 合金	2.80	100	Zn		Al		Cu		Mg		⑦追加遮蔽板	アルミニウム 合金	2.84	100	Al		⑧アルミスペーサー	アルミニウム 合金	2.70	100	Mg						Al		・記載の適正化
領域	材料	密度 (g/cm ³)	体積比 (%)	核種	原子個数密度 (atoms/barn·cm)																																																																																																																																																																									
①燃料	二酸化ウラン	10.63	100	O																																																																																																																																																																										
				²³⁴ U																																																																																																																																																																										
				²³⁸ U																																																																																																																																																																										
②被覆管	ジルカロイ	6.55	100	Zr																																																																																																																																																																										
				Sn																																																																																																																																																																										
				¹⁰ B																																																																																																																																																																										
③ロジメント	ボロン入り ステンレス鋼	7.80	100	¹¹ B																																																																																																																																																																										
				Cr																																																																																																																																																																										
				Fe																																																																																																																																																																										
				Ni																																																																																																																																																																										
				Mg																																																																																																																																																																										
④	アルミニウム 合金	2.78	100	Al																																																																																																																																																																										
				Cu																																																																																																																																																																										
				Mg																																																																																																																																																																										
⑥	アルミニウム 合金	2.80	100	Al																																																																																																																																																																										
				Cu																																																																																																																																																																										
				Zn																																																																																																																																																																										
				Mg																																																																																																																																																																										
⑦追加遮蔽板	アルミニウム 合金	2.84	100	Al																																																																																																																																																																										
⑧アルミスペーサー	アルミニウム 合金	2.70	100	Mg																																																																																																																																																																										
				Al																																																																																																																																																																										
領域	材料	密度 (g/cm ³)	体積比 (%)	核種	原子個数密度 (atoms/barn·cm)																																																																																																																																																																									
①燃料	二酸化ウラン	10.63	100	O																																																																																																																																																																										
				²³⁴ U																																																																																																																																																																										
				²³⁸ U																																																																																																																																																																										
②被覆管	ジルカロイ	6.55	100	Zr																																																																																																																																																																										
				Sn																																																																																																																																																																										
				¹⁰ B																																																																																																																																																																										
③ロジメント	ボロン入り ステンレス鋼	7.80	100	¹¹ B																																																																																																																																																																										
				Cr																																																																																																																																																																										
				Fe																																																																																																																																																																										
				Ni																																																																																																																																																																										
				Mg																																																																																																																																																																										
④	アルミニウム 合金	2.78	100	Al																																																																																																																																																																										
				Cu																																																																																																																																																																										
				Mg																																																																																																																																																																										
⑥	アルミニウム 合金	2.80	100	Zn																																																																																																																																																																										
				Al																																																																																																																																																																										
				Cu																																																																																																																																																																										
				Mg																																																																																																																																																																										
⑦追加遮蔽板	アルミニウム 合金	2.84	100	Al																																																																																																																																																																										
⑧アルミスペーサー	アルミニウム 合金	2.70	100	Mg																																																																																																																																																																										
				Al																																																																																																																																																																										

(e) - E - 9

(e) - E - 11

核燃料輸送物設計変更承認申請に係る変更前後表

核燃料輸送物設計変更承認申請に係る変更前後表

前回申請書 (平成 30 年 8 月 17 日付三原燃第 18-393 号をもって申請 (平成 31 年 2 月 5 日付三原燃第 18-1013 号をもって一部補正))	今回の核燃料輸送物設計変更承認申請	備考
<p>E.4 未臨界評価</p> <p>E.4.1 計算条件</p> <p>収納物、輸送容器及び中性子吸収材のモデル化の妥当性について以下に示す。</p> <p>(1) 収納物</p> <p>輸送物の燃料的最大収納量は 10 体であるため、本解析では最大収納量の場合を想定している。また、(a) 第 E.2 表に示す燃料に対し、安全側に核分裂性輸送物に係る一般及び特別の試験条件における燃料集合体の変形を考慮し、全スパンの燃料棒をロジメント内に均一にピッチ拡大させている。(付属書類-3 参照)</p> <p>(2) 輸送容器</p> <p>臨界解析では、軸方向に無限長を仮定し、胴外板、胴ガセット及び胴部レジン並びに蓋板、底板及び衝撃吸収カバーを、安全側の仮定とするため無視している。</p> <p>(3) 中性子吸収材</p> <p>中性子吸収材であるボロン入りステンレス鋼に含まれるボロンの含有量を、最低保証値である □ wt% としており、十分安全側の解析モデルとなっている。また、本輸送容器内の中性子束は低いため、長時間経過しても、この中性子の捕獲によって吸収材が著しく消耗されることはない。</p> <p>E.4.2 輸送物への水の浸入等</p> <p>最大の実効増倍率を評価するために、輸送物内へ水が浸入するものとしている。(付属書類-1 参照)</p> <p>輸送物の外側は、真空とし、実効増倍率が最大となるように完全反射境界とする。(付属書類-1 に示すように、容器外の空間の水の存在が実効増倍率へ与える影響は無視できるため考慮しない。)</p> <p>E.4.3 計算方法</p> <p>臨界計算には、米国オークリッジ国立研究所で開発された SCALE システム^[1]を用い、実効増倍率 (k_{eff}) の計算には多群モンテカルロ計算コード KENO-VI を用いる。</p> <p>燃料領域以外の領域の群定数計算には共鳴計算処理コード CENTRN/PMC/WORKER を、燃料領域の群定数計算には共鳴処理コード BONAMI、CENTRN/PMC/WORKER 及び一次元輸送計算コード XSDRNP を用いる。核データライブラリーは SCALE システムの内蔵ライブラリーデータの一つである ENDF/B-VII 238 群ライブラリーデータを用いる。</p>	<p>E.4 未臨界評価</p> <p>E.4.1 計算条件</p> <p>収納物、輸送容器及び中性子吸収材のモデル化の妥当性について以下に示す。</p> <p>(1) 収納物</p> <p>輸送物の燃料的最大収納量は 10 体であるため、本解析では最大収納量の場合を想定している。また、(a) 第 E.2 表に示す燃料に対し、燃料集合体が変形する可能性を考慮し、全スパンの燃料棒をロジメント内に均一にピッチ拡大させている。燃料集合体の変形について、(付属書類-3) に示すように格子状のそれについて評価している。(付属書類-1)</p> <p>(2) 輸送容器</p> <p>臨界解析では、軸方向に無限長を仮定し、胴外板、胴ガセット及び胴部レジン並びに蓋板、底板及び衝撃吸収カバーを、安全側の仮定とするため無視している。</p> <p>(3) 中性子吸収材</p> <p>中性子吸収材であるボロン入りステンレス鋼に含まれるボロンの含有量を、最低保証値である □ wt% としており、十分安全側の解析モデルとなっている。また、本輸送容器内の中性子束は低いため、長時間経過しても、この中性子の捕獲によって吸収材が著しく消耗されることはない。(付属書類-1) に示すように、燃料集合体の外表面まで水が侵入するものとしている。</p> <p>E.4.2 輸送物への水の浸入等</p> <p>最大の実効増倍率を評価するために、輸送物内へ水が浸入するものとしている。(付属書類-1) に示すように、燃料集合体の外表面に開けた孔によって輸送容器に吸収されるが、臨界解析では吸収缶の存在を無視し、燃料集合体の外表面まで水が侵入するものとしている。また、(付属書類-1) に示すように、燃料集合体を輸送容器に収納する際に、吸収缶及び必要に応じて捕獲材が使用されるが、これらの存在を考慮する場合に比べて、無視して燃料棒ピッチを拡大させた方が実効増倍率は大きくなることを確認しており(付属書類-1)、保守的に収納缶及び捕獲材の存在を無視する。</p> <p>E.4.3 計算方法</p> <p>臨界計算には、米国オーケリッジ国立研究所で開発された SCALE システム^[1]を用い、実効増倍率 (k_{eff}) の計算には多群モンテカルロ計算コード KENO-VI を用いる。</p> <p>燃料領域以外の領域の群定数計算には共鳴計算処理コード CENTRN/PMC/WORKER を、燃料</p>	<ul style="list-style-type: none"> ・記載の適正化 ・収納物の追加に伴う記載の追加 ・知見の更新に関する説明の追加 ・記載要領の変更に伴う記載の見直し

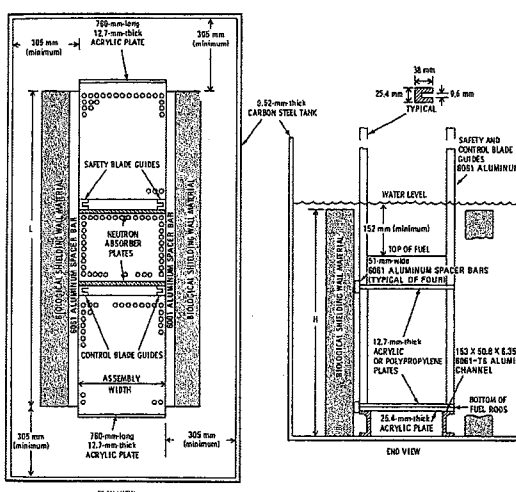
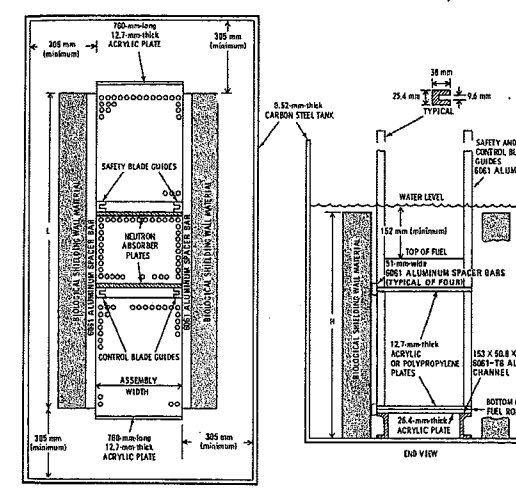
核燃料輸送物設計変更承認申請に係る変更前後表

前回申請書 (平成 30 年 8 月 17 日付三原燃第 18-393 号をもって申請 (平成 31 年 2 月 5 日付三原燃第 18-1013 号をもって一部補正))	今回の核燃料輸送物設計変更承認申請	備考																		
<p>E. 4.4 計算結果</p> <p>臨界計算の結果を(a) 第E.4 表に示す。</p> <p>本計算は、(i) 第E.1 表に示される各状態のうち、最も厳しい条件である核分裂性輸送物に係る特別の試験条件下に置いた輸送物を配列系の条件に置く場合であり、計算結果から十分未臨界になっていることが確認された。</p> <p>(a) 第E.4 表 臨界解析結果</p> <table border="1"> <thead> <tr> <th>keff</th> <th>σ</th> <th>$keff + 3\sigma$</th> </tr> </thead> <tbody> <tr> <td>[Redacted]</td> <td>[Redacted]</td> <td>[Redacted]</td> </tr> </tbody> </table> <p>(b) — E — 12</p>	keff	σ	$keff + 3\sigma$	[Redacted]	[Redacted]	[Redacted]	<p>領域の群定数計算には共鳴処理コード BONAMI、CENTRN/PMC/WORKER 及び一次元輸送計算コード XSDRNPM を用いる。核データライブラリーは SCALE システムの内蔵ライブラリーデータの一つである ENDF/B-VII 238 群ライブラリーデータを用いる。</p> <p>E. 4.4 計算結果</p> <p>臨界計算の結果を(a) 第E.4 表に示す。</p> <p>本計算の結果、其効率値は目標値の 3 倍を下回っており、(c) 格子燃料の場合、 [Redacted] (d) 格子燃料の場合) であり、未臨界であることが確認された。</p> <p>(b) 第E.4 表 臨界解析結果</p> <table border="1"> <thead> <tr> <th>燃料の格子形状</th> <th>keff</th> <th>σ</th> <th>$keff + 3\sigma$</th> </tr> </thead> <tbody> <tr> <td>1 格子</td> <td>[Redacted]</td> <td>[Redacted]</td> <td>[Redacted]</td> </tr> <tr> <td>2 格子</td> <td>[Redacted]</td> <td>[Redacted]</td> <td>[Redacted]</td> </tr> </tbody> </table> <p>(c) — E — 14</p>	燃料の格子形状	keff	σ	$keff + 3\sigma$	1 格子	[Redacted]	[Redacted]	[Redacted]	2 格子	[Redacted]	[Redacted]	[Redacted]	<ul style="list-style-type: none"> ・知見の更新に関する説明の追加（解析結果の追加）
keff	σ	$keff + 3\sigma$																		
[Redacted]	[Redacted]	[Redacted]																		
燃料の格子形状	keff	σ	$keff + 3\sigma$																	
1 格子	[Redacted]	[Redacted]	[Redacted]																	
2 格子	[Redacted]	[Redacted]	[Redacted]																	

核燃料輸送物設計変更承認申請に係る変更前後表

前回申請書 (平成 30 年 8 月 17 日付三原燃第 18-393 号をもって申請 (平成 31 年 2 月 5 日付三原燃第 18-1013 号をもって一部補正))	今回の核燃料輸送物設計変更承認申請	備考
<p>E.5 ベンチマーク試験</p> <p>SCALE コードシステムは、米国オークリッジ国立研究所で、原子力関連許認可評価用に開発された解析コードであり、様々なベンチマーク解析により十分な検証が行われている。ここでは、米国 Pacific Northwest Laboratories (PNL) で行われた臨界実験^[1]を対象としたベンチマーク解析を実施した。</p> <p>(1) ベンチマーク試験</p> <p>ベンチマーク解析対象とした PNL-3602 臨界実験の体系は、鉄の反射体に挟まれた 3 つのクラスター（低濃縮ウラン燃料棒を正方格子に配列した体系）の間に中性子吸収材を設置したものであり、中性子吸収材の種類、板厚、水ギャップ幅及び燃料のウラン濃縮度など、輸送物の臨界解析で重要と考えられる要因に関し、数種類の異なる体系で実施されている。実験体系の概要を (e) 第 E.4 図に示す。</p> <p>(2) ベンチマーク解析条件</p> <p>ベンチマーク解析は、国際臨界安全ベンチマーク評価プロジェクト (International Criticality Safety Benchmark Evaluation Project (ICSBEP)) の評価書から低濃縮二酸化ウラン燃料によるベンチマーク試験^{[3]~[6]}を選択した。本ベンチマーク解析では、本輸送物の臨界解析条件に合わせるために、ライブラリは ENDF/B-VII、計算コードは KENO-VI を用いた。</p> <p>(3) ベンチマーク解析結果</p> <p>ベンチマーク解析の結果を (e) 第 E.5 表に示す。ベンチマーク解析の結果は臨界試験結果と精度良く一致しており、使用した解析コード及び核データは妥当な結果を与えることが確認された。</p>	<p>E.5 ベンチマーク試験</p> <p>SCALE コードシステムは、米国オーケリッジ国立研究所で、原子力関連許認可評価用に開発された解析コードであり、様々なベンチマーク解析により十分な検証が行われている。ここでは、米国 Pacific Northwest Laboratories (PNL) で行われた臨界実験^[1]を対象としたベンチマーク解析を実施した。</p> <p>(1) ベンチマーク試験</p> <p>ベンチマーク解析対象とした PNL-3602 臨界実験の体系は、鉄の反射体に挟まれた 3 つのクラスター（低濃縮ウラン燃料棒を正方格子に配列した体系）の間に中性子吸収材を設置したものであり、中性子吸収材の種類、板厚、水ギャップ幅及び燃料のウラン濃縮度など、輸送物の臨界解析で重要と考えられる要因に関し、数種類の異なる体系で実施されている。実験体系の概要を (e) 第 E.4 図に示す。</p> <p>(2) ベンチマーク解析条件</p> <p>ベンチマーク解析は、国際臨界安全ベンチマーク評価プロジェクト (International Criticality Safety Benchmark Evaluation Project (ICSBEP)) の評価書から低濃縮二酸化ウラン燃料によるベンチマーク試験^{[3]~[6]}を選択した。本ベンチマーク解析では、本輸送物の臨界解析条件に合わせるために、ライブラリは ENDF/B-VII、計算コードは KENO-VI を用いた。</p> <p>(3) ベンチマーク解析結果</p> <p>ベンチマーク解析の結果を (e) 第 E.5 表に示す。ベンチマーク解析の結果は臨界試験結果と精度良く一致しており、使用した解析コード及び核データは妥当な結果を与えることが確認された。</p>	<p>・記載の適正化</p>

核燃料輸送物設計変更承認申請に係る変更前後表

前回申請書 (平成30年8月17日付三原燃第18-393号をもって申請 (平成31年2月5日付三原燃第18-1013号をもって一部補正))	今回の核燃料輸送物設計変更承認申請	備考
 <p>(v) - 第E.4図 PNL-3602の臨界実験体系</p> <p>PLAN VIEW</p> <p>END VIEW</p>	 <p>(v) - 第E.6図 PNL-3602の臨界実験体系</p> <p>PLAN VIEW</p> <p>END VIEW</p>	

(v) - E - 14

(v) - E - 16

核燃料輸送物設計変更承認申請に係る変更前後表

前回申請書 (平成 30 年 8 月 17 日付三原燃第 18-393 号をもって申請 (平成 31 年 2 月 5 日付三原燃第 18-1013 号をもって一部補正))	今回の核燃料輸送物設計変更承認申請	備考
<p>E.6 結果の要約及びその評価</p> <p>本輸送容器には、輸送中に燃料集合体が分散あるいは集合しないように、燃料集合体を収納するバスケットが用いられている。燃料集合体を挿入するロジメントには中性子吸収材であるボロンを含むボロン入りステンレス鋼が採用されている。</p> <p>本輸送容器の臨界解析は、</p> <ul style="list-style-type: none"> ① 通常輸送時 ② 輸送物を孤立系の条件に置く場合 ③ 一般的試験条件下に置いた輸送物を孤立系の条件に置く場合 ④ 特別の試験条件下に置いた輸送物を孤立系の条件に置く場合 ⑤ 一般的試験条件下に置いた輸送物を配列系の条件に置く場合 ⑥ 特別の試験条件下に置いた輸送物を配列系の条件に置く場合 <p>のうち最も厳しい条件⑥で行い、十分未臨界という結果となった。</p> <p>したがって、上記の①～⑥のいずれの条件においても未臨界は維持される。</p>	<p>E.6 結果の要約及びその評価</p> <p>本輸送容器には、輸送中に燃料集合体が分散あるいは集合しないように、燃料集合体を収納するバスケットが用いられている。燃料集合体を挿入するロジメントには中性子吸収材であるボロンを含むボロン入りステンレス鋼が採用されている。</p> <p>本輸送容器の臨界解析は、</p> <ul style="list-style-type: none"> ① 通常輸送時 ② 輸送物を孤立系の条件に置く場合 ③ 一般的試験条件下に置いた輸送物を孤立系の条件に置く場合 ④ 特別の試験条件下に置いた輸送物を孤立系の条件に置く場合 ⑤ 一般的試験条件下に置いた輸送物を配列系の条件に置く場合 ⑥ 特別の試験条件下に置いた輸送物を配列系の条件に置く場合 <p>の条件を含むように、荷分離性輸送物に係る一般及び特別の試験条件での最大相違を考慮し、かつ、輸送物内部への浸水を假定した配列系の条件で行い、十分未臨界という結果となった。</p> <p>したがって、上記の①～⑥のいずれの条件においても未臨界は維持される。</p>	<p>・記載の適正化</p>

核燃料輸送物設計変更承認申請に係る変更前後表

前回申請書 (平成 30 年 8 月 17 日付三原燃第 18-393 号をもって申請 (平成 31 年 2 月 5 日付三原燃第 18-1013 号をもって一部補正))	今回の核燃料輸送物設計変更承認申請	備考
	<p>E.7 付属書類</p> <p>E.7.1 付属書類-1 輸送物の損傷状態と臨界解析のモデル化方法</p> <p>核分裂性輸送物に係る一般及び特別の試験条件における輸送物の損傷状態と臨界解析のモデル化方法を(9)一第E.付1.1表～(6)一第E.付1.3表に示す。</p> <p>なお、E.1 及び(9)一第E.1表に示したように、本解析においては、規則で定められた条件を包含するように、通常輸送時、核分裂性輸送物に係る一般の試験条件及び特別の試験条件に対し、これらを包含する損傷状態を考慮し、かつ、輸送物内への浸水を仮定した配列系の条件を用いた評価を行う。</p>	<ul style="list-style-type: none"> ・知見の更新に関する説明の追加

核燃料輸送物設計変更承認申請に係る変更前後表

前回申請書 (平成30年8月17日付三原燃第18-393号をもって申請 (平成31年2月5日付三原燃第18-1013号をもって一部補正))	今回の核燃料輸送物設計変更承認申請	備考																				
	<p>(ii) 第E.付1.1表 輸送物の損傷状態と臨界解析のモデル化方法 (本体、蓋部及び衝撃吸収カバー)</p> <table border="1"> <thead> <tr> <th>部位</th> <th>核分裂性輸送物に係る¹⁾ 一般及び特別の試験条件</th> <th>輸送物の損傷状態</th> <th>臨界解析の モデル化法</th> <th>備考</th> </tr> </thead> <tbody> <tr> <td>本体、蓋部 及び衝撃 吸収カバー</td> <td>自由落下及び落下面積試験¹⁾ (0.3m及び1.0m落下面積) 落下面積試験¹⁾ (1mm落下面積)</td> <td> <ul style="list-style-type: none"> 内側に最大□%、脇がセットに最大□%、脇外板に最大□%、上部フランジに最大□%及び底板に最大□%の局所的な塑性変形が生ずるが、□%下回る。 衝撃吸収カバーに最大□mmの変形が生じる。 </td> <td> <ul style="list-style-type: none"> (a) 第E.1図～(e)～第E.5図に示すように、内側のみをモデル化し、以下 内側の変形については、以下の通り 由から変形を無視しモデル化している。 <ul style="list-style-type: none"> 一側外板 一側外板、脇がセットが壊断し脇部レジンが露出する。 内側の一部が膨らむが破断には至らない。 ・脇部レジンに最大約□mm、底部レジンに最大約□mmのへこみが生じる。 ・衝撃吸収カバーが壊断する。 ・内側の中央部分が膨らむようになり、レジンの一部が陥没する。 ・衝撃吸収カバーの一部が陥没する。 </td> <td> <ul style="list-style-type: none"> 内側より外側を無視することで全て全側に輸送物間距離を仮定させたモデルとしている。 内側の変形については、以下の通り 由から変形を無視しモデル化している。 一自由落下及び落下面積試験において内側に発生する塑性変形は、局所的かつ軽微であり、形状変化の影響は無視される。 一落下面積試験Ⅱにおける内側の変形について、実効増倍率への影響は無視し得る。(付属書類-4) 一落下面積試験における内側の増大について、実効増倍率への影響は無視し得る。(付属書類-5) ・容器内部への水の浸入を遮断する。²⁾ ・輸送物が任意の配列で配置存在すると仮定する。²⁾ ・容器内外での水流量について、実効増倍率による影響は無視し得る。(付属書類-6) ・容器内外での水流量について、実効増倍率が最もなるように最適化した条件としている。(付属書類-3) </td> </tr> <tr> <td></td> <td>熱的試験 (耐火試験)</td> <td>・15m浸漬試験において載荷しない。</td> <td></td> <td></td> </tr> <tr> <td></td> <td>浸漬試験 (0.9m及び15m浸漬)</td> <td>・15m浸漬試験における載荷は、輸送容器の構造に係わらず、容器内部への浸水を想定している。</td> <td></td> <td></td> </tr> </tbody> </table> <p>注1) 核分裂性輸送物に係る一般的の実験条件での水噴霧、積み重ね試験及び真通りの水噴霧試験の共通事項</p> <p>注2) 離島界解析モデル全体の共通事項</p>	部位	核分裂性輸送物に係る ¹⁾ 一般及び特別の試験条件	輸送物の損傷状態	臨界解析の モデル化法	備考	本体、蓋部 及び衝撃 吸収カバー	自由落下及び落下面積試験 ¹⁾ (0.3m及び1.0m落下面積) 落下面積試験 ¹⁾ (1mm落下面積)	<ul style="list-style-type: none"> 内側に最大□%、脇がセットに最大□%、脇外板に最大□%、上部フランジに最大□%及び底板に最大□%の局所的な塑性変形が生ずるが、□%下回る。 衝撃吸収カバーに最大□mmの変形が生じる。 	<ul style="list-style-type: none"> (a) 第E.1図～(e)～第E.5図に示すように、内側のみをモデル化し、以下 内側の変形については、以下の通り 由から変形を無視しモデル化している。 <ul style="list-style-type: none"> 一側外板 一側外板、脇がセットが壊断し脇部レジンが露出する。 内側の一部が膨らむが破断には至らない。 ・脇部レジンに最大約□mm、底部レジンに最大約□mmのへこみが生じる。 ・衝撃吸収カバーが壊断する。 ・内側の中央部分が膨らむようになり、レジンの一部が陥没する。 ・衝撃吸収カバーの一部が陥没する。 	<ul style="list-style-type: none"> 内側より外側を無視することで全て全側に輸送物間距離を仮定させたモデルとしている。 内側の変形については、以下の通り 由から変形を無視しモデル化している。 一自由落下及び落下面積試験において内側に発生する塑性変形は、局所的かつ軽微であり、形状変化の影響は無視される。 一落下面積試験Ⅱにおける内側の変形について、実効増倍率への影響は無視し得る。(付属書類-4) 一落下面積試験における内側の増大について、実効増倍率への影響は無視し得る。(付属書類-5) ・容器内部への水の浸入を遮断する。²⁾ ・輸送物が任意の配列で配置存在すると仮定する。²⁾ ・容器内外での水流量について、実効増倍率による影響は無視し得る。(付属書類-6) ・容器内外での水流量について、実効増倍率が最もなるように最適化した条件としている。(付属書類-3) 		熱的試験 (耐火試験)	・15m浸漬試験において載荷しない。				浸漬試験 (0.9m及び15m浸漬)	・15m浸漬試験における載荷は、輸送容器の構造に係わらず、容器内部への浸水を想定している。			<ul style="list-style-type: none"> ・知見の更新に関する説明の追加
部位	核分裂性輸送物に係る ¹⁾ 一般及び特別の試験条件	輸送物の損傷状態	臨界解析の モデル化法	備考																		
本体、蓋部 及び衝撃 吸収カバー	自由落下及び落下面積試験 ¹⁾ (0.3m及び1.0m落下面積) 落下面積試験 ¹⁾ (1mm落下面積)	<ul style="list-style-type: none"> 内側に最大□%、脇がセットに最大□%、脇外板に最大□%、上部フランジに最大□%及び底板に最大□%の局所的な塑性変形が生ずるが、□%下回る。 衝撃吸収カバーに最大□mmの変形が生じる。 	<ul style="list-style-type: none"> (a) 第E.1図～(e)～第E.5図に示すように、内側のみをモデル化し、以下 内側の変形については、以下の通り 由から変形を無視しモデル化している。 <ul style="list-style-type: none"> 一側外板 一側外板、脇がセットが壊断し脇部レジンが露出する。 内側の一部が膨らむが破断には至らない。 ・脇部レジンに最大約□mm、底部レジンに最大約□mmのへこみが生じる。 ・衝撃吸収カバーが壊断する。 ・内側の中央部分が膨らむようになり、レジンの一部が陥没する。 ・衝撃吸収カバーの一部が陥没する。 	<ul style="list-style-type: none"> 内側より外側を無視することで全て全側に輸送物間距離を仮定させたモデルとしている。 内側の変形については、以下の通り 由から変形を無視しモデル化している。 一自由落下及び落下面積試験において内側に発生する塑性変形は、局所的かつ軽微であり、形状変化の影響は無視される。 一落下面積試験Ⅱにおける内側の変形について、実効増倍率への影響は無視し得る。(付属書類-4) 一落下面積試験における内側の増大について、実効増倍率への影響は無視し得る。(付属書類-5) ・容器内部への水の浸入を遮断する。²⁾ ・輸送物が任意の配列で配置存在すると仮定する。²⁾ ・容器内外での水流量について、実効増倍率による影響は無視し得る。(付属書類-6) ・容器内外での水流量について、実効増倍率が最もなるように最適化した条件としている。(付属書類-3) 																		
	熱的試験 (耐火試験)	・15m浸漬試験において載荷しない。																				
	浸漬試験 (0.9m及び15m浸漬)	・15m浸漬試験における載荷は、輸送容器の構造に係わらず、容器内部への浸水を想定している。																				

核燃料輸送物設計変更承認申請に係る変更前後表

前回申請書 (平成 30 年 8 月 17 日付三原燃第 18-393 号をもって申請 (平成 31 年 2 月 5 日付三原燃第 18-1013 号をもって一部補正))	今回の核燃料輸送物設計変更承認申請	備考																									
	<p style="text-align: center;">(a) - 第 E. 付 1.2 表 輸送物の損傷状態と遮蔽状態のモデル化方法 (バスケット)</p> <table border="1" style="width: 100%; border-collapse: collapse;"> <thead> <tr> <th style="text-align: center; padding: 5px;">部位</th> <th style="text-align: center; padding: 5px;">種分型輸送物に係る¹⁾ 一般及び特別の試験条件</th> <th style="text-align: center; padding: 5px;">輸送物の損傷状態²⁾</th> <th style="text-align: center; padding: 5px;">遮蔽解析の モデル化方法</th> <th style="text-align: center; padding: 5px;">備考</th> </tr> </thead> <tbody> <tr> <td style="text-align: center; padding: 5px;">バスケット</td> <td style="text-align: center; padding: 5px;">自由落下及び落下試験 I (0.3m + 9m 落下時)</td> <td style="text-align: center; padding: 5px;">・最大□% の局所的な塑性歪が 発生するが、□回る。 アルミスペーサーは最大□% の局所的な塑 性歪が発生するが、□回る。</td> <td style="text-align: center; padding: 5px;">・(a) - 第 E. 1 図～(e) - 第 E. 5 図に示すように、以下 の部位をモデル化する。 ロジメント - アルミスペーサー - 追加遮蔽版 2)</td> <td style="text-align: center; padding: 5px;">・自由落下及び落下試験 I において、 □及びアルミスペーサーに 発生する塑性歪は局所的かつ離散 であり、形状変化的影響は無視し 得る。 ・落下試験 II において生じる歪形に ついては、以下の理由から変形を無 視しモデル化している。 - 重量部近傍のアルミスペーサーの 変形について、実燃焼炉への 影響は無視し得る。(付属書類-4) - 各部位の変形はモデルに反映 させず、製作公差を安全側に 考慮したモデルとする。 ・最大□% の局所的な塑性歪が 発生するが、□回る。 ・最大□% の局所的な塑性歪が 発生するが、□回る。 ・最大□% の局所的な塑性歪が 発生するが、□回る。</td> </tr> <tr> <td style="text-align: center; padding: 5px;">落下試験 II (1m 落下時)</td> <td style="text-align: center; padding: 5px;">・塑性歪が局所的に発生するが、 □に発生し 下回る。 ・最大□% の塑性歪 (最大□%) は □に発生し 下回る。</td> <td style="text-align: center; padding: 5px;">・各部位の変形はモデルに反 映させず、製作公差を安全側に 考慮したモデルとする。</td> <td style="text-align: center; padding: 5px;">・落 下 試 験 II に お い て 生じ る 形 态 に つ て は、 実 燃 焚 炉 へ の 影 响 に お い て も ロジメ ント と 遮 蔽 物 の 間 に は 隙 間 が 存 在 す る。 ・最大□% の塑性歪が発生するが、 □回る。</td> <td style="text-align: center; padding: 5px;">・落 下 試 験 II に お い て 生じ る 形 态 に つ て は、 実 燃 焚 炉 へ の 影 印 に お い て も ロジメ ント と 遮 蔽 物 の 間 に は 隙 間 が 存 在 す る。 ・最大□% の塑性歪が発生するが、 □回る。</td> </tr> <tr> <td style="text-align: center; padding: 5px;">燃焼試験 (耐火試験)</td> <td style="text-align: center; padding: 5px;">・バスケットと管路本体との接觸熱により、ア ルミスペーサーは直方向に最大□mm の圧 縮变形を受ける。</td> <td style="text-align: center; padding: 5px;">・バスケットと管路本体との接觸熱により、ア ルミスペーサーは直方向に最大□mm の圧 縮变形を受ける。</td> <td style="text-align: center; padding: 5px;">・バスケットは生じず、管 路本体の接觸熱により、ア ルミスペーサーは直方向に最大□mm の圧 縮变形を受ける。</td> <td style="text-align: center; padding: 5px;">・バスケットは生じず、管 路本体の接觸熱により、ア ルミスペーサーは直方向に最大□mm の圧 縮变形を受ける。</td> </tr> <tr> <td style="text-align: center; padding: 5px;">浸漬試験 (0.9m 及び 15m 水没)</td> <td style="text-align: center; padding: 5px;">・1.15m 浸漬試験において損傷しない。 ・0.9m 浸漬試験では、輸送容器の損傷に係わ らず、容器内部への浸水を想定している。</td> </tr> </tbody> </table> <p style="text-align: center;">(a) - E - 21</p>	部位	種分型輸送物に係る ¹⁾ 一般及び特別の試験条件	輸送物の損傷状態 ²⁾	遮蔽解析の モデル化方法	備考	バスケット	自由落下及び落下試験 I (0.3m + 9m 落下時)	・最大□% の局所的な塑性歪が 発生するが、□回る。 アルミスペーサーは最大□% の局所的な塑 性歪が発生するが、□回る。	・(a) - 第 E. 1 図～(e) - 第 E. 5 図に示すように、以下 の部位をモデル化する。 ロジメント - アルミスペーサー - 追加遮蔽版 2)	・自由落下及び落下試験 I において、 □及びアルミスペーサーに 発生する塑性歪は局所的かつ離散 であり、形状変化的影響は無視し 得る。 ・落下試験 II において生じる歪形に ついては、以下の理由から変形を無 視しモデル化している。 - 重量部近傍のアルミスペーサーの 変形について、実燃焼炉への 影響は無視し得る。(付属書類-4) - 各部位の変形はモデルに反映 させず、製作公差を安全側に 考慮したモデルとする。 ・最大□% の局所的な塑性歪が 発生するが、□回る。 ・最大□% の局所的な塑性歪が 発生するが、□回る。 ・最大□% の局所的な塑性歪が 発生するが、□回る。	落下試験 II (1m 落下時)	・塑性歪が局所的に発生するが、 □に発生し 下回る。 ・最大□% の塑性歪 (最大□%) は □に発生し 下回る。	・各部位の変形はモデルに反 映させず、製作公差を安全側に 考慮したモデルとする。	・落 下 試 験 II に お い て 生じ る 形 态 に つ て は、 実 燃 焚 炉 へ の 影 响 に お い て も ロジメ ント と 遮 蔽 物 の 間 に は 隙 間 が 存 在 す る。 ・最大□% の塑性歪が発生するが、 □回る。	・落 下 試 験 II に お い て 生じ る 形 态 に つ て は、 実 燃 焚 炉 へ の 影 印 に お い て も ロジメ ント と 遮 蔽 物 の 間 に は 隙 間 が 存 在 す る。 ・最大□% の塑性歪が発生するが、 □回る。	燃焼試験 (耐火試験)	・バスケットと管路本体との接觸熱により、ア ルミスペーサーは直方向に最大□mm の圧 縮变形を受ける。	・バスケットと管路本体との接觸熱により、ア ルミスペーサーは直方向に最大□mm の圧 縮变形を受ける。	・バスケットは生じず、管 路本体の接觸熱により、ア ルミスペーサーは直方向に最大□mm の圧 縮变形を受ける。	・バスケットは生じず、管 路本体の接觸熱により、ア ルミスペーサーは直方向に最大□mm の圧 縮变形を受ける。	浸漬試験 (0.9m 及び 15m 水没)	・1.15m 浸漬試験において損傷しない。 ・0.9m 浸漬試験では、輸送容器の損傷に係わ らず、容器内部への浸水を想定している。	・1.15m 浸漬試験において損傷しない。 ・0.9m 浸漬試験では、輸送容器の損傷に係わ らず、容器内部への浸水を想定している。	・1.15m 浸漬試験において損傷しない。 ・0.9m 浸漬試験では、輸送容器の損傷に係わ らず、容器内部への浸水を想定している。	・1.15m 浸漬試験において損傷しない。 ・0.9m 浸漬試験では、輸送容器の損傷に係わ らず、容器内部への浸水を想定している。	<p>・知見の更新に関する説明の 追加</p>
部位	種分型輸送物に係る ¹⁾ 一般及び特別の試験条件	輸送物の損傷状態 ²⁾	遮蔽解析の モデル化方法	備考																							
バスケット	自由落下及び落下試験 I (0.3m + 9m 落下時)	・最大□% の局所的な塑性歪が 発生するが、□回る。 アルミスペーサーは最大□% の局所的な塑 性歪が発生するが、□回る。	・(a) - 第 E. 1 図～(e) - 第 E. 5 図に示すように、以下 の部位をモデル化する。 ロジメント - アルミスペーサー - 追加遮蔽版 2)	・自由落下及び落下試験 I において、 □及びアルミスペーサーに 発生する塑性歪は局所的かつ離散 であり、形状変化的影響は無視し 得る。 ・落下試験 II において生じる歪形に ついては、以下の理由から変形を無 視しモデル化している。 - 重量部近傍のアルミスペーサーの 変形について、実燃焼炉への 影響は無視し得る。(付属書類-4) - 各部位の変形はモデルに反映 させず、製作公差を安全側に 考慮したモデルとする。 ・最大□% の局所的な塑性歪が 発生するが、□回る。 ・最大□% の局所的な塑性歪が 発生するが、□回る。 ・最大□% の局所的な塑性歪が 発生するが、□回る。																							
落下試験 II (1m 落下時)	・塑性歪が局所的に発生するが、 □に発生し 下回る。 ・最大□% の塑性歪 (最大□%) は □に発生し 下回る。	・各部位の変形はモデルに反 映させず、製作公差を安全側に 考慮したモデルとする。	・落 下 試 験 II に お い て 生じ る 形 态 に つ て は、 実 燃 焚 炉 へ の 影 响 に お い て も ロジメ ント と 遮 蔽 物 の 間 に は 隙 間 が 存 在 す る。 ・最大□% の塑性歪が発生するが、 □回る。	・落 下 試 験 II に お い て 生じ る 形 态 に つ て は、 実 燃 焚 炉 へ の 影 印 に お い て も ロジメ ント と 遮 蔽 物 の 間 に は 隙 間 が 存 在 す る。 ・最大□% の塑性歪が発生するが、 □回る。																							
燃焼試験 (耐火試験)	・バスケットと管路本体との接觸熱により、ア ルミスペーサーは直方向に最大□mm の圧 縮变形を受ける。	・バスケットと管路本体との接觸熱により、ア ルミスペーサーは直方向に最大□mm の圧 縮变形を受ける。	・バスケットは生じず、管 路本体の接觸熱により、ア ルミスペーサーは直方向に最大□mm の圧 縮变形を受ける。	・バスケットは生じず、管 路本体の接觸熱により、ア ルミスペーサーは直方向に最大□mm の圧 縮变形を受ける。																							
浸漬試験 (0.9m 及び 15m 水没)	・1.15m 浸漬試験において損傷しない。 ・0.9m 浸漬試験では、輸送容器の損傷に係わ らず、容器内部への浸水を想定している。	・1.15m 浸漬試験において損傷しない。 ・0.9m 浸漬試験では、輸送容器の損傷に係わ らず、容器内部への浸水を想定している。	・1.15m 浸漬試験において損傷しない。 ・0.9m 浸漬試験では、輸送容器の損傷に係わ らず、容器内部への浸水を想定している。	・1.15m 浸漬試験において損傷しない。 ・0.9m 浸漬試験では、輸送容器の損傷に係わ らず、容器内部への浸水を想定している。																							

注 1) 種分型輸送物に係る一般の試験条件での水衝撃、積み重ね試験及び貫通において、輸送物への損傷は生じない。

注 2) 通常遮蔽板と□の損傷状態は示されていないが、安全側の評価にためモデル化する部位として考慮している。(付属書類-6)

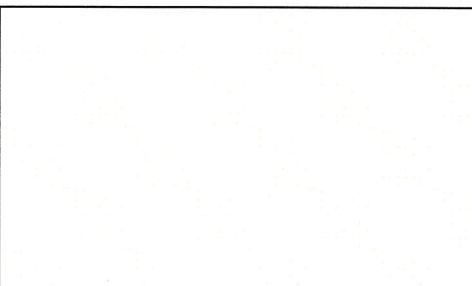
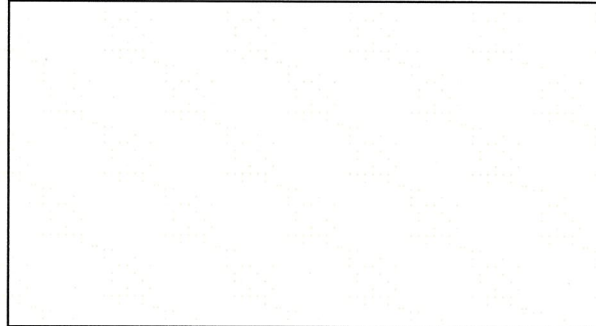
核燃料輸送物設計変更承認申請に係る変更前後表

前回申請書 (平成 30 年 8 月 17 日付三原燃第 18-393 号をもって申請 (平成 31 年 2 月 5 日付三原燃第 18-1013 号をもって一部補正))	今回の核燃料輸送物設計変更承認申請	備考																				
	<p>(#) 第五、付 1.3 表 輸送物の損傷評価と臨界解析のモデル化方法(仮条件)</p> <table border="1" style="width: 100%; border-collapse: collapse;"> <thead> <tr> <th style="text-align: center;">部位</th> <th style="text-align: center;">核分裂性輸送物に係る⁽¹⁾ 一般及び特別の試験条件</th> <th style="text-align: center;">輸送物の損傷状態</th> <th style="text-align: center;">臨界解析の モデル化方法</th> <th style="text-align: center;">備考</th> </tr> </thead> <tbody> <tr> <td style="text-align: center;">収納物</td> <td style="text-align: center;">自由落下及び落下試験 I (0.3m・9m落下時) 落下試験 II (1m落下時)</td> <td style="text-align: center;">・燃料被覆管は被断することはない。 ・燃料被覆管は被断することはない。</td> <td style="text-align: center;">・(a)～(d)、E.2 回～(e)一算 E.5 図に示すように、燃料 集合体のうち燃料(二酸化 ウラン)と燃料被覆管のみ をモデル化し、軸方向に無 限長を仮定する。 ・燃料集合体について全スパ ンの燃料被覆管がロジメント 内に均一に抱き合った場合につい て、燃料棒シチセバラメータ とした臨界解析を行い、事例增 倍率が最大となる条件で評価し ている。(付属資料-2)</td> <td></td> </tr> <tr> <td style="text-align: center;">熱的試験 (耐火試験)</td> <td style="text-align: center;">・燃料被覆管は被断することはない。</td> <td></td> <td></td> <td></td> </tr> <tr> <td style="text-align: center;">泄漏試験 (0.9m 及び 15m 泡沫)</td> <td style="text-align: center;">・15m 泡沫試験において燃料被覆管は溶断する ことはない。</td> <td style="text-align: center;">・15m 泡沫試験において燃料被覆管は溶断する ことはない。</td> <td style="text-align: center;">・燃料被覆管内部への水の侵 入は想定しない。</td> <td></td> </tr> </tbody> </table> <p>注1) 核分裂性輸送物に係る一般の試験条件での水噴霧、相互通水試験及び貫通において、輸送物への損傷は生じない。</p>	部位	核分裂性輸送物に係る ⁽¹⁾ 一般及び特別の試験条件	輸送物の損傷状態	臨界解析の モデル化方法	備考	収納物	自由落下及び落下試験 I (0.3m・9m落下時) 落下試験 II (1m落下時)	・燃料被覆管は被断することはない。 ・燃料被覆管は被断することはない。	・(a)～(d)、E.2 回～(e)一算 E.5 図に示すように、燃料 集合体のうち燃料(二酸化 ウラン)と燃料被覆管のみ をモデル化し、軸方向に無 限長を仮定する。 ・燃料集合体について全スパ ンの燃料被覆管がロジメント 内に均一に抱き合った場合につい て、燃料棒シチセバラメータ とした臨界解析を行い、事例增 倍率が最大となる条件で評価し ている。(付属資料-2)		熱的試験 (耐火試験)	・燃料被覆管は被断することはない。				泄漏試験 (0.9m 及び 15m 泡沫)	・15m 泡沫試験において燃料被覆管は溶断する ことはない。	・15m 泡沫試験において燃料被覆管は溶断する ことはない。	・燃料被覆管内部への水の侵 入は想定しない。		<ul style="list-style-type: none"> ・知見の更新に関する説明の追加
部位	核分裂性輸送物に係る ⁽¹⁾ 一般及び特別の試験条件	輸送物の損傷状態	臨界解析の モデル化方法	備考																		
収納物	自由落下及び落下試験 I (0.3m・9m落下時) 落下試験 II (1m落下時)	・燃料被覆管は被断することはない。 ・燃料被覆管は被断することはない。	・(a)～(d)、E.2 回～(e)一算 E.5 図に示すように、燃料 集合体のうち燃料(二酸化 ウラン)と燃料被覆管のみ をモデル化し、軸方向に無 限長を仮定する。 ・燃料集合体について全スパ ンの燃料被覆管がロジメント 内に均一に抱き合った場合につい て、燃料棒シチセバラメータ とした臨界解析を行い、事例增 倍率が最大となる条件で評価し ている。(付属資料-2)																			
熱的試験 (耐火試験)	・燃料被覆管は被断することはない。																					
泄漏試験 (0.9m 及び 15m 泡沫)	・15m 泡沫試験において燃料被覆管は溶断する ことはない。	・15m 泡沫試験において燃料被覆管は溶断する ことはない。	・燃料被覆管内部への水の侵 入は想定しない。																			

核燃料輸送物設計変更承認申請に係る変更前後表

前回申請書 (平成 30 年 8 月 17 日付三原燃第 18-393 号をもって申請 (平成 31 年 2 月 5 日付三原燃第 18-1013 号をもって一部補正))	今回の核燃料輸送物設計変更承認申請	備考
<p>E.7.3 付属書類-3 燃料集合体の燃料棒ピッチが与える影響の評価</p> <p>E.2.1 に示すように、燃料集合体については、核分裂性輸送物に係る特別の試験条件における燃料集合体の変形を考慮し、全スパンの燃料棒ピッチの変化を仮定した。この燃料棒ピッチの変化としては、燃料棒がロジメント内に均一に並がった場合を考えている。</p> <p>ここでは、燃料棒ピッチが輸送物の実効増倍率に与える影響についてサーベイを行い、この仮定が安全側であることを確認する。燃料棒の配列は正方格子とし、燃料棒ピッチとしては燃料棒同士が接した状態からロジメント内で最大に拡大した状態までサーベイを行った。燃料棒ピッチを除き解析モデルは E.3 モデル仕様で述べたものと同一である。</p> <p>燃料棒ピッチが輸送物の実効増倍率に与える影響を (a) 第 E. 付 3.1 表及び (a) 第 E. 付 3.1 図に示す。サーベイの結果、燃料棒ピッチが最大の場合に輸送物の実効増倍率が最大となることが確認された。</p>	<p>E.7.3 付属書類-3 燃料集合体の燃料棒ピッチが与える影響の評価</p> <p>E.2.1 に示すように、燃料集合体については、核分裂性輸送物に係る一般及び特別の試験条件に <u>燃料集合体が変形する可能性</u> を考慮し、全スパンの燃料棒ピッチの変化を仮定した。この燃料棒ピッチの変化としては、燃料棒がロジメント内に均一に並がった場合を考えている。</p> <p>ここでは、燃料棒ピッチが輸送物の実効増倍率に与える影響についてサーベイを行い、この仮定が安全側であることを確認する。燃料棒の配列は正方格子とし、ウォーターネックの位置が異なる (I 格子燃料と II 格子燃料のそれぞれ) について、燃料棒ピッチが最小となる燃料棒同士が接した状態からロジメント内で最大に拡大した状態までサーベイを行った。燃料棒ピッチを除き解析モデルは E.3 モデル仕様で述べたものと同一である。</p> <p>燃料棒ピッチが輸送物の実効増倍率に与える影響を <u>I 格子燃料について (a) 第 E. 付 3.1 表及び (a) 第 E. 付 3.1 図</u>、<u>II 格子燃料については (a) 第 E. 付 2.2 表及び (a) 第 E. 付 2.2 図</u> に示す。サーベイの結果、燃料棒ピッチが最大の場合に輸送物の実効増倍率が最大となることが確認された。</p> <p>なお、I 格子燃料と II 格子燃料では同じ傾向を示したが、燃料棒ピッチが最小に近い位置では、わずかに II 格子燃料における実効増倍率が高くなつた。このため、II 格子燃料での解析モデルを用いて影響評価を実施する (付属書類-3-7)。</p>	<ul style="list-style-type: none"> 記載の適正化 収納物の追加に伴う記載の見直し

核燃料輸送物設計変更承認申請に係る変更前後表

前回申請書 (平成 30 年 8 月 17 日付三原燃第 18-393 号をもって申請 (平成 31 年 2 月 5 日付三原燃第 18-1013 号をもって一部補正))	今回の核燃料輸送物設計変更承認申請	備考																
<p>(a) - 第 E. 付 3.1 表 燃料棒ピッチが輸送物の実効増倍率に与える影響</p> <table border="1"> <thead> <tr> <th>ピッチ cm</th> <th>k_{eff}</th> <th>σ</th> <th>$k_{eff}+3\sigma$</th> </tr> </thead> <tbody> <tr> <td> </td> <td> </td> <td> </td> <td> </td> </tr> </tbody> </table>  <p>(ロ) - 第 E. 付 3.1 図 燃料棒ピッチが輸送物の実効増倍率に与える影響</p> <p>(a) - E - 25</p>	ピッチ cm	k_{eff}	σ	$k_{eff}+3\sigma$					<p>(a) - 第 E. 付 3.1 表 燃料棒ピッチが輸送物の実効増倍率に与える影響 (C 格子学算)</p> <table border="1"> <thead> <tr> <th>ピッチ cm</th> <th>k_{eff}</th> <th>σ</th> <th>$k_{eff}+3\sigma$</th> </tr> </thead> <tbody> <tr> <td> </td> <td> </td> <td> </td> <td> </td> </tr> </tbody> </table>  <p>(a) - 第 E. 付 3.1 図 燃料棒ピッチが輸送物の実効増倍率に与える影響 (C 格子学算)</p> <p>(a) - E - 24</p>	ピッチ cm	k_{eff}	σ	$k_{eff}+3\sigma$					<ul style="list-style-type: none"> ・記載の適正化 ・知見の更新に関する説明の見直し
ピッチ cm	k_{eff}	σ	$k_{eff}+3\sigma$															
ピッチ cm	k_{eff}	σ	$k_{eff}+3\sigma$															

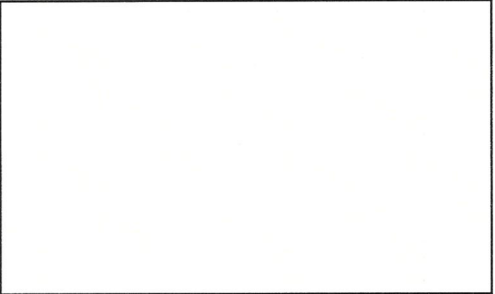
核燃料輸送物設計変更承認申請に係る変更前後表

前回申請書 (平成 30 年 8 月 17 日付三原燃第 18-393 号をもって申請 (平成 31 年 2 月 5 日付三原燃第 18-1013 号をもって一部補正))	今回の核燃料輸送物設計変更承認申請	備考								
	<p>(e) 第 E. 付 2.2 表 燃料棒ピッチが輸送物の実効増倍率に与える影響 (D 格子燃料)</p> <table border="1"> <thead> <tr> <th>ピッチ(cm)</th> <th>k_{eff}</th> <th>σ</th> <th>$k_{eff}+3\sigma$</th> </tr> </thead> <tbody> <tr> <td> </td> <td> </td> <td> </td> <td> </td> </tr> </tbody> </table> <p>(g) 第 E. 付 2.2 図 燃料棒ピッチが輸送物の実効増倍率に与える影響 (D 格子燃料)</p> <p>(e) - E - 25</p>	ピッチ(cm)	k_{eff}	σ	$k_{eff}+3\sigma$					<ul style="list-style-type: none"> ・知見の更新に関する説明の追加
ピッチ(cm)	k_{eff}	σ	$k_{eff}+3\sigma$							

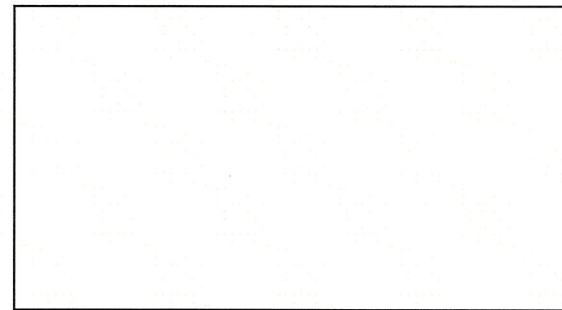
核燃料輸送物設計変更承認申請に係る変更前後表

前回申請書 (平成 30 年 8 月 17 日付三原燃第 18-393 号をもって申請 (平成 31 年 2 月 5 日付三原燃第 18-1013 号をもって一部補正))	今回の核燃料輸送物設計変更承認申請	備考
<p>E. 7 付属書類</p> <p>E. 7.1 付属書類-1 容器内外の空間の水密度が与える影響の評価</p> <p>E. 3.1 に示すように容器内の水密度は $\square \text{ g/cm}^3$ としている。また、E. 4.2 に示すように輸送物間の空間は真空としている。ここでは、これら容器内外の空間の水密度が輸送物の実効増倍率に与える影響についてサーベイを行い、この仮定が安全側であることを確認する。</p> <p>(1) 容器内の空間の水密度が与える影響の評価</p> <p>解析条件は E. 3 モデル仕様に示したものと同一であるが、容器内の空間の水密度を 0.0 g/cm^3 から 1.0 g/cm^3 まで変化させて輸送物の実効増倍率に与える影響についてサーベイを行う。</p> <p>サーベイの結果、(v)-第 E. 付 1.1 表及び(v)-第 E. 付 1.1 図に示すように、容器内の空間の水密度が $\square \text{ g/cm}^3$ の場合に輸送物の実効増倍率が最大となることが確認された。</p> <p>(2) 容器外の空間の水密度が与える影響の評価</p> <p>解析条件は E. 3 モデル仕様に示したものと同一であるが、容器外の空間に水が存在することを仮定して、水密度を 0.0 g/cm^3 から 1.0 g/cm^3 まで変化させて輸送物の実効増倍率に与える影響についてサーベイを行う。</p> <p>サーベイの結果、(v)-第 E. 付 1.2 表及び(v)-第 E. 付 1.2 図に示すように、容器外の空間の水の存在が実効増倍率へ与える影響は無視できることが確認された。</p>	<p>E. 7.1 付属書類-1 容器内外の空間の水密度が与える影響の評価</p> <p>E. 3.1 に示すように容器内の水密度は $\square \text{ g/cm}^3$ 輸送物間の空間は真空としている。ここでは、これら容器内外の空間の水密度が輸送物の実効増倍率に与える影響についてサーベイを行い、<u>実効増倍率の算出式</u>と<u>公表式</u>による水密度の影響力を行った結果を示す。</p> <p>なお、ここでは、0 格子燃料と 1 格子燃料のうち、付属書類-1 の評価において、最大の実効増倍率を示した 0 格子燃料のモデルを用いる。</p> <p>(1) 容器内の空間の水密度が与える影響の評価</p> <p>解析条件は E. 3 モデル仕様に示したものと同一であるが、容器内の空間の水密度を 0.0 g/cm^3 から 1.0 g/cm^3 まで変化させて輸送物の実効増倍率に与える影響についてサーベイを行う。</p> <p>サーベイの結果、(v)-第 E. 付 1.1 表及び(v)-第 E. 付 1.1 図に示すように、容器内の空間の水密度が $\square \text{ g/cm}^3$ の場合に輸送物の実効増倍率が最大となることが確認された。</p> <p>(2) 容器外の空間の水密度が与える影響の評価</p> <p>解析条件は E. 3 モデル仕様に示したものと同一であるが、容器外の空間に水が存在することを仮定して、水密度を 0.0 g/cm^3 から 1.0 g/cm^3 まで変化させて輸送物の実効増倍率に与える影響についてサーベイを行う。</p> <p>サーベイの結果、(v)-第 E. 付 1.2 表及び(v)-第 E. 付 1.2 図に示すように、容器外の空間の水の存在が実効増倍率へ与える影響は無視できることが確認された。</p>	<ul style="list-style-type: none"> 記載の適正化 知見の更新に関する説明の見直し

核燃料輸送物設計変更承認申請に係る変更前後表

前回申請書 (平成 30 年 8 月 17 日付三原燃第 18-393 号をもって申請 (平成 31 年 2 月 5 日付三原燃第 18-1013 号をもって一部補正))	今回の核燃料輸送物設計変更承認申請	備考																																																																														
<p>(a) 第 E. 付 1.1 表 容器内の空間の水密度が与える影響の評価</p> <table border="1"> <thead> <tr> <th>水密度 g/cm³</th> <th>k_{eff}</th> <th>σ</th> <th>$k_{eff}+3\sigma$</th> </tr> </thead> <tbody> <tr><td>0.0</td><td></td><td></td><td></td></tr> <tr><td>0.05</td><td></td><td></td><td></td></tr> <tr><td>0.1</td><td></td><td></td><td></td></tr> <tr><td>0.2</td><td></td><td></td><td></td></tr> <tr><td>0.3</td><td></td><td></td><td></td></tr> <tr><td>0.4</td><td></td><td></td><td></td></tr> <tr><td>0.6</td><td></td><td></td><td></td></tr> <tr><td>0.8</td><td></td><td></td><td></td></tr> <tr><td>1.0</td><td></td><td></td><td></td></tr> </tbody> </table>  <p>(a) 第 E. 付 1.1 図 容器内の空間の水密度が与える影響の評価</p> <p>(b) 第 E. 付 1.1 表 容器内の空間の水密度が与える影響の評価</p> <table border="1"> <thead> <tr> <th>水密度 g/cm³</th> <th>k_{eff}</th> <th>σ</th> <th>$k_{eff}+3\sigma$</th> </tr> </thead> <tbody> <tr><td>0.0</td><td></td><td></td><td></td></tr> <tr><td>0.05</td><td></td><td></td><td></td></tr> <tr><td>0.1</td><td></td><td></td><td></td></tr> <tr><td>0.2</td><td></td><td></td><td></td></tr> <tr><td>0.3</td><td></td><td></td><td></td></tr> <tr><td>0.4</td><td></td><td></td><td></td></tr> <tr><td>0.6</td><td></td><td></td><td></td></tr> <tr><td>0.8</td><td></td><td></td><td></td></tr> <tr><td>1.0</td><td></td><td></td><td></td></tr> </tbody> </table> <p>(注記) 上記は D 格子燃料による評価結果</p>  <p>(注記) 上記は D 格子燃料による評価結果</p> <p>(a) 第 E. 付 1.1 図 容器内の空間の水密度が与える影響の評価</p> <p>(b) 第 E. 付 1.1 表 容器内の空間の水密度が与える影響の評価</p> <p>(v) - E - 18</p> <p>(s) - E - 27</p> <ul style="list-style-type: none"> ・知見の更新に関する説明の見直し(解析結果の見直し) 	水密度 g/cm ³	k _{eff}	σ	$k_{eff}+3\sigma$	0.0				0.05				0.1				0.2				0.3				0.4				0.6				0.8				1.0				水密度 g/cm ³	k _{eff}	σ	$k_{eff}+3\sigma$	0.0				0.05				0.1				0.2				0.3				0.4				0.6				0.8				1.0			
水密度 g/cm ³	k _{eff}	σ	$k_{eff}+3\sigma$																																																																													
0.0																																																																																
0.05																																																																																
0.1																																																																																
0.2																																																																																
0.3																																																																																
0.4																																																																																
0.6																																																																																
0.8																																																																																
1.0																																																																																
水密度 g/cm ³	k _{eff}	σ	$k_{eff}+3\sigma$																																																																													
0.0																																																																																
0.05																																																																																
0.1																																																																																
0.2																																																																																
0.3																																																																																
0.4																																																																																
0.6																																																																																
0.8																																																																																
1.0																																																																																

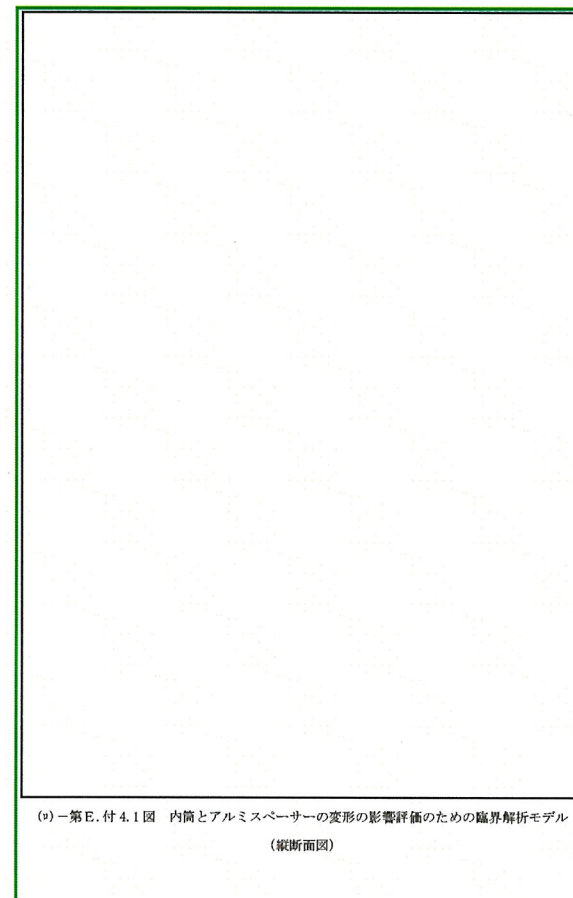
核燃料輸送物設計変更承認申請に係る変更前後表

前回申請書 (平成 30 年 8 月 17 日付三原燃第 18-393 号をもって申請 (平成 31 年 2 月 5 日付三原燃第 18-1013 号をもって一部補正))	今回の核燃料輸送物設計変更承認申請	備考																																																																						
<p>(a) - 第 E. 付 1.2 表 容器外の空間の水密度が与える影響の評価</p> <table border="1"> <thead> <tr> <th>水密度 g/cm³</th> <th>k_{eff}</th> <th>σ</th> <th>$k_{eff}+3\sigma$</th> </tr> </thead> <tbody> <tr><td>0.0</td><td></td><td></td><td></td></tr> <tr><td>0.1</td><td></td><td></td><td></td></tr> <tr><td>0.2</td><td></td><td></td><td></td></tr> <tr><td>0.3</td><td></td><td></td><td></td></tr> <tr><td>0.4</td><td></td><td></td><td></td></tr> <tr><td>0.6</td><td></td><td></td><td></td></tr> <tr><td>0.8</td><td></td><td></td><td></td></tr> <tr><td>1.0</td><td></td><td></td><td></td></tr> </tbody> </table> <p>(b) - 第 E. 付 1.2 図 容器外の空間の水密度が与える影響の評価</p>  <p>(注記) 上記は 0 格子燃料による評価結果</p> <p>(c) - 第 E. 付 1.2 表 容器外の空間の水密度が与える影響の評価</p> <table border="1"> <thead> <tr> <th>水密度 g/cm³</th> <th>k_{eff}</th> <th>σ</th> <th>$k_{eff}+3\sigma$</th> </tr> </thead> <tbody> <tr><td>0.0</td><td></td><td></td><td></td></tr> <tr><td>0.1</td><td></td><td></td><td></td></tr> <tr><td>0.2</td><td></td><td></td><td></td></tr> <tr><td>0.3</td><td></td><td></td><td></td></tr> <tr><td>0.4</td><td></td><td></td><td></td></tr> <tr><td>0.6</td><td></td><td></td><td></td></tr> <tr><td>0.8</td><td></td><td></td><td></td></tr> <tr><td>1.0</td><td></td><td></td><td></td></tr> </tbody> </table> <p>(注記) 上記は 0 格子燃料による評価結果</p> <p>(d) - 第 E. 付 1.2 図 容器外の空間の水密度が与える影響の評価</p>  <p>(e) - E - 19</p> <p>(f) - E - 28</p>	水密度 g/cm ³	k_{eff}	σ	$k_{eff}+3\sigma$	0.0				0.1				0.2				0.3				0.4				0.6				0.8				1.0				水密度 g/cm ³	k_{eff}	σ	$k_{eff}+3\sigma$	0.0				0.1				0.2				0.3				0.4				0.6				0.8				1.0			
水密度 g/cm ³	k_{eff}	σ	$k_{eff}+3\sigma$																																																																					
0.0																																																																								
0.1																																																																								
0.2																																																																								
0.3																																																																								
0.4																																																																								
0.6																																																																								
0.8																																																																								
1.0																																																																								
水密度 g/cm ³	k_{eff}	σ	$k_{eff}+3\sigma$																																																																					
0.0																																																																								
0.1																																																																								
0.2																																																																								
0.3																																																																								
0.4																																																																								
0.6																																																																								
0.8																																																																								
1.0																																																																								

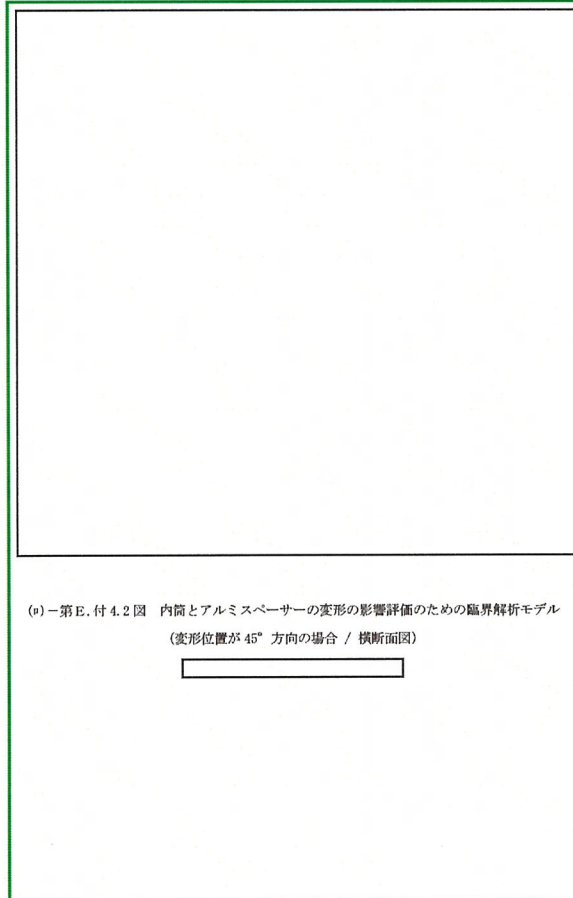
核燃料輸送物設計変更承認申請に係る変更前後表

前回申請書 (平成 30 年 8 月 17 日付三原燃第 18-393 号をもって申請 (平成 31 年 2 月 5 日付三原燃第 18-1013 号をもって一部補正))	今回の核燃料輸送物設計変更承認申請	備考
	<p>E.7.4 付属書類-4 内筒とアルミスペーサーの変形を考慮した実効増倍率</p> <p>(e) - A構造解析のA.9.2に示すように、核分裂性輸送物に係る特別の試験条件の胴部を直撃する1m落下試験において、直撃部では内筒とアルミスペーサーが内側に押し付けられるように変形する。</p> <p>この影響を確認するために、部分的に内筒とアルミスペーサー（外周部）を部品間の隙間なく内側に押し付けた形状を与えた解析モデルによる計算を行った。</p> <p>変形させる範囲は、落下試験の結果を包含するように、軸方向については1つの□□□のある領域を含む2つの□□□のない領域とした。また、径方向位置については、代表としてモデル図の45°方向と90°方向の2ケースを考慮した。</p> <p>なお、変形は直撃部に限定されるため、完全反射境界の位置は変更していない。</p> <p>また、ここでは、C格子燃料とD格子燃料のうち、付属書類-2の評価において、最大の実効増倍率を示したD格子燃料のモデルを用いる。</p> <p>解析モデルを(e)-第E.付4.1図～(e)-第E.付4.5図に示す。E.3.1に示した解析モデルとの違いは上述した内筒とアルミスペーサー（外周部）の変形のみである。その他の解析条件はE.3モデル仕様に示したものと同一である。</p> <p>(e)-第E.付4.1表に示すように、部分的な内筒とアルミスペーサー（外周部）の変形による実効増倍率への影響は無視できることが確認された。</p>	<ul style="list-style-type: none"> ・知見の更新に関する説明の追加

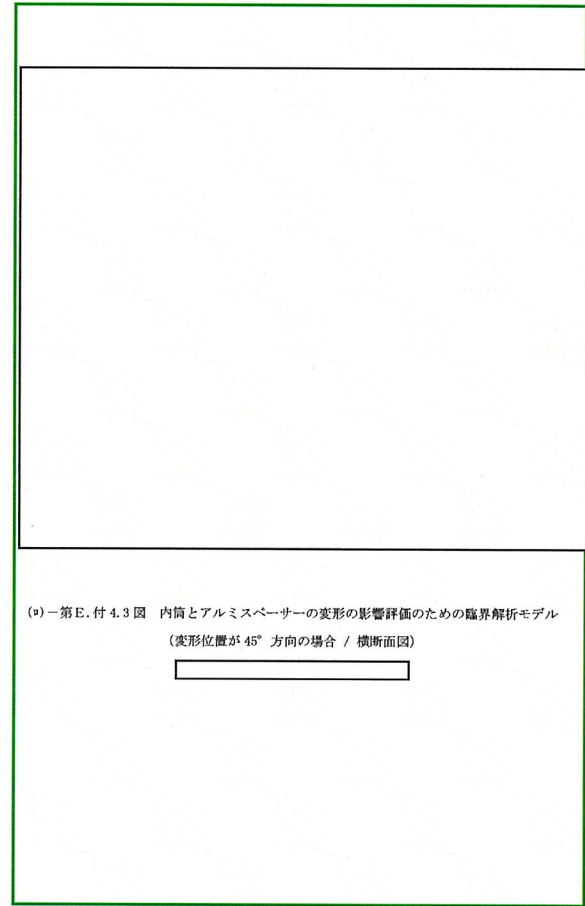
核燃料輸送物設計変更承認申請に係る変更前後表

前回申請書 (平成 30 年 8 月 17 日付三原燃第 18-393 号をもって申請 (平成 31 年 2 月 5 日付三原燃第 18-1013 号をもって一部補正))	今回の核燃料輸送物設計変更承認申請	備考
	 <p>(v) - 第 E. 付 4.1 図 内筒とアルミスペーサーの変形の影響評価のための境界解析モデル (縦断面図)</p> <p>(v) - E - 30</p>	<ul style="list-style-type: none">・知見の更新に関する説明の追加

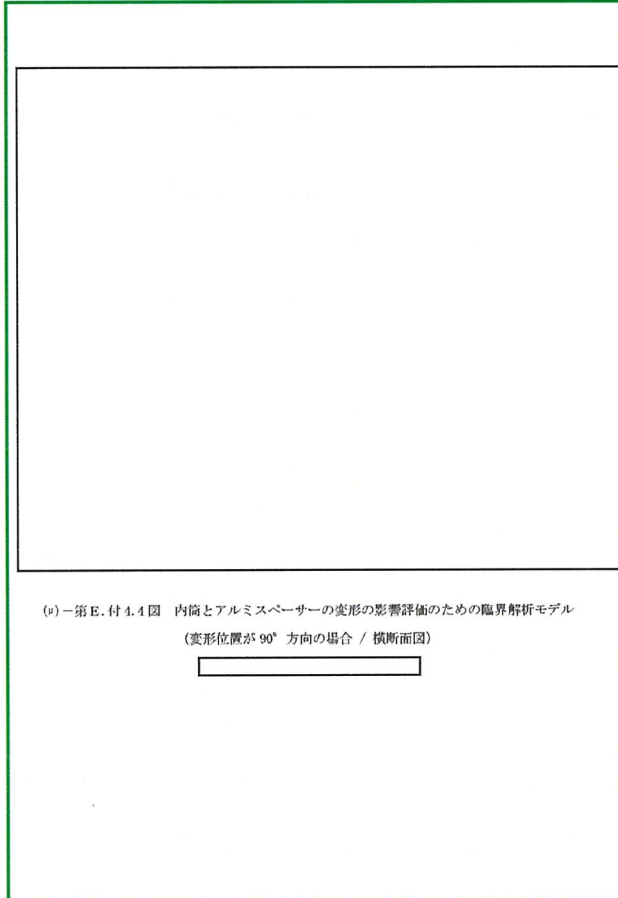
核燃料輸送物設計変更承認申請に係る変更前後表

前回申請書 (平成 30 年 8 月 17 日付三原燃第 18-393 号をもって申請 (平成 31 年 2 月 5 日付三原燃第 18-1013 号をもって一部補正))	今回の核燃料輸送物設計変更承認申請	備考
	<p>(a) - 第 E. 付 4.2 図 内筒とアルミスペーサーの変形の影響評価のための臨界解析モデル (変形位置が 45° 方向の場合 / 横断面図)</p>  <p>(a) - E - 31</p>	<ul style="list-style-type: none">・知見の更新に関する説明の追加

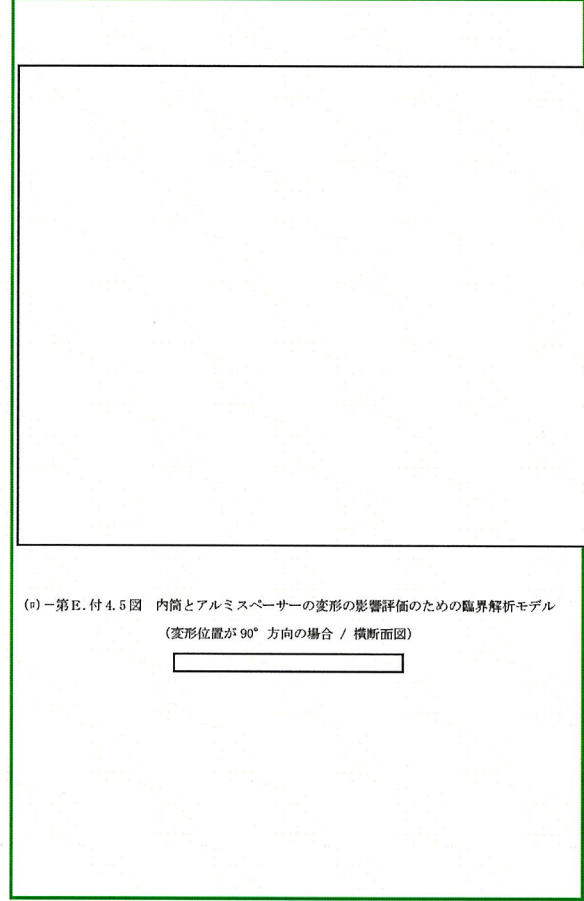
核燃料輸送物設計変更承認申請に係る変更前後表

前回申請書 (平成 30 年 8 月 17 日付三原燃第 18-393 号をもって申請 (平成 31 年 2 月 5 日付三原燃第 18-1013 号をもって一部補正))	今回の核燃料輸送物設計変更承認申請	備考
	<p>(a) - 第 E. 付 4.3 図 内筒とアルミスペーサーの変形の影響評価のための臨界解析モデル (変形位置が 45° 方向の場合 / 横断面図)</p>  <p>(a) - E - 32</p>	<ul style="list-style-type: none">・知見の更新に関する説明の追加

核燃料輸送物設計変更承認申請に係る変更前後表

前回申請書 (平成 30 年 8 月 17 日付三原燃第 18-393 号をもって申請 (平成 31 年 2 月 5 日付三原燃第 18-1013 号をもって一部補正))	今回の核燃料輸送物設計変更承認申請	備考
	<p>(ii) - 第 E. 付 4.4 図 内筒とアルミスペーサーの変形の影響評価のための臨界解析モデル (変形位置が 90° 方向の場合 / 横断面図)</p>  <p>(ii) - E - 33</p>	<ul style="list-style-type: none">・知見の更新に関する説明の追加

核燃料輸送物設計変更承認申請に係る変更前後表

前回申請書 (平成 30 年 8 月 17 日付三原燃第 18-393 号をもって申請 (平成 31 年 2 月 5 日付三原燃第 18-1013 号をもって一部補正))	今回の核燃料輸送物設計変更承認申請	備考
	<p>(e) - 第 E. 付 4.5 図 内筒とアルミスペーサーの変形の影響評価のための臨界解析モデル (変形位置が 90° 方向の場合 / 横断面図)</p>  <p>(e) - E - 34</p>	<ul style="list-style-type: none">・知見の更新に関する説明の追加

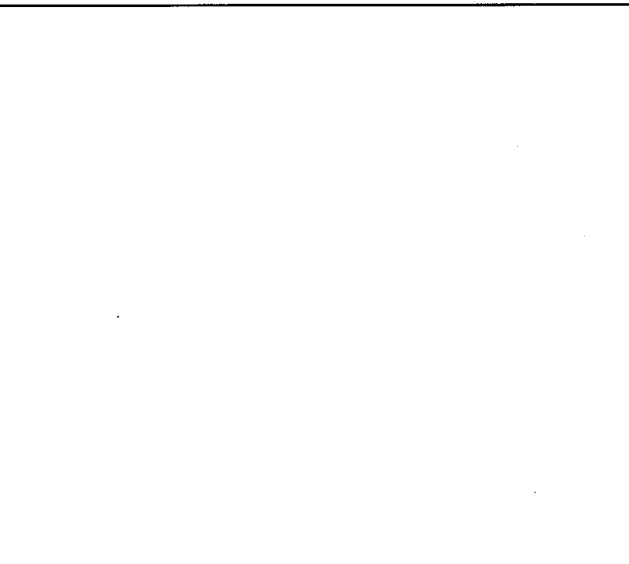
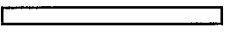
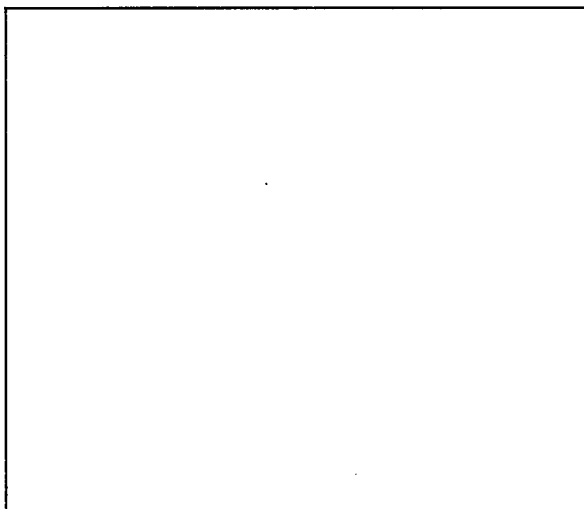
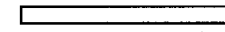
核燃料輸送物設計変更承認申請に係る変更前後表

前回申請書 (平成 30 年 8 月 17 日付三原燃第 18-393 号をもって申請 (平成 31 年 2 月 5 日付三原燃第 18-1013 号をもって一部補正))	今回の核燃料輸送物設計変更承認申請	備考																
	<p>(v) 第 E. 付 4.1 表 内筒とアルミスペーサーの変形の有無における実効増倍率の比較</p> <table border="1" data-bbox="1067 452 1629 611"> <thead> <tr> <th data-bbox="1067 452 1247 484">内筒とアルミスペーサー</th><th data-bbox="1247 452 1359 484">keff</th><th data-bbox="1359 452 1471 484">σ</th><th data-bbox="1471 452 1629 484">$keff + 3\sigma$</th></tr> </thead> <tbody> <tr> <td data-bbox="1067 484 1247 516">変形無し</td><td data-bbox="1247 484 1359 516"></td><td data-bbox="1359 484 1471 516"></td><td data-bbox="1471 484 1629 516"></td></tr> <tr> <td data-bbox="1067 516 1247 564">変形有り (径方向位置 : 45°)</td><td data-bbox="1247 516 1359 564"></td><td data-bbox="1359 516 1471 564"></td><td data-bbox="1471 516 1629 564"></td></tr> <tr> <td data-bbox="1067 564 1247 611">変形有り (径方向位置 : 90°)</td><td data-bbox="1247 564 1359 611"></td><td data-bbox="1359 564 1471 611"></td><td data-bbox="1471 564 1629 611"></td></tr> </tbody> </table> <p>(注記) 上記は D 格子燃料による評価結果</p>	内筒とアルミスペーサー	keff	σ	$keff + 3\sigma$	変形無し				変形有り (径方向位置 : 45°)				変形有り (径方向位置 : 90°)				<ul style="list-style-type: none"> ・知見の更新に関する説明の追加
内筒とアルミスペーサー	keff	σ	$keff + 3\sigma$															
変形無し																		
変形有り (径方向位置 : 45°)																		
変形有り (径方向位置 : 90°)																		

核燃料輸送物設計変更承認申請に係る変更前後表

前回申請書 (平成 30 年 8 月 17 日付三原燃第 18-393 号をもって申請 (平成 31 年 2 月 5 日付三原燃第 18-1013 号をもって一部補正))	今回の核燃料輸送物設計変更承認申請	備考
<p>E. 7.2 付属書類-2 内筒の拡大を考慮した実効増倍率</p> <p>(n) - A 構造解析の A. 9.2 に示すように、核分裂性輸送物に係る特別の試験条件の熱的試験において、内筒が変形し半径が □ mm 程度拡大する。この影響を確認するために、拡大を考慮した解析モデルによる計算を行った。</p> <p>解析モデルを (n)-第 E. 付 2.1 図～(n)-第 E. 付 2.2 図に示す。E. 3.1 に示した解析モデルとの違いは内筒の径のみである。その他の解析条件は E. 3 モデル仕様に示したものと同一である。</p> <p>(n)-第 E. 付 2.1 表に示すように、内筒の拡大による実効増倍率への影響は無視できることが確認された。</p>	<p>E. 7.1 付属書類-1 内筒の拡大を考慮した実効増倍率</p> <p>(n) - A 構造解析の A. 9.2 に示すように、核分裂性輸送物に係る特別の試験条件の熱的試験において、内筒が変形し半径が □ mm 程度拡大する。この影響を確認するために、拡大を考慮した解析モデルによる計算を行った。</p> <p>なお、ここでは、C 格子燃料より格子燃料のうち、付箇書類-2 の評価において、最大の実効増倍率を示した D 格子燃料のモデルを用いる。</p> <p>解析モデルを (n)-第 E. 付 1.1 図～(n)-第 E. 付 1.2 図に示す。E. 3.1 に示した解析モデルとの違いは内筒の径のみである。その他の解析条件は E. 3 モデル仕様に示したものと同一である。</p> <p>(n)-第 E. 付 1.1 表に示すように、内筒の拡大による実効増倍率への影響は無視できることが確認された。</p>	<ul style="list-style-type: none"> 記載の適正化 知見の更新に関する説明の見直し

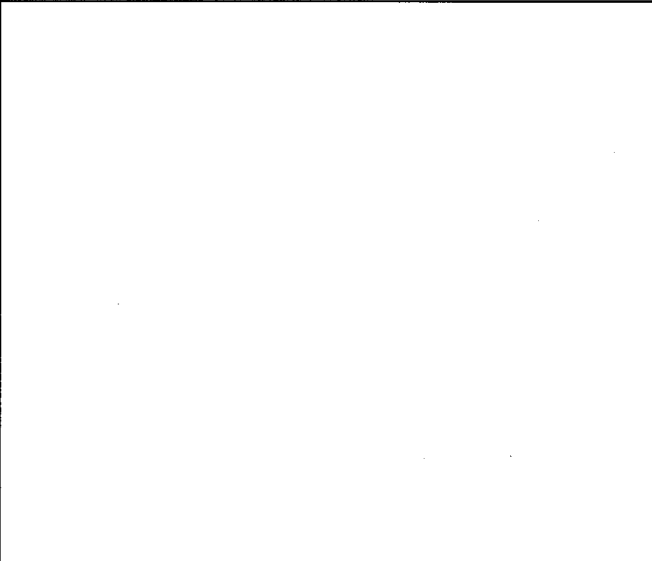
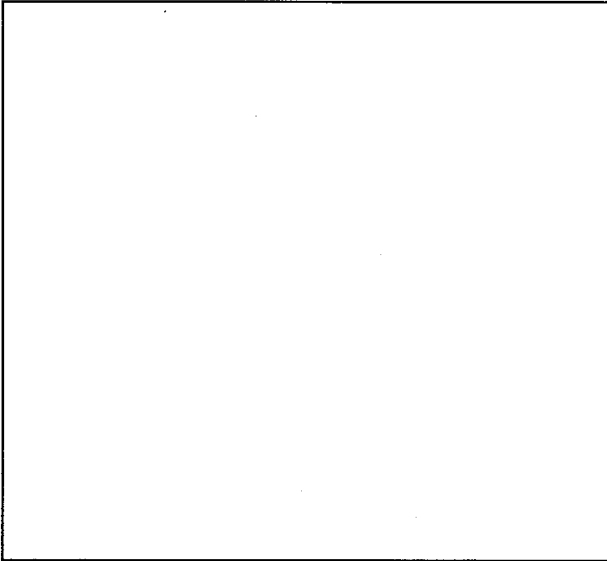
核燃料輸送物設計変更承認申請に係る変更前後表

前回申請書 (平成 30 年 8 月 17 日付三原燃第 18-393 号をもって申請 (平成 31 年 2 月 5 日付三原燃第 18-1013 号をもって一部補正))	今回の核燃料輸送物設計変更承認申請	備考
 (v) - 第 E. 付 2.1 図 内筒の変形の影響評価のための臨界解析モデル（横断面図） 	 (v) - 第 E. 付 ■.1 図 内筒の変形の影響評価のための臨界解析モデル（横断面図） 	<ul style="list-style-type: none">・記載の適正化・知見の更新に関する説明の見直し

(v) - E - 21

(v) - E - 37

核燃料輸送物設計変更承認申請に係る変更前後表

前回申請書 (平成 30 年 8 月 17 日付三原燃第 18-393 号をもって申請 (平成 31 年 2 月 5 日付三原燃第 18-1013 号をもって一部補正))	今回の核燃料輸送物設計変更承認申請	備考
 (v) - 第 E. 付 2.2 図 内筒の変形の影響評価のための臨界解析モデル（横断面図） 	 (v) - 第 E. 付 ■ 2 図 内筒の変形の影響評価のための臨界解析モデル（横断面図） 	<ul style="list-style-type: none">・記載の適正化・知見の更新に関する説明の見直し

(v) - E - 22

(v) - E - 38

核燃料輸送物設計変更承認申請に係る変更前後表

前回申請書 (平成 30 年 8 月 17 日付三原燃第 18-393 号をもって申請 (平成 31 年 2 月 5 日付三原燃第 18-1013 号をもって一部補正))	今回の核燃料輸送物設計変更承認申請	備考																																				
<p>(v) — 第 E. 付 2.1 表 内筒の拡大の有無における実効増倍率の比較</p> <table border="1"> <thead> <tr> <th>内筒</th><th>k_{eff}</th><th>σ</th><th>$k_{eff}+3\sigma$</th></tr> </thead> <tbody> <tr> <td>拡大無し</td><td></td><td></td><td></td></tr> <tr> <td>拡大有り</td><td></td><td></td><td></td></tr> </tbody> </table> <p>(v) — 第 E. 付 1 表 内筒の拡大の有無における実効増倍率の比較</p> <table border="1"> <thead> <tr> <th>内筒</th><th>k_{eff}</th><th>σ</th><th>$k_{eff}+3\sigma$</th></tr> </thead> <tbody> <tr> <td>拡大無し</td><td></td><td></td><td></td></tr> <tr> <td>拡大有り</td><td></td><td></td><td></td></tr> </tbody> </table>	内筒	k_{eff}	σ	$k_{eff}+3\sigma$	拡大無し				拡大有り				内筒	k_{eff}	σ	$k_{eff}+3\sigma$	拡大無し				拡大有り				<p>(a) — 第 E. 付 1 表 内筒の拡大の有無における実効増倍率の比較</p> <table border="1"> <thead> <tr> <th>内筒</th><th>k_{eff}</th><th>σ</th><th>$k_{eff}+3\sigma$</th></tr> </thead> <tbody> <tr> <td>拡大無し</td><td></td><td></td><td></td></tr> <tr> <td>拡大有り</td><td></td><td></td><td></td></tr> </tbody> </table> <p>(v) — 第 E. 付 30 表 対応する評価結果</p>	内筒	k_{eff}	σ	$k_{eff}+3\sigma$	拡大無し				拡大有り				<ul style="list-style-type: none"> ・知見の更新に関する説明の見直し(解析結果の見直し)
内筒	k_{eff}	σ	$k_{eff}+3\sigma$																																			
拡大無し																																						
拡大有り																																						
内筒	k_{eff}	σ	$k_{eff}+3\sigma$																																			
拡大無し																																						
拡大有り																																						
内筒	k_{eff}	σ	$k_{eff}+3\sigma$																																			
拡大無し																																						
拡大有り																																						

(v) — E — 23

(v) — E — 39

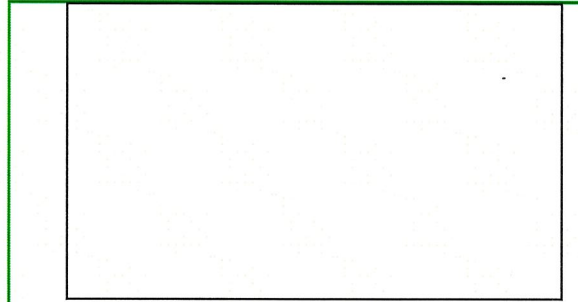
核燃料輸送物設計変更承認申請に係る変更前後表

前回申請書 (平成30年8月17日付三原燃第18-393号をもって申請 (平成31年2月5日付三原燃第18-1013号をもって一部補正))	今回の核燃料輸送物設計変更承認申請	備考																																						
	<p>E. 7.6 付属書類-6 モデル化における追加遮蔽板と [] の取扱い</p> <p>(a) - A構造解析では、バスケットの強度評価において、バスケット部品である追加遮蔽板と [] を無視しており、臨界解析で考慮するこれらの部品の損傷状態は示されていない。</p> <p>そこで、これら追加遮蔽板と [] について、モデル化する場合とモデル化しない場合の実効増倍率を比較し、安全側になる条件を確認する。</p> <p>(1) 実効増倍率の比較</p> <p>実効増倍率の比較に用いる解析条件は、実効増倍率が最大を示している(a)-第E.付6.1表の条件(付属書類-2)とし、追加遮蔽板と [] の領域を水に置き換えた場合の実効増倍率を求める。</p> <p>(a)-第E.付6.1表 実効増倍率の比較に用いる解析条件</p> <table border="1"> <thead> <tr> <th>燃料の格子形状</th> <th>燃料棒ピッチ (mm)</th> <th>容器内水密度 (g/cm³)</th> <th>容器外水密度 (g/cm³)</th> </tr> </thead> <tbody> <tr> <td>D格子</td> <td>[]</td> <td>[]</td> <td>0.0</td> </tr> </tbody> </table> <p>(2) 実効増倍率の比較</p> <p>追加遮蔽板と [] をバスケット部品として考慮した場合と、それぞれの領域の一方あるいは両方を水に置き換えた場合の実効増倍率の比較を(a)-第E.付6.2表に示す。</p> <p>(a)-第E.付6.2表 実効増倍率の比較</p> <table border="1"> <thead> <tr> <th colspan="2">比較したモデル</th> <th colspan="3">実効増倍率</th> </tr> <tr> <th>追加遮蔽板</th> <th>[]</th> <th>k_{eff}</th> <th>σ</th> <th>k_{eff}+3σ</th> </tr> </thead> <tbody> <tr> <td>考慮</td> <td>考慮</td> <td>[]</td> <td>[]</td> <td>[]</td> </tr> <tr> <td>考慮</td> <td>無視(水)</td> <td>[]</td> <td>[]</td> <td>[]</td> </tr> <tr> <td>無視(水)</td> <td>考慮</td> <td>[]</td> <td>[]</td> <td>[]</td> </tr> <tr> <td>無視(水)</td> <td>無視(水)</td> <td>[]</td> <td>[]</td> <td>[]</td> </tr> </tbody> </table> <p>(a)-第E.付6.2表に示すように、追加遮蔽板と [] の両方を考慮した場合の実効増倍率が最も高くなっている。モデル化ではこれらを考慮した方が安全側となることが確認された。</p>	燃料の格子形状	燃料棒ピッチ (mm)	容器内水密度 (g/cm ³)	容器外水密度 (g/cm ³)	D格子	[]	[]	0.0	比較したモデル		実効増倍率			追加遮蔽板	[]	k _{eff}	σ	k _{eff} +3 σ	考慮	考慮	[]	[]	[]	考慮	無視(水)	[]	[]	[]	無視(水)	考慮	[]	[]	[]	無視(水)	無視(水)	[]	[]	[]	<ul style="list-style-type: none"> ・知見の更新に関する説明の追加
燃料の格子形状	燃料棒ピッチ (mm)	容器内水密度 (g/cm ³)	容器外水密度 (g/cm ³)																																					
D格子	[]	[]	0.0																																					
比較したモデル		実効増倍率																																						
追加遮蔽板	[]	k _{eff}	σ	k _{eff} +3 σ																																				
考慮	考慮	[]	[]	[]																																				
考慮	無視(水)	[]	[]	[]																																				
無視(水)	考慮	[]	[]	[]																																				
無視(水)	無視(水)	[]	[]	[]																																				

核燃料輸送物設計変更承認申請に係る変更前後表

前回申請書 (平成 30 年 8 月 17 日付三原燃第 18-393 号をもって申請 (平成 31 年 2 月 5 日付三原燃第 18-1013 号をもって一部補正))	今回の核燃料輸送物設計変更承認申請	備考
	<p>E.7.7 付属書類-7 実効増倍率への梱包材の影響</p> <p>燃料集合体は、カードボード、木綿製の袋等の梱包材とともに収納缶に収納されたうえで、ロジメントに収納される。</p> <p>ここでは、燃料集合体全長にわたって設置されるカードボード及び木綿製の袋の実効増倍率への影響について検討する。なお、収納缶は内法 153mm、厚さ 4mm の角型のステンレス鋼製であり ((イ)-D)、その内部に燃料集合体を収納している。このため、収納缶は、燃料棒がロジメント内にピッチ拡大するのを制約する存在となる。付属書類-2 での検討より、燃料棒のピッチが拡大する方が実効増倍率は大きくなることから、収納缶の存在を無視する。</p> <p>梱包材のモデル化として、(a)-第一E.付 7.1 図に示すように、燃料集合体とロジメントの間に厚さ □ mm (厚さ □ mm のカードボード及び厚さ □ mm の木綿製の袋を仮定) の角管の領域を与え、材質はカードボード (紙製品) 及び木綿の主成分がセルロースであることから、セルロース 90%、水 10% を仮定し、密度については、真密度を 1.5 g/cm^3 とする。安全側に収納缶及びチャンネルボックスの存在を無視する。</p> <p>解析モデルは、輸送容器内部への水の浸入を考慮し、燃料棒ピッチは燃料棒が梱包材の内側に均一に拡がった場合を考える。この場合、燃料棒ピッチの拡大は、梱包材が存在する分、付属書類-2 に記載された最大の条件よりも小さい想定である。</p> <p>また、梱包材には容器内部水が浸透するものとして、梱包材の領域から真密度の体積を除いた体積には水の存在を仮定する。その他の解析条件は E.3 モデル仕様で述べた解析モデルと同一である。</p> <p>なお、ここでは、C 格子燃料と D 格子燃料のうち、付属書類-2 の評価において、最大の実効増倍率を示した D 格子燃料のモデルを用いる。</p> <p>梱包材が与える影響として、梱包材のかさ密度を変化させたときの実効増倍率を (a)-第一E.付 7.1 表及び (a)-第一E.付 7.2 図に示す。</p> <p>これらの結果から分かるように、梱包材の存在量に応じて実効増倍率がわずかに増加する傾向がみられるが、実効増倍率に対する梱包材の影響は軽微であり、梱包材の存在を考慮する場合に比べて、無視して燃料棒ピッチを拡大させた方が実効増倍率は大きくなる傾向にあることが確認された。</p>	<ul style="list-style-type: none"> ・知見の更新に関する説明の追加

核燃料輸送物設計変更承認申請に係る変更前後表

前回申請書 (平成 30 年 8 月 17 日付三原燃第 18-393 号をもって申請 (平成 31 年 2 月 5 日付三原燃第 18-1013 号をもって一部補正))	今回の核燃料輸送物設計変更承認申請	備考																																																																																					
	 <p>(a) - 第 E. 付 7.1 図 梱包材のモデル化</p> <p>(a) - 第 E. 付 7.1 表 梱包材が与える影響の評価</p> <table border="1" data-bbox="1067 770 1629 1231"> <thead> <tr> <th>燃料棒ピッチ (cm)</th> <th>かさ密度 (g/cm³)</th> <th>k_{eff}</th> <th>σ</th> <th>k_{eff+3\sigma}</th> </tr> </thead> <tbody> <tr><td></td><td>(梱包材なし)</td><td></td><td></td><td></td></tr> <tr><td></td><td>(梱包材なし)</td><td></td><td></td><td></td></tr> <tr><td>0.2</td><td></td><td></td><td></td><td></td></tr> <tr><td>0.3</td><td></td><td></td><td></td><td></td></tr> <tr><td>0.4</td><td></td><td></td><td></td><td></td></tr> <tr><td>0.5</td><td></td><td></td><td></td><td></td></tr> <tr><td>0.6</td><td></td><td></td><td></td><td></td></tr> <tr><td>0.7</td><td></td><td></td><td></td><td></td></tr> <tr><td>0.8</td><td></td><td></td><td></td><td></td></tr> <tr><td>0.9</td><td></td><td></td><td></td><td></td></tr> <tr><td>1.0</td><td></td><td></td><td></td><td></td></tr> <tr><td>1.1</td><td></td><td></td><td></td><td></td></tr> <tr><td>1.2</td><td></td><td></td><td></td><td></td></tr> <tr><td>1.3</td><td></td><td></td><td></td><td></td></tr> <tr><td>1.4</td><td></td><td></td><td></td><td></td></tr> <tr><td>1.5</td><td></td><td></td><td></td><td></td></tr> </tbody> </table> <p>D) 収納缶及び梱包材がない状態で、燃料棒ピッチを最大に拡げた状態 (付属書類-2) (注記) 上記は D 格子燃料による評価結果</p>	燃料棒ピッチ (cm)	かさ密度 (g/cm ³)	k _{eff}	σ	k _{eff+3\sigma}		(梱包材なし)					(梱包材なし)				0.2					0.3					0.4					0.5					0.6					0.7					0.8					0.9					1.0					1.1					1.2					1.3					1.4					1.5					<ul style="list-style-type: none"> ・知見の更新に関する説明の追加
燃料棒ピッチ (cm)	かさ密度 (g/cm ³)	k _{eff}	σ	k _{eff+3\sigma}																																																																																			
	(梱包材なし)																																																																																						
	(梱包材なし)																																																																																						
0.2																																																																																							
0.3																																																																																							
0.4																																																																																							
0.5																																																																																							
0.6																																																																																							
0.7																																																																																							
0.8																																																																																							
0.9																																																																																							
1.0																																																																																							
1.1																																																																																							
1.2																																																																																							
1.3																																																																																							
1.4																																																																																							
1.5																																																																																							

核燃料輸送物設計変更承認申請に係る変更前後表

前回申請書 (平成 30 年 8 月 17 日付三原燃第 18-393 号をもって申請 (平成 31 年 2 月 5 日付三原燃第 18-1013 号をもって一部補正))	今回の核燃料輸送物設計変更承認申請	備考
	<p>(注記) 上記は D 格子燃料による評価結果</p> <p>(v) - 第 E. 付 7.2 図 梱包材が与える影響の評価</p>	<ul style="list-style-type: none">・知見の更新に関する説明の追加

核燃料輸送物設計変更承認申請に係る変更前後表

前回申請書 (平成 30 年 8 月 17 日付三原燃第 18-393 号をもって申請 (平成 31 年 2 月 5 日付三原燃第 18-1013 号をもって一部補正))	今回の核燃料輸送物設計変更承認申請	備考
<p>E.7.4 付属書類-4 参考文献</p> <ul style="list-style-type: none"> [1] Scale: A Comprehensive Modeling and Simulation Suite for Nuclear Safety Analysis and Design, ORNL/TM-2005/39, Version 6.1, June 2011, OAK RIDGE NATIONAL LABORATORY [2] S. R. Bierman and E. D. Clayton, "Criticality Experiments with Subcritical Clusters of 2.35 Wt% and 4.31 Wt% 235U Enriched UO₂ Rods in Water with Steel Reflecting Walls", NUREG/CR-1784 (PNL-3602), U.S. Nuclear Regulatory Commission, 1981 [3] LEU-COMP-THERM-017, "Water-Moderated U(2.35)O₂ Fuel Rods Reflected by Two Lead, Uranium, or Steel Walls", (1998). [4] LEU-COMP-THERM-042, "Water-Moderated Rectangular Clusters of U(2.35)O₂ Fuel Rods (1.684-cm Pitch) Separated by Steel, Boral, Boroflex, Cadmium, or Copper Plates, with Steel Reflecting Walls", (2003). [5] LEU-COMP-THERM-010, "Water-Moderated U(4.31)O₂ Fuel Rods Reflected by Two Lead, Uranium, or Steel Walls", (1996). [6] LEU-COMP-THERM-013, "Water-Moderated Rectangular Clusters of U(4.31)O₂ Fuel Rods (1.892-cm Pitch) Separated by Steel, Boral, Boroflex, Cadmium, or Copper Plates, with Steel Reflecting Walls", (2003). 	<p>E.7.4 付属書類-4 参考文献</p> <ul style="list-style-type: none"> [1] Scale: A Comprehensive Modeling and Simulation Suite for Nuclear Safety Analysis and Design, ORNL/TM-2005/39, Version 6.1, June 2011, OAK RIDGE NATIONAL LABORATORY [2] S. R. Bierman and E. D. Clayton, "Criticality Experiments with Subcritical Clusters of 2.35 Wt% and 4.31 Wt% 235U Enriched UO₂ Rods in Water with Steel Reflecting Walls", NUREG/CR-1784 (PNL-3602), U.S. Nuclear Regulatory Commission, 1981 [3] LEU-COMP-THERM-017, "Water-Moderated U(2.35)O₂ Fuel Rods Reflected by Two Lead, Uranium, or Steel Walls", (1998). [4] LEU-COMP-THERM-042, "Water-Moderated Rectangular Clusters of U(2.35)O₂ Fuel Rods (1.684-cm Pitch) Separated by Steel, Boral, Boroflex, Cadmium, or Copper Plates, with Steel Reflecting Walls", (2003). [5] LEU-COMP-THERM-010, "Water-Moderated U(4.31)O₂ Fuel Rods Reflected by Two Lead, Uranium, or Steel Walls", (1996). [6] LEU-COMP-THERM-013, "Water-Moderated Rectangular Clusters of U(4.31)O₂ Fuel Rods (1.892-cm Pitch) Separated by Steel, Boral, Boroflex, Cadmium, or Copper Plates, with Steel Reflecting Walls", (2003). 	<p>・記載の適正化</p>

核燃料輸送物設計変更承認申請に係る変更前後表

前回申請書 (平成 30 年 8 月 17 日付三原燃第 18-393 号をもって申請 (平成 31 年 2 月 5 日付三原燃第 18-1013 号をもって一部補正))	今回の核燃料輸送物設計変更承認申請	備考
	<p>(e) — F 核燃料輸送物の経年変化の考慮</p> <p>F.1 考慮すべき経年変化要因</p> <p>本章では、本輸送物について使用を予定する期間中に想定される使用状況及びそれに伴う経年変化について考慮する。本輸送容器の使用予定期間は 50 年であり、輸送頻度は年 4 回程度で使用期間を通しての輸送予定期回数は計 200 回、1 回の輸送期間（実際に運搬している期間）は通常 [] 程度を想定している。</p> <p>本輸送物の使用期間中に想定される経年変化の要因としては、輸送物の保管中や使用中における温度変化（熱）、収納物から発生する放射線、腐食等の化学変化及び繰返し荷重による経年変化（疲労）が考えられる。本輸送容器の構成部品について、これらの経年変化に関する評価を行う。</p> <p>熱、放射線及び化学変化による経年変化の評価においては、保守的な条件として 50 年間の連続使用を考慮し、輸送温度としては、運搬中の最高温度である 70°C (38°C の環境温度の下で太陽放射熱の影響を考慮した温度) を想定する。疲労による経年変化の評価においては、50 年間の 1 日 1 回の圧力変動又は 200 回の輸送に対して保守的な吊上げ回数を想定する。</p>	<ul style="list-style-type: none"> ・規則等の改正に伴う評価の追加

核燃料輸送物設計変更承認申請に係る変更前後表

前回申請書 (平成30年8月17日付三原燃第18-393号をもって申請 (平成31年2月5日付三原燃第18-1013号をもって一部補正))	今回の核燃料輸送物設計変更承認申請	備考												
	<p>F-2 安全解析における新年度の考慮の必要性の評価</p> <p>経年変化の評価の対象となる輸送容器の安全機能を担う構成部品及び収納物のうち繰り返し使用される収納缶について、その使用材料を(i) 第F.1表に示す。</p> <p>(i) 第F.1表 輸送容器の構成部品とその材料</p> <table border="1"> <thead> <tr> <th>輸送容器の構成部品</th><th>材料</th></tr> </thead> <tbody> <tr> <td>容器本体 ・内筒 ・胴ガセット ・胴外板 ・上部フランジ ・底板 ・トランニオン ・ハンドリングベルト ・蓋板締付けボルト ・トランニオン取付けボルト ・ハンドリングベルト連結ボルト ・□グレート ・胴部レジン ・蓋部レジン ・底部レジン</td><td>■ステンレス鋼 合金鋼 □ レジン</td></tr> <tr> <td>蓋板 ・蓋板</td><td>チタン合金</td></tr> <tr> <td>バスケット ・ロジメント ・ ・ ・ ・アルミスペーサー</td><td>ボロン入りステンレス鋼 アルミニウム合金</td></tr> <tr> <td>衝撃吸収カバー ・締付けボルト ・外板 ・ ・脚、等 ・緩衝材</td><td>合金鋼 ■ステンレス鋼 木材</td></tr> <tr> <td>収納缶 ・胴、底板及び蓋板 ・蓋板ボルト</td><td>■ステンレス鋼 合金鋼</td></tr> </tbody> </table> <p>(e) -F-2</p>	輸送容器の構成部品	材料	容器本体 ・内筒 ・胴ガセット ・胴外板 ・上部フランジ ・底板 ・トランニオン ・ハンドリングベルト ・蓋板締付けボルト ・トランニオン取付けボルト ・ハンドリングベルト連結ボルト ・□グレート ・胴部レジン ・蓋部レジン ・底部レジン	■ステンレス鋼 合金鋼 □ レジン	蓋板 ・蓋板	チタン合金	バスケット ・ロジメント ・  ・  ・  ・アルミスペーサー	ボロン入りステンレス鋼 アルミニウム合金	衝撃吸収カバー ・締付けボルト ・外板 ・  ・脚、  等 ・緩衝材	合金鋼 ■ステンレス鋼 木材	収納缶 ・胴、底板及び蓋板 ・蓋板ボルト	■ステンレス鋼 合金鋼	<ul style="list-style-type: none"> 規則等の改正に伴う評価の追加
輸送容器の構成部品	材料													
容器本体 ・内筒 ・胴ガセット ・胴外板 ・上部フランジ ・底板 ・トランニオン ・ハンドリングベルト ・蓋板締付けボルト ・トランニオン取付けボルト ・ハンドリングベルト連結ボルト ・□グレート ・胴部レジン ・蓋部レジン ・底部レジン	■ステンレス鋼 合金鋼 □ レジン													
蓋板 ・蓋板	チタン合金													
バスケット ・ロジメント ・  ・  ・  ・アルミスペーサー	ボロン入りステンレス鋼 アルミニウム合金													
衝撃吸収カバー ・締付けボルト ・外板 ・  ・脚、  等 ・緩衝材	合金鋼 ■ステンレス鋼 木材													
収納缶 ・胴、底板及び蓋板 ・蓋板ボルト	■ステンレス鋼 合金鋼													

核燃料輸送物設計変更承認申請に係る変更前後表

前回申請書 (平成 30 年 8 月 17 日付三原燃第 18-393 号をもって申請 (平成 31 年 2 月 5 日付三原燃第 18-1013 号をもって一部補正))	今回の核燃料輸送物設計変更承認申請	備考
	<p>ここで、輸送容器のうちガスケット等の交換部品は、(iv)章で示すように適宜、交換されるため、経年変化の考慮の必要性はなく評価から除外する。また、燃料集合体は、輸送毎に別の燃料集合体に置き換えられ 1 度しか輸送されないため評価から除外する。</p> <p>(iv) 第 F.1 表より、輸送容器において経年変化の考慮の必要性を評価する材料は下記の 9 種類となる。各材料について、経年変化の考慮の必要性を熱、放射線、化学変化及び疲労の観点から評価した結果を (iv) 第 F.2 表に示す。</p> <ul style="list-style-type: none"> ・□ ステンレス鋼 ・■ ステンレス鋼 ・ボロン入りステンレス鋼 ・合金鋼 ・チタン合金 ・□ ・アルミニウム合金 ・レジン ・木材 	<ul style="list-style-type: none"> ・規則等の改正に伴う評価の追加

核燃料輸送物設計変更承認申請に係る変更前後表

前回申請書 (平成 30 年 8 月 17 日付三原燃第 18-393 号をもって申請 (平成 31 年 2 月 5 日付三原燃第 18-1013 号をもって一部補正))	今回の核燃料輸送物設計変更承認申請	備考									
	<p>(a) - 第 F.2 表 安全解析における経年変化の考慮の必要性の評価 (1/17)</p> <table border="1" style="width: 100%; border-collapse: collapse;"> <thead> <tr> <th style="text-align: left; padding: 5px;">材料 / 構成部材</th> <th style="text-align: left; padding: 5px;">経年変化 の要因</th> <th style="text-align: left; padding: 5px;">経年変化の考慮の必要性の評価</th> </tr> </thead> <tbody> <tr> <td style="padding: 10px;"><input type="checkbox"/>ステンレス鋼</td> <td style="padding: 10px;">熱</td> <td style="padding: 10px;"> <p>輸送中に想定される容器本体の最高温度は 70°C 以下である。この使用条件では、以下に示す知見/理由から、組織変化、クリープ、割れ等の経年変化の影響を受けない、したがって、技術基準への適合性を評価するうえで経年変化の考慮は必要ない。</p> <ul style="list-style-type: none"> ・<input type="checkbox"/>ステンレス鋼がクリープの影響を受ける温度は、融点の三分の一程度で、それ以下の温度ではクリープによる変形量は無視できるほどに小さい。<input type="checkbox"/>ステンレス鋼の融点は、1700 K 程度であることから、融点の 1/3 は約 290°C となる。容器本体の最高温度は 70°C であることから、使用上問題となるようなクリープは生じない。 </td> </tr> <tr> <td style="padding: 10px;"><input type="checkbox"/>放射線</td> <td style="padding: 10px;">放射線</td> <td style="padding: 10px;"> <p>本輸送物の貯納物は半導用の新燃料集合体であり、50 年間当該燃料集合体を貯納していたとして最も高い部位である容器本体の表面における中性子発生量は $2 \times 10^9 n/cm^2$ 以下であり、輸送容器の中性子照射量は最も高い部位でも、燃料集合体 10 年分の $2 \times 10^9 n/cm^2$ を超えることはない。(付属資料-1) この使用条件では、以下に示す知見/理由から、使用上問題となる放射線による経年変化は起こらない。したがって、技術基準への適合性を評価するうえで経年変化の考慮は必要ない。</p> <ul style="list-style-type: none"> ・<input type="checkbox"/>ステンレス鋼について、<input type="checkbox"/>ステンレス鋼に対する中性子照射の影響評価結果から、中性子照射量が $10^{17} n/cm^2$ 以下では顕著な降伏応力の変化は見られない。 ・また、原子炉構造材の疲労試験方法 (JBAC-201) によると、<input type="checkbox"/>ステンレス鋼に対するものと比較するものと、<input type="checkbox"/>ステンレス鋼からなる<input type="checkbox"/>ステンレス鋼は中性子照射量が $10^{17} n/cm^2$ 以下では照射による疲労に問題とならない。 </td> </tr> </tbody> </table>	材料 / 構成部材	経年変化 の要因	経年変化の考慮の必要性の評価	<input type="checkbox"/> ステンレス鋼	熱	<p>輸送中に想定される容器本体の最高温度は 70°C 以下である。この使用条件では、以下に示す知見/理由から、組織変化、クリープ、割れ等の経年変化の影響を受けない、したがって、技術基準への適合性を評価するうえで経年変化の考慮は必要ない。</p> <ul style="list-style-type: none"> ・<input type="checkbox"/>ステンレス鋼がクリープの影響を受ける温度は、融点の三分の一程度で、それ以下の温度ではクリープによる変形量は無視できるほどに小さい。<input type="checkbox"/>ステンレス鋼の融点は、1700 K 程度であることから、融点の 1/3 は約 290°C となる。容器本体の最高温度は 70°C であることから、使用上問題となるようなクリープは生じない。 	<input type="checkbox"/> 放射線	放射線	<p>本輸送物の貯納物は半導用の新燃料集合体であり、50 年間当該燃料集合体を貯納していたとして最も高い部位である容器本体の表面における中性子発生量は $2 \times 10^9 n/cm^2$ 以下であり、輸送容器の中性子照射量は最も高い部位でも、燃料集合体 10 年分の $2 \times 10^9 n/cm^2$ を超えることはない。(付属資料-1) この使用条件では、以下に示す知見/理由から、使用上問題となる放射線による経年変化は起こらない。したがって、技術基準への適合性を評価するうえで経年変化の考慮は必要ない。</p> <ul style="list-style-type: none"> ・<input type="checkbox"/>ステンレス鋼について、<input type="checkbox"/>ステンレス鋼に対する中性子照射の影響評価結果から、中性子照射量が $10^{17} n/cm^2$ 以下では顕著な降伏応力の変化は見られない。 ・また、原子炉構造材の疲労試験方法 (JBAC-201) によると、<input type="checkbox"/>ステンレス鋼に対するものと比較するものと、<input type="checkbox"/>ステンレス鋼からなる<input type="checkbox"/>ステンレス鋼は中性子照射量が $10^{17} n/cm^2$ 以下では照射による疲労に問題とならない。 	<p>・規則等の改正に伴う評価の追加</p>
材料 / 構成部材	経年変化 の要因	経年変化の考慮の必要性の評価									
<input type="checkbox"/> ステンレス鋼	熱	<p>輸送中に想定される容器本体の最高温度は 70°C 以下である。この使用条件では、以下に示す知見/理由から、組織変化、クリープ、割れ等の経年変化の影響を受けない、したがって、技術基準への適合性を評価するうえで経年変化の考慮は必要ない。</p> <ul style="list-style-type: none"> ・<input type="checkbox"/>ステンレス鋼がクリープの影響を受ける温度は、融点の三分の一程度で、それ以下の温度ではクリープによる変形量は無視できるほどに小さい。<input type="checkbox"/>ステンレス鋼の融点は、1700 K 程度であることから、融点の 1/3 は約 290°C となる。容器本体の最高温度は 70°C であることから、使用上問題となるようなクリープは生じない。 									
<input type="checkbox"/> 放射線	放射線	<p>本輸送物の貯納物は半導用の新燃料集合体であり、50 年間当該燃料集合体を貯納していたとして最も高い部位である容器本体の表面における中性子発生量は $2 \times 10^9 n/cm^2$ 以下であり、輸送容器の中性子照射量は最も高い部位でも、燃料集合体 10 年分の $2 \times 10^9 n/cm^2$ を超えることはない。(付属資料-1) この使用条件では、以下に示す知見/理由から、使用上問題となる放射線による経年変化は起こらない。したがって、技術基準への適合性を評価するうえで経年変化の考慮は必要ない。</p> <ul style="list-style-type: none"> ・<input type="checkbox"/>ステンレス鋼について、<input type="checkbox"/>ステンレス鋼に対する中性子照射の影響評価結果から、中性子照射量が $10^{17} n/cm^2$ 以下では顕著な降伏応力の変化は見られない。 ・また、原子炉構造材の疲労試験方法 (JBAC-201) によると、<input type="checkbox"/>ステンレス鋼に対するものと比較するものと、<input type="checkbox"/>ステンレス鋼からなる<input type="checkbox"/>ステンレス鋼は中性子照射量が $10^{17} n/cm^2$ 以下では照射による疲労に問題とならない。 									

核燃料輸送物設計変更承認申請に係る変更前後表

前回申請書 (平成 30 年 8 月 17 日付三原燃第 18-393 号をもって申請 (平成 31 年 2 月 5 日付三原燃第 18-1013 号をもって一部補正))	今回の核燃料輸送物設計変更承認申請	備考																											
	<div style="border: 1px solid green; padding: 10px;"> <p style="text-align: center;">(e) - 第 F - 2 表 安全解析における経年変化の考慮の必要性の評価 (2/17)</p> <table border="1" style="width: 100%; border-collapse: collapse;"> <thead> <tr> <th style="text-align: left; padding: 5px;">材料 / 構成部材</th> <th style="text-align: left; padding: 5px;">経年変化の要因</th> <th style="text-align: left; padding: 5px;">経年変化の考慮の必要性の評価</th> </tr> </thead> <tbody> <tr> <td style="padding: 5px;">□ ステンレス鋼</td> <td style="padding: 5px;">化学変化</td> <td style="padding: 5px;">□ ステンレス鋼は、以下に示すように使用環境に対して十分な耐食性を有した材料が使用されており、使用上問題となる腐食は起こらない。したがって、技術基準への適合性を評価するうえで経年変化の考慮は必要ない。</td> </tr> <tr> <td style="padding: 5px;">[容器本体]</td> <td style="padding: 5px;">・内筒</td> <td style="padding: 5px;">・ステンレス鋼は、不動態皮膜の形成により腐食しにくい材料である。</td> </tr> <tr> <td style="padding: 5px;"></td> <td style="padding: 5px;">・腐ガセット</td> <td style="padding: 5px;">・□ ステンレス鋼は、後述の □ ステンレス鋼よりも耐食性が高い [3]。</td> </tr> <tr> <td style="padding: 5px;"></td> <td style="padding: 5px;">・腐外板</td> <td style="padding: 5px;">・長期間海浜大気にさらされた場合の □ ステンレス鋼の平均腐食速度は 0.25 μm/年</td> </tr> <tr> <td style="padding: 5px;"></td> <td style="padding: 5px;">・上部フランジ</td> <td style="padding: 5px;">・未塗装があり、腐食はごく僅かである。本輸送容器の使用環境は、このデータの試験条件よりも腐食しにくい環境であり、□ ステンレス鋼の腐食が問題となることはない。</td> </tr> <tr> <td style="padding: 5px;">・トラニオサン</td> <td style="padding: 5px;">・海水大気：海水による塩分や水分を含み金属の腐食が進みやすい大気</td> <td style="padding: 5px;">・海水大気：海水による塩分や水分を含み金属の腐食が進みやすい大気</td> </tr> <tr> <td style="padding: 5px;">・ハンドリングベルト</td> <td style="padding: 5px;">疲労</td> <td style="padding: 5px;">トラニオサン、ハンドリングベルトにおいて、吊上げ荷重より繰返し応力が発生するため、経年変化 有りについての考慮が必要である。これら各部材に対して、吊上げ荷重による疲労による疲労評価を行っており、この結果に基づいて、F. 1 で示した保守的に設定した使用回数による経年変化の影響を評価する。</td> </tr> <tr> <td></td> <td></td> <td style="padding: 5px;">また、同様に容器本体（内筒、腐ガセット、腐外板、上部フランジ、底板）に内外圧差による静止し応力が発生するため、経年変化についての考慮が必要である。これらの各部材に対して、内外圧差による疲労、応力に対する疲労評価を行っており、この結果に基づいてF. 1 で示した保守的に設定した使用回数による経年変化の影響を評価する。</td> </tr> </tbody> </table> </div>	材料 / 構成部材	経年変化の要因	経年変化の考慮の必要性の評価	□ ステンレス鋼	化学変化	□ ステンレス鋼は、以下に示すように使用環境に対して十分な耐食性を有した材料が使用されており、使用上問題となる腐食は起こらない。したがって、技術基準への適合性を評価するうえで経年変化の考慮は必要ない。	[容器本体]	・内筒	・ステンレス鋼は、不動態皮膜の形成により腐食しにくい材料である。		・腐ガセット	・□ ステンレス鋼は、後述の □ ステンレス鋼よりも耐食性が高い [3]。		・腐外板	・長期間海浜大気にさらされた場合の □ ステンレス鋼の平均腐食速度は 0.25 μm/年		・上部フランジ	・未塗装があり、腐食はごく僅かである。本輸送容器の使用環境は、このデータの試験条件よりも腐食しにくい環境であり、□ ステンレス鋼の腐食が問題となることはない。	・トラニオサン	・海水大気：海水による塩分や水分を含み金属の腐食が進みやすい大気	・海水大気：海水による塩分や水分を含み金属の腐食が進みやすい大気	・ハンドリングベルト	疲労	トラニオサン、ハンドリングベルトにおいて、吊上げ荷重より繰返し応力が発生するため、経年変化 有りについての考慮が必要である。これら各部材に対して、吊上げ荷重による疲労による疲労評価を行っており、この結果に基づいて、F. 1 で示した保守的に設定した使用回数による経年変化の影響を評価する。			また、同様に容器本体（内筒、腐ガセット、腐外板、上部フランジ、底板）に内外圧差による静止し応力が発生するため、経年変化についての考慮が必要である。これらの各部材に対して、内外圧差による疲労、応力に対する疲労評価を行っており、この結果に基づいてF. 1 で示した保守的に設定した使用回数による経年変化の影響を評価する。	・規則等の改正に伴う評価の追加
材料 / 構成部材	経年変化の要因	経年変化の考慮の必要性の評価																											
□ ステンレス鋼	化学変化	□ ステンレス鋼は、以下に示すように使用環境に対して十分な耐食性を有した材料が使用されており、使用上問題となる腐食は起こらない。したがって、技術基準への適合性を評価するうえで経年変化の考慮は必要ない。																											
[容器本体]	・内筒	・ステンレス鋼は、不動態皮膜の形成により腐食しにくい材料である。																											
	・腐ガセット	・□ ステンレス鋼は、後述の □ ステンレス鋼よりも耐食性が高い [3]。																											
	・腐外板	・長期間海浜大気にさらされた場合の □ ステンレス鋼の平均腐食速度は 0.25 μm/年																											
	・上部フランジ	・未塗装があり、腐食はごく僅かである。本輸送容器の使用環境は、このデータの試験条件よりも腐食しにくい環境であり、□ ステンレス鋼の腐食が問題となることはない。																											
・トラニオサン	・海水大気：海水による塩分や水分を含み金属の腐食が進みやすい大気	・海水大気：海水による塩分や水分を含み金属の腐食が進みやすい大気																											
・ハンドリングベルト	疲労	トラニオサン、ハンドリングベルトにおいて、吊上げ荷重より繰返し応力が発生するため、経年変化 有りについての考慮が必要である。これら各部材に対して、吊上げ荷重による疲労による疲労評価を行っており、この結果に基づいて、F. 1 で示した保守的に設定した使用回数による経年変化の影響を評価する。																											
		また、同様に容器本体（内筒、腐ガセット、腐外板、上部フランジ、底板）に内外圧差による静止し応力が発生するため、経年変化についての考慮が必要である。これらの各部材に対して、内外圧差による疲労、応力に対する疲労評価を行っており、この結果に基づいてF. 1 で示した保守的に設定した使用回数による経年変化の影響を評価する。																											

核燃料輸送物設計変更承認申請に係る変更前後表

前回申請書 (平成 30 年 8 月 17 日付三原燃第 18-393 号をもって申請 (平成 31 年 2 月 5 日付三原燃第 18-1013 号をもって一部補正))	今回の核燃料輸送物設計変更承認申請	備考									
	<p>(c) - 第 F.2.表 安全解析における経年変化的考慮の必要性の評価 (3/17)</p> <table border="1" style="width: 100%; border-collapse: collapse;"> <thead> <tr> <th style="text-align: left; padding: 5px;">材料 / 構成部材</th> <th style="text-align: left; padding: 5px;">経年変化の要因</th> <th style="text-align: left; padding: 5px;">経年変化の考慮の必要性の評価</th> </tr> </thead> <tbody> <tr> <td style="padding: 5px;">■ テンレス鋼</td> <td style="padding: 5px;">熱</td> <td style="padding: 5px;"> 輸送中に想定される容器本体の最高温度は 70°C 以下である。この使用条件では、以下に示す如見/理由から、組織変化、クリープ、割れ等の経年変化の影響は受けない。したがって、技術基準への適合性を評価するうえで経年変化的考慮は不要ない。 ■ (ステンレス鋼がクリープの影響を受ける温度は、融点の三分の一程度で、それ以下の温度ではクリープによる変形量は無視できるほどに小さい。) ■ (ステンレス鋼の融点は、1700 [K] 程度であることから、融点の 1/3 は約 590°C となる。容器本体の最高温度は 70°C であることから、使用上問題となるようなクリープは生じしない。) </td> </tr> <tr> <td style="padding: 5px;">[衝撃吸収カバー] ■ 外板 ■ 壁、床</td> <td style="padding: 5px;">放熱塗装</td> <td style="padding: 5px;"> 本輸送物の応答物は未使用の新燃料集合体であり、50 年間燃料集合体を収納していたとしても、燃料集合体における中性子発生量は $2 \times 10^{10} \text{ n/cm}^2$ 以下であり、輸送容器の中性子照射量は最も高い部位でも、燃料集合体 10 片分の $\times 10^{10} \text{ n/cm}^2$ を超えることはない。(付属書類-1) この使用条件では、以下に示す如見/理由から、使用上問題となる放熱塗装による経年変化は起こらない。したがって、技術基準への適合性を評価するうえで経年変化的考慮は不要ない。 ■ (ステンレス鋼) ■ (ステンレス鋼) 対する中性子照射の影響評価結果から、中性子照射量が 10^{11} n/cm^2 以下では頗るな降伏応力の変化は見られない。 </td> </tr> </tbody> </table>	材料 / 構成部材	経年変化の要因	経年変化の考慮の必要性の評価	■ テンレス鋼	熱	輸送中に想定される容器本体の最高温度は 70°C 以下である。この使用条件では、以下に示す如見/理由から、組織変化、クリープ、割れ等の経年変化の影響は受けない。したがって、技術基準への適合性を評価するうえで経年変化的考慮は不要ない。 ■ (ステンレス鋼がクリープの影響を受ける温度は、融点の三分の一程度で、それ以下の温度ではクリープによる変形量は無視できるほどに小さい。) ■ (ステンレス鋼の融点は、1700 [K] 程度であることから、融点の 1/3 は約 590°C となる。容器本体の最高温度は 70°C であることから、使用上問題となるようなクリープは生じしない。)	[衝撃吸収カバー] ■ 外板 ■ 壁、床	放熱塗装	本輸送物の応答物は未使用の新燃料集合体であり、50 年間燃料集合体を収納していたとしても、燃料集合体における中性子発生量は $2 \times 10^{10} \text{ n/cm}^2$ 以下であり、輸送容器の中性子照射量は最も高い部位でも、燃料集合体 10 片分の $\times 10^{10} \text{ n/cm}^2$ を超えることはない。(付属書類-1) この使用条件では、以下に示す如見/理由から、使用上問題となる放熱塗装による経年変化は起こらない。したがって、技術基準への適合性を評価するうえで経年変化的考慮は不要ない。 ■ (ステンレス鋼) ■ (ステンレス鋼) 対する中性子照射の影響評価結果から、中性子照射量が 10^{11} n/cm^2 以下では頗るな降伏応力の変化は見られない。	<ul style="list-style-type: none"> ・規則等の改正に伴う評価の追加
材料 / 構成部材	経年変化の要因	経年変化の考慮の必要性の評価									
■ テンレス鋼	熱	輸送中に想定される容器本体の最高温度は 70°C 以下である。この使用条件では、以下に示す如見/理由から、組織変化、クリープ、割れ等の経年変化の影響は受けない。したがって、技術基準への適合性を評価するうえで経年変化的考慮は不要ない。 ■ (ステンレス鋼がクリープの影響を受ける温度は、融点の三分の一程度で、それ以下の温度ではクリープによる変形量は無視できるほどに小さい。) ■ (ステンレス鋼の融点は、1700 [K] 程度であることから、融点の 1/3 は約 590°C となる。容器本体の最高温度は 70°C であることから、使用上問題となるようなクリープは生じしない。)									
[衝撃吸収カバー] ■ 外板 ■ 壁、床	放熱塗装	本輸送物の応答物は未使用の新燃料集合体であり、50 年間燃料集合体を収納していたとしても、燃料集合体における中性子発生量は $2 \times 10^{10} \text{ n/cm}^2$ 以下であり、輸送容器の中性子照射量は最も高い部位でも、燃料集合体 10 片分の $\times 10^{10} \text{ n/cm}^2$ を超えることはない。(付属書類-1) この使用条件では、以下に示す如見/理由から、使用上問題となる放熱塗装による経年変化は起こらない。したがって、技術基準への適合性を評価するうえで経年変化的考慮は不要ない。 ■ (ステンレス鋼) ■ (ステンレス鋼) 対する中性子照射の影響評価結果から、中性子照射量が 10^{11} n/cm^2 以下では頗るな降伏応力の変化は見られない。									

核燃料輸送物設計変更承認申請に係る変更前後表

前回申請書 (平成 30 年 8 月 17 日付三原燃第 18-393 号をもって申請 (平成 31 年 2 月 5 日付三原燃第 18-1013 号をもって一部補正))	今回の核燃料輸送物設計変更承認申請	備考												
	<div style="border: 1px solid green; padding: 10px;"> <p style="text-align: center;">(e) 第 F-2 表 安全解析における経年変化の考慮の必要性の評価 (4.17)</p> <table border="1" style="width: 100%; border-collapse: collapse;"> <thead> <tr> <th style="text-align: left; padding: 5px;">材料 / 構成部材</th> <th style="text-align: left; padding: 5px;">経年変化の要因</th> <th style="text-align: left; padding: 5px;">経年変化の考慮の必要性の評価</th> </tr> </thead> <tbody> <tr> <td style="padding: 5px;">■ テンレス鋼</td> <td style="padding: 5px;">化学変化</td> <td style="padding: 5px;">以下に示すように使用環境に対して十分な耐食性を有した材料が使用されており、使用上問題となる虞れはない。したがって、技術基準への適合性を評価するうえで経年変化の考慮は不要ない。</td> </tr> <tr> <td style="padding: 5px;">■ 構成部材： [衝撃吸収カバー] ・外板 ・■ ・脚 ■ 等</td> <td style="padding: 5px;">・ステンレス鋼は、不動態皮膜の形成により腐食しない材料である。 ・長期間海水や気にさらされた場合の ■ ステンレス鋼の平均浸食速度は 0.25 ミリ/年 ・未焼成であります。また、腐食はごく僅かである。本輸送容器は、このデータの試験条件よりも腐食しにくい環境であり、■ ステンレス鋼の腐食が問題となることはない。</td> <td style="padding: 5px;">・</td> </tr> <tr> <td style="padding: 5px;">■ [収納缶]</td> <td style="padding: 5px;">・脚、底板、蓋板</td> <td style="padding: 5px;">海水による塩分や水分を含み金属の腐食が進みやすい大気 海水及びガスへ外表面の構成部材（外板、■、脚、■等）において、その保管及び使用中、塩分及び水蒸気は作用しない。したがって、技術基準への適合性を評価するうえで経年変化の考慮は不要ない。 一方、貯納缶の構成部材（脚、底板、蓋板）について、使用中に内外圧差による換気し応力が発生すると想定されるため、経年変化についての考慮が必要である。これら各部材に対して、内外圧差による換気し応力に対する緩効評価を行つたり、その結果に基づいて、F-1 で示した保守的観点から耐用期間による経年変化の影響を評価する。（付属書類-4）</td> </tr> </tbody> </table> </div>	材料 / 構成部材	経年変化の要因	経年変化の考慮の必要性の評価	■ テンレス鋼	化学変化	以下に示すように使用環境に対して十分な耐食性を有した材料が使用されており、使用上問題となる虞れはない。したがって、技術基準への適合性を評価するうえで経年変化の考慮は不要ない。	■ 構成部材： [衝撃吸収カバー] ・外板 ・■ ・脚 ■ 等	・ステンレス鋼は、不動態皮膜の形成により腐食しない材料である。 ・長期間海水や気にさらされた場合の ■ ステンレス鋼の平均浸食速度は 0.25 ミリ/年 ・未焼成であります。また、腐食はごく僅かである。本輸送容器は、このデータの試験条件よりも腐食しにくい環境であり、■ ステンレス鋼の腐食が問題となることはない。	・	■ [収納缶]	・脚、底板、蓋板	海水による塩分や水分を含み金属の腐食が進みやすい大気 海水及びガスへ外表面の構成部材（外板、■、脚、■等）において、その保管及び使用中、塩分及び水蒸気は作用しない。したがって、技術基準への適合性を評価するうえで経年変化の考慮は不要ない。 一方、貯納缶の構成部材（脚、底板、蓋板）について、使用中に内外圧差による換気し応力が発生すると想定されるため、経年変化についての考慮が必要である。これら各部材に対して、内外圧差による換気し応力に対する緩効評価を行つたり、その結果に基づいて、F-1 で示した保守的観点から耐用期間による経年変化の影響を評価する。（付属書類-4）	<ul style="list-style-type: none"> 規則等の改正に伴う評価の追加
材料 / 構成部材	経年変化の要因	経年変化の考慮の必要性の評価												
■ テンレス鋼	化学変化	以下に示すように使用環境に対して十分な耐食性を有した材料が使用されており、使用上問題となる虞れはない。したがって、技術基準への適合性を評価するうえで経年変化の考慮は不要ない。												
■ 構成部材： [衝撃吸収カバー] ・外板 ・■ ・脚 ■ 等	・ステンレス鋼は、不動態皮膜の形成により腐食しない材料である。 ・長期間海水や気にさらされた場合の ■ ステンレス鋼の平均浸食速度は 0.25 ミリ/年 ・未焼成であります。また、腐食はごく僅かである。本輸送容器は、このデータの試験条件よりも腐食しにくい環境であり、■ ステンレス鋼の腐食が問題となることはない。	・												
■ [収納缶]	・脚、底板、蓋板	海水による塩分や水分を含み金属の腐食が進みやすい大気 海水及びガスへ外表面の構成部材（外板、■、脚、■等）において、その保管及び使用中、塩分及び水蒸気は作用しない。したがって、技術基準への適合性を評価するうえで経年変化の考慮は不要ない。 一方、貯納缶の構成部材（脚、底板、蓋板）について、使用中に内外圧差による換気し応力が発生すると想定されるため、経年変化についての考慮が必要である。これら各部材に対して、内外圧差による換気し応力に対する緩効評価を行つたり、その結果に基づいて、F-1 で示した保守的観点から耐用期間による経年変化の影響を評価する。（付属書類-4）												

核燃料輸送物設計変更承認申請に係る変更前後表

前回申請書 (平成 30 年 8 月 17 日付三原燃第 18-393 号をもって申請 (平成 31 年 2 月 5 日付三原燃第 18-1013 号をもって一部補正))	今回の核燃料輸送物設計変更承認申請	備考												
	<p>(a) 第 F-2 表 安全解析における経年変化の考慮の必要性の評価 (5/17)</p> <table border="1" style="width: 100%; border-collapse: collapse; text-align: center;"> <thead> <tr> <th style="width: 30%;">材料 / 構成部材</th> <th style="width: 30%;">経年変化の要因</th> <th style="width: 40%;">経年変化の考慮の必要性の評価</th> </tr> </thead> <tbody> <tr> <td>ボロン入りステンレス鋼</td> <td>熱</td> <td> 輸送中に想定される容器本体の最高温度は 70°C 以下である。この使用条件では、以下に示す知見 / 理由から、組織変化、クリープ、割れ等の経年変化の影響は受けない。したがって、技術基準への適合性を評価するうえで経年変化の考慮は不要ない。 • ボロン入りステンレス鋼がクリープの影響を受ける温度は、融点の三分の一程度で、それ以下の温度ではクリープによる変形量は無視できるほど[1]大きい。ボロン入りステンレス鋼の融点は、1600 K^[3] 程度であることから、融点の 1/3 は約 260°C となる。容器本体の最高温度は 70°C であることから、使用上問題となるようなクリープは生じない。 </td> </tr> <tr> <td>構成部材 : [ペスクット] ・ロジメント</td> <td></td> <td></td> </tr> <tr> <td>放射線</td> <td></td> <td> 本輸送物の收容物は未使用の新燃料集合体であり、50 年間燃料集合体を収納していたとしても、燃料集合体表面における中性子発生量は $2 \times 10^9 \text{ n/cm}^2$ 以下であり、輸送容器の中性子照射量は最も高い部位でも、燃料集合体 10 倍分の $2 \times 10^9 \text{ n/cm}^2$ を超えることはない。 (付属書類-1) この使用条件では、以下に示す知見 / 理由から、使用上問題となる放射線による経年変化は起こらない。したがって、技術基準への適合性を評価するうえで経年変化の考慮は不要ない。 • ボロン入りステンレス鋼について、中性子照射量が 10^9 n/cm^2 以下では引張強さや耐力に影響量による差異は検出されない^[4]。 • 中性子照射に伴うボロンの減量については、³¹P の 50 年間の減量を、上述の容器内部の中性子黒鉛量 $\times 10^9 \text{ n/cm}^2$ を用いて評価すると 10^{-9} 以下となる。このため、中性子照射に伴うボロンの減量が問題となることはない。 (付属書類-1) </td> </tr> </tbody> </table>	材料 / 構成部材	経年変化の要因	経年変化の考慮の必要性の評価	ボロン入りステンレス鋼	熱	輸送中に想定される容器本体の最高温度は 70°C 以下である。この使用条件では、以下に示す知見 / 理由から、組織変化、クリープ、割れ等の経年変化の影響は受けない。したがって、技術基準への適合性を評価するうえで経年変化の考慮は不要ない。 • ボロン入りステンレス鋼がクリープの影響を受ける温度は、融点の三分の一程度で、それ以下の温度ではクリープによる変形量は無視できるほど[1]大きい。ボロン入りステンレス鋼の融点は、1600 K ^[3] 程度であることから、融点の 1/3 は約 260°C となる。容器本体の最高温度は 70°C であることから、使用上問題となるようなクリープは生じない。	構成部材 : [ペスクット] ・ロジメント			放射線		本輸送物の收容物は未使用の新燃料集合体であり、50 年間燃料集合体を収納していたとしても、燃料集合体表面における中性子発生量は $2 \times 10^9 \text{ n/cm}^2$ 以下であり、輸送容器の中性子照射量は最も高い部位でも、燃料集合体 10 倍分の $2 \times 10^9 \text{ n/cm}^2$ を超えることはない。 (付属書類-1) この使用条件では、以下に示す知見 / 理由から、使用上問題となる放射線による経年変化は起こらない。したがって、技術基準への適合性を評価するうえで経年変化の考慮は不要ない。 • ボロン入りステンレス鋼について、中性子照射量が 10^9 n/cm^2 以下では引張強さや耐力に影響量による差異は検出されない ^[4] 。 • 中性子照射に伴うボロンの減量については、 ³¹ P の 50 年間の減量を、上述の容器内部の中性子黒鉛量 $\times 10^9 \text{ n/cm}^2$ を用いて評価すると 10^{-9} 以下となる。このため、中性子照射に伴うボロンの減量が問題となることはない。 (付属書類-1)	<ul style="list-style-type: none"> 規則等の改正に伴う評価の追加
材料 / 構成部材	経年変化の要因	経年変化の考慮の必要性の評価												
ボロン入りステンレス鋼	熱	輸送中に想定される容器本体の最高温度は 70°C 以下である。この使用条件では、以下に示す知見 / 理由から、組織変化、クリープ、割れ等の経年変化の影響は受けない。したがって、技術基準への適合性を評価するうえで経年変化の考慮は不要ない。 • ボロン入りステンレス鋼がクリープの影響を受ける温度は、融点の三分の一程度で、それ以下の温度ではクリープによる変形量は無視できるほど[1]大きい。ボロン入りステンレス鋼の融点は、1600 K ^[3] 程度であることから、融点の 1/3 は約 260°C となる。容器本体の最高温度は 70°C であることから、使用上問題となるようなクリープは生じない。												
構成部材 : [ペスクット] ・ロジメント														
放射線		本輸送物の收容物は未使用の新燃料集合体であり、50 年間燃料集合体を収納していたとしても、燃料集合体表面における中性子発生量は $2 \times 10^9 \text{ n/cm}^2$ 以下であり、輸送容器の中性子照射量は最も高い部位でも、燃料集合体 10 倍分の $2 \times 10^9 \text{ n/cm}^2$ を超えることはない。 (付属書類-1) この使用条件では、以下に示す知見 / 理由から、使用上問題となる放射線による経年変化は起こらない。したがって、技術基準への適合性を評価するうえで経年変化の考慮は不要ない。 • ボロン入りステンレス鋼について、中性子照射量が 10^9 n/cm^2 以下では引張強さや耐力に影響量による差異は検出されない ^[4] 。 • 中性子照射に伴うボロンの減量については、 ³¹ P の 50 年間の減量を、上述の容器内部の中性子黒鉛量 $\times 10^9 \text{ n/cm}^2$ を用いて評価すると 10^{-9} 以下となる。このため、中性子照射に伴うボロンの減量が問題となることはない。 (付属書類-1)												

核燃料輸送物設計変更承認申請に係る変更前後表

前回申請書 (平成 30 年 8 月 17 日付三原燃第 18-393 号をもって申請 (平成 31 年 2 月 5 日付三原燃第 18-1013 号をもって一部補正))	今回の核燃料輸送物設計変更承認申請	備考												
	<div style="border: 1px solid green; padding: 10px;"> <p style="text-align: center;">(e) - 第 F - 2 表 安全解析における経年変化の考慮の必要性の評価 (6/17)</p> <table border="1" style="width: 100%; border-collapse: collapse;"> <thead> <tr> <th style="text-align: left; padding: 5px;">材料 / 構成部材</th> <th style="text-align: left; padding: 5px;">経年変化の要因</th> <th style="text-align: left; padding: 5px;">経年変化の考慮の必要性の評価</th> </tr> </thead> <tbody> <tr> <td style="padding: 5px;">ボロン入りステンレス鋼</td> <td style="padding: 5px;">以下に示すように使用環境に対して十分な耐食性を有した材料が使用されており、使用上問題となる確実性は認められない。したがって、技術基準への適合性を評価するうえで経年変化の考慮は不要ない。</td> <td style="padding: 5px;">無し</td> </tr> <tr> <td style="padding: 5px;">構成部材： ・バスケット ・ロジメント</td> <td style="padding: 5px;"> <ul style="list-style-type: none"> ・ボロン入りステンレス鋼は、不動態皮膜の形成により腐食しにくい材料である。 ・長期間海水大気における場合の ■ステンレス鋼の平均腐食速度は 0.25 μm/年未満である^[10]。腐食はごく僅かである。ボロナトリウムステンレス鋼は、ボロンを添加した ■ステンレス鋼であるため、■ステンレス鋼と同様の腐食特性にある。また、本装置部材の使用環境では、このデータの試験条件より厳密な環境下に於ける腐食は、このデータの試験条件より厳密な環境下に於ける腐食と異なることはない。 </td> <td style="padding: 5px;"></td> </tr> <tr> <td style="padding: 5px;">疲労</td> <td style="padding: 5px;">海水による塩分や水分を含み金属の腐食が進みやすい大気バスクットの構成部材 (■ジメント)において、その保管及び使用中に繰返し応力は発生しない。</td> <td style="padding: 5px;">無し</td> </tr> </tbody> </table> </div>	材料 / 構成部材	経年変化の要因	経年変化の考慮の必要性の評価	ボロン入りステンレス鋼	以下に示すように使用環境に対して十分な耐食性を有した材料が使用されており、使用上問題となる確実性は認められない。したがって、技術基準への適合性を評価するうえで経年変化の考慮は不要ない。	無し	構成部材： ・バスケット ・ロジメント	<ul style="list-style-type: none"> ・ボロン入りステンレス鋼は、不動態皮膜の形成により腐食しにくい材料である。 ・長期間海水大気における場合の ■ステンレス鋼の平均腐食速度は 0.25 μm/年未満である^[10]。腐食はごく僅かである。ボロナトリウムステンレス鋼は、ボロンを添加した ■ステンレス鋼であるため、■ステンレス鋼と同様の腐食特性にある。また、本装置部材の使用環境では、このデータの試験条件より厳密な環境下に於ける腐食は、このデータの試験条件より厳密な環境下に於ける腐食と異なることはない。 		疲労	海水による塩分や水分を含み金属の腐食が進みやすい大気バスクットの構成部材 (■ ジメント)において、その保管及び使用中に繰返し応力は発生しない。	無し	<ul style="list-style-type: none"> 規則等の改正に伴う評価の追加
材料 / 構成部材	経年変化の要因	経年変化の考慮の必要性の評価												
ボロン入りステンレス鋼	以下に示すように使用環境に対して十分な耐食性を有した材料が使用されており、使用上問題となる確実性は認められない。したがって、技術基準への適合性を評価するうえで経年変化の考慮は不要ない。	無し												
構成部材： ・バスケット ・ロジメント	<ul style="list-style-type: none"> ・ボロン入りステンレス鋼は、不動態皮膜の形成により腐食しにくい材料である。 ・長期間海水大気における場合の ■ステンレス鋼の平均腐食速度は 0.25 μm/年未満である^[10]。腐食はごく僅かである。ボロナトリウムステンレス鋼は、ボロンを添加した ■ステンレス鋼であるため、■ステンレス鋼と同様の腐食特性にある。また、本装置部材の使用環境では、このデータの試験条件より厳密な環境下に於ける腐食は、このデータの試験条件より厳密な環境下に於ける腐食と異なることはない。 													
疲労	海水による塩分や水分を含み金属の腐食が進みやすい大気バスクットの構成部材 (■ ジメント)において、その保管及び使用中に繰返し応力は発生しない。	無し												

核燃料輸送物設計変更承認申請に係る変更前後表

前回申請書 (平成 30 年 8 月 17 日付三原燃第 18-393 号をもって申請 (平成 31 年 2 月 5 日付三原燃第 18-1013 号をもって一部補正))	今回の核燃料輸送物設計変更承認申請	備考									
	<p>(e) 第 F-2 表 安全解析における経年変化の考慮の必要性の評価 (7/17)</p> <table border="1" style="width: 100%; border-collapse: collapse;"> <thead> <tr> <th style="text-align: center; padding: 5px;">材料 / 構成部材</th> <th style="text-align: center; padding: 5px;">経年変化の要因</th> <th style="text-align: center; padding: 5px;">経年変化の考慮の必要性の評価</th> </tr> </thead> <tbody> <tr> <td style="padding: 5px;">合金鋼</td> <td style="padding: 5px;">熱</td> <td style="padding: 5px;"> <p>輸送中に想定される容器本体の最高温度は 70°C 以下である。この使用条件では、以下に示す如見/理由から、組織変化、クリープ、割れ等の経年変化の影響は受けない。したがって、技術基準への適合性を評価するうえで逐年変化の考慮は必要ない。</p> <ul style="list-style-type: none"> ・合金鋼がクリープの影響を受ける程度は、融点の三分の一程度で、それ以下の温度ではクリープによる変形量は無視できるほどに小さい。 ・合金鋼の融点は、1700 K^o 程度であることから、融点の 1/3 は約 290°C となる。 ・容器本体の最高温度は 70°C であることから、使用上問題となるようなくクリープは生じない。 </td> </tr> <tr> <td style="padding: 5px;">放射線</td> <td style="padding: 5px;">放射線</td> <td style="padding: 5px;"> <p>本輸送物の收容物は未使用の新燃料集合体であり、50 年間燃料集合体を収納していたとしても、燃料集合体表面における中性子発生量は $2 \times 10^{19} n/cm^2$ 以下であり、輸送容器の中性子照射量は最も高い部位でも、燃料集合体 10 体分の $2 \times 10^{19} n/cm^2$ を超えることはない。(付属資料-1)</p> <p>この使用条件では、以下に示す如見/理由から、使用上問題となる放射線による経年変化は起こらない。したがって、技術基準への適合性を評価するうえで経年変化的考慮は必要ない。</p> <ul style="list-style-type: none"> ・合金鋼について、$10^{19} n/cm^2$ 以上では遷移温度が上昇する傾向が認められる[6]が、鋼種によらず中性子照射量が $10^{19} n/cm^2$ 以下では顕著な脆化は生じない[6]。 </td> </tr> </tbody> </table>	材料 / 構成部材	経年変化の要因	経年変化の考慮の必要性の評価	合金鋼	熱	<p>輸送中に想定される容器本体の最高温度は 70°C 以下である。この使用条件では、以下に示す如見/理由から、組織変化、クリープ、割れ等の経年変化の影響は受けない。したがって、技術基準への適合性を評価するうえで逐年変化の考慮は必要ない。</p> <ul style="list-style-type: none"> ・合金鋼がクリープの影響を受ける程度は、融点の三分の一程度で、それ以下の温度ではクリープによる変形量は無視できるほどに小さい。 ・合金鋼の融点は、1700 K^o 程度であることから、融点の 1/3 は約 290°C となる。 ・容器本体の最高温度は 70°C であることから、使用上問題となるようなくクリープは生じない。 	放射線	放射線	<p>本輸送物の收容物は未使用の新燃料集合体であり、50 年間燃料集合体を収納していたとしても、燃料集合体表面における中性子発生量は $2 \times 10^{19} n/cm^2$ 以下であり、輸送容器の中性子照射量は最も高い部位でも、燃料集合体 10 体分の $2 \times 10^{19} n/cm^2$ を超えることはない。(付属資料-1)</p> <p>この使用条件では、以下に示す如見/理由から、使用上問題となる放射線による経年変化は起こらない。したがって、技術基準への適合性を評価するうえで経年変化的考慮は必要ない。</p> <ul style="list-style-type: none"> ・合金鋼について、$10^{19} n/cm^2$ 以上では遷移温度が上昇する傾向が認められる[6]が、鋼種によらず中性子照射量が $10^{19} n/cm^2$ 以下では顕著な脆化は生じない[6]。 	<ul style="list-style-type: none"> ・規則等の改正に伴う評価の追加
材料 / 構成部材	経年変化の要因	経年変化の考慮の必要性の評価									
合金鋼	熱	<p>輸送中に想定される容器本体の最高温度は 70°C 以下である。この使用条件では、以下に示す如見/理由から、組織変化、クリープ、割れ等の経年変化の影響は受けない。したがって、技術基準への適合性を評価するうえで逐年変化の考慮は必要ない。</p> <ul style="list-style-type: none"> ・合金鋼がクリープの影響を受ける程度は、融点の三分の一程度で、それ以下の温度ではクリープによる変形量は無視できるほどに小さい。 ・合金鋼の融点は、1700 K^o 程度であることから、融点の 1/3 は約 290°C となる。 ・容器本体の最高温度は 70°C であることから、使用上問題となるようなくクリープは生じない。 									
放射線	放射線	<p>本輸送物の收容物は未使用の新燃料集合体であり、50 年間燃料集合体を収納していたとしても、燃料集合体表面における中性子発生量は $2 \times 10^{19} n/cm^2$ 以下であり、輸送容器の中性子照射量は最も高い部位でも、燃料集合体 10 体分の $2 \times 10^{19} n/cm^2$ を超えることはない。(付属資料-1)</p> <p>この使用条件では、以下に示す如見/理由から、使用上問題となる放射線による経年変化は起こらない。したがって、技術基準への適合性を評価するうえで経年変化的考慮は必要ない。</p> <ul style="list-style-type: none"> ・合金鋼について、$10^{19} n/cm^2$ 以上では遷移温度が上昇する傾向が認められる[6]が、鋼種によらず中性子照射量が $10^{19} n/cm^2$ 以下では顕著な脆化は生じない[6]。 									

核燃料輸送物設計変更承認申請に係る変更前後表

前回申請書 (平成 30 年 8 月 17 日付三原燃第 18-393 号をもって申請 (平成 31 年 2 月 5 日付三原燃第 18-1013 号をもって一部補正))	今回の核燃料輸送物設計変更承認申請	備考												
	<p style="text-align: center;">(a) 第 F-2 表 安全解析における経年変化の考慮の必要性の評価 (8/17)</p> <table border="1" style="width: 100%; border-collapse: collapse;"> <thead> <tr> <th style="text-align: center; padding: 5px;">材料 / 構成部材</th> <th style="text-align: center; padding: 5px;">経年変化の要因</th> <th style="text-align: center; padding: 5px;">経年変化の考慮の必要性の評価</th> </tr> </thead> <tbody> <tr> <td style="padding: 5px;">合金鋼</td> <td style="padding: 5px;">化学変化</td> <td style="padding: 5px;">合金鋼である蓋板締付けボルト、トライオングル締付けボルト、ハンドリングベルト連絡ボルト、衝撃吸収カバー締付けボルト、收納缶蓋板ボルトには防腐処理が施されたものが用いられるが、外観に異常が生じた場合、適宜、交換等を実施するため、化学的反応による経年変化が問題となることはない。</td> </tr> <tr> <td style="padding: 5px;">構成部材： [容器本体]</td> <td style="padding: 5px;">・蓋板締付けボルト ・トライオングル締付けボルト</td> <td style="padding: 5px;">・トライオングル締付けボルトについては、取付け部に [] による防水処理が施されており、通常はボルトの外観を確認できないが、当該箇所の防水処理の状態に異常が見られた場合、適宜、[] を取り外しボルトの外観を確認する。 ((i) 章参照)</td> </tr> <tr> <td style="padding: 5px;">蓋</td> <td style="padding: 5px;">・ハンドリングベルト連絡ボルト [衝撃吸収カバー]</td> <td style="padding: 5px;">空調本体、衝撃吸収カバー及び収納缶の各種ボルトは、その保管及び使用に際して、ボルトの締付け作業による締込み応力が発生するため、毎年変化についての考慮が必要である。これら各部材に対して、締返し応力に対する疲労評価を行つており、この結果に基づいて、F.1 で示した保守計画とした使用回数による経年変化の影響を評価する。 ・衝撃吸収カバーの締付けボルトについては、初期締付により発生する引張応力が蓋板締付けボルトより低く、疲労評価は蓋板締付けボルトに対する疲労評価に包含される。 ・蓋板ボルト</td> </tr> </tbody> </table>	材料 / 構成部材	経年変化の要因	経年変化の考慮の必要性の評価	合金鋼	化学変化	合金鋼である蓋板締付けボルト、トライオングル締付けボルト、ハンドリングベルト連絡ボルト、衝撃吸収カバー締付けボルト、收納缶蓋板ボルトには防腐処理が施されたものが用いられるが、外観に異常が生じた場合、適宜、交換等を実施するため、化学的反応による経年変化が問題となることはない。	構成部材： [容器本体]	・蓋板締付けボルト ・トライオングル締付けボルト	・トライオングル締付けボルトについては、取付け部に [] による防水処理が施されており、通常はボルトの外観を確認できないが、当該箇所の防水処理の状態に異常が見られた場合、適宜、[] を取り外しボルトの外観を確認する。 ((i) 章参照)	蓋	・ハンドリングベルト連絡ボルト [衝撃吸収カバー]	空調本体、衝撃吸収カバー及び収納缶の各種ボルトは、その保管及び使用に際して、ボルトの締付け作業による締込み応力が発生するため、毎年変化についての考慮が必要である。これら各部材に対して、締返し応力に対する疲労評価を行つており、この結果に基づいて、F.1 で示した保守計画とした使用回数による経年変化の影響を評価する。 ・衝撃吸収カバーの締付けボルトについては、初期締付により発生する引張応力が蓋板締付けボルトより低く、疲労評価は蓋板締付けボルトに対する疲労評価に包含される。 ・蓋板ボルト	<p>・規則等の改正に伴う評価の追加</p>
材料 / 構成部材	経年変化の要因	経年変化の考慮の必要性の評価												
合金鋼	化学変化	合金鋼である蓋板締付けボルト、トライオングル締付けボルト、ハンドリングベルト連絡ボルト、衝撃吸収カバー締付けボルト、收納缶蓋板ボルトには防腐処理が施されたものが用いられるが、外観に異常が生じた場合、適宜、交換等を実施するため、化学的反応による経年変化が問題となることはない。												
構成部材： [容器本体]	・蓋板締付けボルト ・トライオングル締付けボルト	・トライオングル締付けボルトについては、取付け部に [] による防水処理が施されており、通常はボルトの外観を確認できないが、当該箇所の防水処理の状態に異常が見られた場合、適宜、[] を取り外しボルトの外観を確認する。 ((i) 章参照)												
蓋	・ハンドリングベルト連絡ボルト [衝撃吸収カバー]	空調本体、衝撃吸収カバー及び収納缶の各種ボルトは、その保管及び使用に際して、ボルトの締付け作業による締込み応力が発生するため、毎年変化についての考慮が必要である。これら各部材に対して、締返し応力に対する疲労評価を行つており、この結果に基づいて、F.1 で示した保守計画とした使用回数による経年変化の影響を評価する。 ・衝撃吸収カバーの締付けボルトについては、初期締付により発生する引張応力が蓋板締付けボルトより低く、疲労評価は蓋板締付けボルトに対する疲労評価に包含される。 ・蓋板ボルト												

核燃料輸送物設計変更承認申請に係る変更前後表

前回申請書 (平成 30 年 8 月 17 日付三原燃第 18-393 号をもって申請 (平成 31 年 2 月 5 日付三原燃第 18-1013 号をもって一部補正))	今回の核燃料輸送物設計変更承認申請	備考									
	<p>(e) 第F-2表 安全解析における経年変化の考慮の必要性の評価 (9/17)</p> <table border="1" style="width: 100%; border-collapse: collapse; text-align: center;"> <thead> <tr> <th style="width: 30%;">材料 / 構成部材</th> <th style="width: 30%;">経年変化の要因</th> <th style="width: 40%;">経年変化の考慮の必要性の評価</th> </tr> </thead> <tbody> <tr> <td>チタン合金 構成部材： [容器本体] ・蓋板</td> <td>熱 輸送中に燃定される容器本体の最高温度は 70°C 以下である。この使用条件では、以下に示す知見/理由から、組織変化、クリープ、割れ等の経年変化的考慮は受けない。したがって、技術基準への適合性を評価するうえで経年変化的影響は不要ない。 ・チタン合金がクリープの影響を受ける温度は、融点の三分の一程度で、それ以下の温度ではクリープによる変形量は無視できるほどに小さい。[1] チタン合金の融点は、1900 [K] 程度であることから、融点の 1/3 は約 360°C となる。容器本体の最高温度は 70°C であることから、使用上問題となるようクリープは生じない。</td> <td>経年変化の考慮の必要性の評価 理由から、組織変化、クリープ、割れ等の経年変化的考慮は受けない。 ・チタン合金がクリープの影響を受ける温度は、融点の三分の一程度で、それ以下の温度でははクリープによる変形量は無視できるほどに小さい。[1] チタン合金の融点は、1900 [K] 程度であることから、融点の 1/3 は約 360°C となる。容器本体の最高温度は 70°C であることから、使用上問題となるようクリープは生じない。</td> </tr> <tr> <td>放射線</td> <td>本輸送物の収納物は未使用の新燃料集合体であり、50 年間燃料集合体を収納していたとしても、燃料集合体表面における中性子発生量は $2 \times 10^8 \text{ n/cm}^2$ 以下であり、輸送容器の中性子照射量は最も高い部位でも、燃料集合体 10 体分の $2 \times 10^9 \text{ n/cm}^2$ を超えることはない。(付属書類-1) この使用条件では、以下に示す知見/理由から、使用上問題となる放射線による経年変化は起こらない。したがって、技術基準への適合性を評価するうえで経年変化的考慮は不要ない。 ・チタン合金について、純チタンで中性子照射量が 10^7 n/cm^2 付近から黒焼化を示し始める[2] ことから、中性子照射量が 10^8 n/cm^2 以下では頗るな機械的性質の変化は生じない。</td> <td>経年変化の考慮の必要性の評価 理由から、組織変化、クリープ、割れ等の経年変化的考慮は受けない。 ・チタン合金がクリープの影響を受ける温度は、融点の三分の一程度で、それ以下の温度ではクリープによる変形量は無視できるほどに小さい。[1] チタン合金の融点は、1900 [K] 程度であることから、融点の 1/3 は約 360°C となる。容器本体の最高温度は 70°C であることから、使用上問題となるようクリープは生じない。</td> </tr> </tbody> </table>	材料 / 構成部材	経年変化の要因	経年変化の考慮の必要性の評価	チタン合金 構成部材： [容器本体] ・蓋板	熱 輸送中に燃定される容器本体の最高温度は 70°C 以下である。この使用条件では、以下に示す知見/理由から、組織変化、クリープ、割れ等の経年変化的考慮は受けない。したがって、技術基準への適合性を評価するうえで経年変化的影響は不要ない。 ・チタン合金がクリープの影響を受ける温度は、融点の三分の一程度で、それ以下の温度ではクリープによる変形量は無視できるほどに小さい。[1] チタン合金の融点は、1900 [K] 程度であることから、融点の 1/3 は約 360°C となる。容器本体の最高温度は 70°C であることから、使用上問題となるようクリープは生じない。	経年変化の考慮の必要性の評価 理由から、組織変化、クリープ、割れ等の経年変化的考慮は受けない。 ・チタン合金がクリープの影響を受ける温度は、融点の三分の一程度で、それ以下の温度でははクリープによる変形量は無視できるほどに小さい。[1] チタン合金の融点は、1900 [K] 程度であることから、融点の 1/3 は約 360°C となる。容器本体の最高温度は 70°C であることから、使用上問題となるようクリープは生じない。	放射線	本輸送物の収納物は未使用の新燃料集合体であり、50 年間燃料集合体を収納していたとしても、燃料集合体表面における中性子発生量は $2 \times 10^8 \text{ n/cm}^2$ 以下であり、輸送容器の中性子照射量は最も高い部位でも、燃料集合体 10 体分の $2 \times 10^9 \text{ n/cm}^2$ を超えることはない。(付属書類-1) この使用条件では、以下に示す知見/理由から、使用上問題となる放射線による経年変化は起こらない。したがって、技術基準への適合性を評価するうえで経年変化的考慮は不要ない。 ・チタン合金について、純チタンで中性子照射量が 10^7 n/cm^2 付近から黒焼化を示し始める[2] ことから、中性子照射量が 10^8 n/cm^2 以下では頗るな機械的性質の変化は生じない。	経年変化の考慮の必要性の評価 理由から、組織変化、クリープ、割れ等の経年変化的考慮は受けない。 ・チタン合金がクリープの影響を受ける温度は、融点の三分の一程度で、それ以下の温度ではクリープによる変形量は無視できるほどに小さい。[1] チタン合金の融点は、1900 [K] 程度であることから、融点の 1/3 は約 360°C となる。容器本体の最高温度は 70°C であることから、使用上問題となるようクリープは生じない。	<ul style="list-style-type: none"> 規則等の改正に伴う評価の追加
材料 / 構成部材	経年変化の要因	経年変化の考慮の必要性の評価									
チタン合金 構成部材： [容器本体] ・蓋板	熱 輸送中に燃定される容器本体の最高温度は 70°C 以下である。この使用条件では、以下に示す知見/理由から、組織変化、クリープ、割れ等の経年変化的考慮は受けない。したがって、技術基準への適合性を評価するうえで経年変化的影響は不要ない。 ・チタン合金がクリープの影響を受ける温度は、融点の三分の一程度で、それ以下の温度ではクリープによる変形量は無視できるほどに小さい。[1] チタン合金の融点は、1900 [K] 程度であることから、融点の 1/3 は約 360°C となる。容器本体の最高温度は 70°C であることから、使用上問題となるようクリープは生じない。	経年変化の考慮の必要性の評価 理由から、組織変化、クリープ、割れ等の経年変化的考慮は受けない。 ・チタン合金がクリープの影響を受ける温度は、融点の三分の一程度で、それ以下の温度でははクリープによる変形量は無視できるほどに小さい。[1] チタン合金の融点は、1900 [K] 程度であることから、融点の 1/3 は約 360°C となる。容器本体の最高温度は 70°C であることから、使用上問題となるようクリープは生じない。									
放射線	本輸送物の収納物は未使用の新燃料集合体であり、50 年間燃料集合体を収納していたとしても、燃料集合体表面における中性子発生量は $2 \times 10^8 \text{ n/cm}^2$ 以下であり、輸送容器の中性子照射量は最も高い部位でも、燃料集合体 10 体分の $2 \times 10^9 \text{ n/cm}^2$ を超えることはない。(付属書類-1) この使用条件では、以下に示す知見/理由から、使用上問題となる放射線による経年変化は起こらない。したがって、技術基準への適合性を評価するうえで経年変化的考慮は不要ない。 ・チタン合金について、純チタンで中性子照射量が 10^7 n/cm^2 付近から黒焼化を示し始める[2] ことから、中性子照射量が 10^8 n/cm^2 以下では頗るな機械的性質の変化は生じない。	経年変化の考慮の必要性の評価 理由から、組織変化、クリープ、割れ等の経年変化的考慮は受けない。 ・チタン合金がクリープの影響を受ける温度は、融点の三分の一程度で、それ以下の温度ではクリープによる変形量は無視できるほどに小さい。[1] チタン合金の融点は、1900 [K] 程度であることから、融点の 1/3 は約 360°C となる。容器本体の最高温度は 70°C であることから、使用上問題となるようクリープは生じない。									

核燃料輸送物設計変更承認申請に係る変更前後表

前回申請書 (平成 30 年 8 月 17 日付三原燃第 18-393 号をもって申請 (平成 31 年 2 月 5 日付三原燃第 18-1013 号をもって一部補正))	今回の核燃料輸送物設計変更承認申請	備考									
	<p style="text-align: center;">(a) - 第 F-2 表 安全解析における経年変化の考慮の必要性の評価 (10/17)</p> <table border="1" style="width: 100%; border-collapse: collapse;"> <thead> <tr> <th style="text-align: center; padding: 5px;">材料 / 構成部材</th> <th style="text-align: center; padding: 5px;">経年変化の要因</th> <th style="text-align: center; padding: 5px;">経年変化の考慮の必要性の評価</th> </tr> </thead> <tbody> <tr> <td style="padding: 10px;">チタン合金</td> <td style="padding: 10px;"> 空槽本体の蓋板に使用されるチタン合金は、以下に示すよう使用環境に対して十分な耐食性を持つ無し した材料が使用されており、使用上問題となる腐食は起こらない。 チタンは、海団に不動態化し、耐食材料として優れた性能を示す。^[1] 10 年間の海水浸漬において、その腐食量はごく僅か(腐食量は $0.2\text{mg}/\text{dm}^2$)で試験に留まり、堅み方向への腐食は確認されなかった。^[1] 本輸送容器の使用環境は、このデータの試験条件よりも厳しい環境であり、チタン合金の腐食が問題となることはない。 </td> <td style="padding: 10px;"></td> </tr> <tr> <td style="padding: 10px;">構成部材： [容器本体] ・蓋板</td> <td style="padding: 10px;"></td> <td style="padding: 10px;"> 空槽本体の蓋板は、その保管及び使用中、内外圧差による繰返し応力が発生するため、経年変化についての考慮が必要である。この部材に対して、内外圧差による繰返し応力に対する疲労評価を行つており、この結果に基づいて、F. 1 で示した保守的に設定した使用期間による経年変化の影響を芳評価する。 </td> </tr> </tbody> </table>	材料 / 構成部材	経年変化の要因	経年変化の考慮の必要性の評価	チタン合金	空槽本体の蓋板に使用されるチタン合金は、以下に示すよう使用環境に対して十分な耐食性を持つ無し した材料が使用されており、使用上問題となる腐食は起こらない。 チタンは、海団に不動態化し、耐食材料として優れた性能を示す。 ^[1] 10 年間の海水浸漬において、その腐食量はごく僅か(腐食量は $0.2\text{mg}/\text{dm}^2$)で試験に留まり、堅み方向への腐食は確認されなかった。 ^[1] 本輸送容器の使用環境は、このデータの試験条件よりも厳しい環境であり、チタン合金の腐食が問題となることはない。		構成部材： [容器本体] ・蓋板		空槽本体の蓋板は、その保管及び使用中、内外圧差による繰返し応力が発生するため、経年変化についての考慮が必要である。この部材に対して、内外圧差による繰返し応力に対する疲労評価を行つており、この結果に基づいて、F. 1 で示した保守的に設定した使用期間による経年変化の影響を芳評価する。	<ul style="list-style-type: none"> ・規則等の改正に伴う評価の追加
材料 / 構成部材	経年変化の要因	経年変化の考慮の必要性の評価									
チタン合金	空槽本体の蓋板に使用されるチタン合金は、以下に示すよう使用環境に対して十分な耐食性を持つ無し した材料が使用されており、使用上問題となる腐食は起こらない。 チタンは、海団に不動態化し、耐食材料として優れた性能を示す。 ^[1] 10 年間の海水浸漬において、その腐食量はごく僅か(腐食量は $0.2\text{mg}/\text{dm}^2$)で試験に留まり、堅み方向への腐食は確認されなかった。 ^[1] 本輸送容器の使用環境は、このデータの試験条件よりも厳しい環境であり、チタン合金の腐食が問題となることはない。										
構成部材： [容器本体] ・蓋板		空槽本体の蓋板は、その保管及び使用中、内外圧差による繰返し応力が発生するため、経年変化についての考慮が必要である。この部材に対して、内外圧差による繰返し応力に対する疲労評価を行つており、この結果に基づいて、F. 1 で示した保守的に設定した使用期間による経年変化の影響を芳評価する。									

核燃料輸送物設計変更承認申請に係る変更前後表

前回申請書 (平成 30 年 8 月 17 日付三原燃第 18-393 号をもって申請 (平成 31 年 2 月 5 日付三原燃第 18-1013 号をもって一部補正))	今回の核燃料輸送物設計変更承認申請	備考															
	<div style="border: 1px solid green; padding: 10px;"> <p>(a) 第 F-2 表 安全解析における経年変化の考慮の必要性の評価 (11/17)</p> <table border="1" style="width: 100%; border-collapse: collapse;"> <thead> <tr> <th style="text-align: left; width: 30%;">材料 / 構成部材</th> <th style="text-align: left; width: 30%;">経年変化の要因</th> <th style="text-align: left; width: 40%;">経年変化の考慮の必要性の評価</th> </tr> </thead> <tbody> <tr> <td style="vertical-align: top;"> <input type="checkbox"/> 放射線 構成部材： [容器本体] ・<input checked="" type="checkbox"/> ブレート </td> <td style="vertical-align: top;"> 熱 輸送中に規定される容器本体の最高温度は 70°C 以下である。この使用条件では、組織変化、クリーブ、腐食等の経年変化の影響は受けない。したがって、技術基準への適合性を評価するうえで経年変化の考慮は不要ない。 </td> <td style="vertical-align: top;"> 組織変化の考慮の必要性の評価 <input checked="" type="checkbox"/> 経年変化の考慮の必要性 無し </td> </tr> <tr> <td style="vertical-align: top;"> 放射線 ・<input checked="" type="checkbox"/> ブレート </td> <td style="vertical-align: top;"> 本輸送物は未使用の新燃料集合体であり、50 年間燃料集合体を収納していたとしても、燃料集合体表面における中性子発生量は $2 \times 10^9 \text{ n/cm}^2$ 以下であり、輸送容器の中性子発生量は最も高い部位でも、燃料集合体 10 枚分の $2 \times 10^9 \text{ n/cm}^2$ を超えることはない。 この使用条件では、以下に示す知見・理由から、使用上問題となる放熱線による経年変化は起こらない。 したがって、技術基準への適合性を評価するうえ、経年変化の考慮は不要ない。 □ について、中性子照射量が 10^{16} n/cm^2 以下では極度に顕著な変化は見られない。 </td> <td style="vertical-align: top;"> 組織変化の考慮の必要性の評価 <input checked="" type="checkbox"/> 経年変化の考慮の必要性 無し </td> </tr> <tr> <td style="vertical-align: top;"> 放射線 ・<input checked="" type="checkbox"/> ブレート </td> <td style="vertical-align: top;"> □ ブレートが設置される容器本体のレジン充填部はステンレス鋼で覆われており、その真剥離部も可燃性あるいは圧力隔壁ペルブルで密閉されているため、空気（酸素）及び水分が十分に供給される環境はない。 したがって、□ ブレートに使用上問題となる酸素は発生しない。 </td> <td style="vertical-align: top;"> 組織変化の考慮の必要性の評価 <input checked="" type="checkbox"/> 経年変化の考慮の必要性 無し </td> </tr> <tr> <td style="vertical-align: top;"> 放射線 ・<input checked="" type="checkbox"/> ブレート </td> <td style="vertical-align: top;"> □ ブレートは、その保管及び使用中に燃焼し、火災は発生しない。 したがって、技術基準への適合性を評価するうえで経年変化の考慮は不要ない。 </td> <td style="vertical-align: top;"> 組織変化の考慮の必要性の評価 <input checked="" type="checkbox"/> 経年変化の考慮の必要性 無し </td> </tr> </tbody> </table> </div>	材料 / 構成部材	経年変化の要因	経年変化の考慮の必要性の評価	<input type="checkbox"/> 放射線 構成部材： [容器本体] ・ <input checked="" type="checkbox"/> ブレート	熱 輸送中に規定される容器本体の最高温度は 70°C 以下である。この使用条件では、組織変化、クリーブ、腐食等の経年変化の影響は受けない。したがって、技術基準への適合性を評価するうえで経年変化の考慮は不要ない。	組織変化の考慮の必要性の評価 <input checked="" type="checkbox"/> 経年変化の考慮の必要性 無し	放射線 ・ <input checked="" type="checkbox"/> ブレート	本輸送物は未使用の新燃料集合体であり、50 年間燃料集合体を収納していたとしても、燃料集合体表面における中性子発生量は $2 \times 10^9 \text{ n/cm}^2$ 以下であり、輸送容器の中性子発生量は最も高い部位でも、燃料集合体 10 枚分の $2 \times 10^9 \text{ n/cm}^2$ を超えることはない。 この使用条件では、以下に示す知見・理由から、使用上問題となる放熱線による経年変化は起こらない。 したがって、技術基準への適合性を評価するうえ、経年変化の考慮は不要ない。 □ について、中性子照射量が 10^{16} n/cm^2 以下では極度に顕著な変化は見られない。	組織変化の考慮の必要性の評価 <input checked="" type="checkbox"/> 経年変化の考慮の必要性 無し	放射線 ・ <input checked="" type="checkbox"/> ブレート	□ ブレートが設置される容器本体のレジン充填部はステンレス鋼で覆われており、その真剥離部も可燃性あるいは圧力隔壁ペルブルで密閉されているため、空気（酸素）及び水分が十分に供給される環境はない。 したがって、□ ブレートに使用上問題となる酸素は発生しない。	組織変化の考慮の必要性の評価 <input checked="" type="checkbox"/> 経年変化の考慮の必要性 無し	放射線 ・ <input checked="" type="checkbox"/> ブレート	□ ブレートは、その保管及び使用中に燃焼し、火災は発生しない。 したがって、技術基準への適合性を評価するうえで経年変化の考慮は不要ない。	組織変化の考慮の必要性の評価 <input checked="" type="checkbox"/> 経年変化の考慮の必要性 無し	<ul style="list-style-type: none"> 規則等の改正に伴う評価の追加
材料 / 構成部材	経年変化の要因	経年変化の考慮の必要性の評価															
<input type="checkbox"/> 放射線 構成部材： [容器本体] ・ <input checked="" type="checkbox"/> ブレート	熱 輸送中に規定される容器本体の最高温度は 70°C 以下である。この使用条件では、組織変化、クリーブ、腐食等の経年変化の影響は受けない。したがって、技術基準への適合性を評価するうえで経年変化の考慮は不要ない。	組織変化の考慮の必要性の評価 <input checked="" type="checkbox"/> 経年変化の考慮の必要性 無し															
放射線 ・ <input checked="" type="checkbox"/> ブレート	本輸送物は未使用の新燃料集合体であり、50 年間燃料集合体を収納していたとしても、燃料集合体表面における中性子発生量は $2 \times 10^9 \text{ n/cm}^2$ 以下であり、輸送容器の中性子発生量は最も高い部位でも、燃料集合体 10 枚分の $2 \times 10^9 \text{ n/cm}^2$ を超えることはない。 この使用条件では、以下に示す知見・理由から、使用上問題となる放熱線による経年変化は起こらない。 したがって、技術基準への適合性を評価するうえ、経年変化の考慮は不要ない。 □ について、中性子照射量が 10^{16} n/cm^2 以下では極度に顕著な変化は見られない。	組織変化の考慮の必要性の評価 <input checked="" type="checkbox"/> 経年変化の考慮の必要性 無し															
放射線 ・ <input checked="" type="checkbox"/> ブレート	□ ブレートが設置される容器本体のレジン充填部はステンレス鋼で覆われており、その真剥離部も可燃性あるいは圧力隔壁ペルブルで密閉されているため、空気（酸素）及び水分が十分に供給される環境はない。 したがって、□ ブレートに使用上問題となる酸素は発生しない。	組織変化の考慮の必要性の評価 <input checked="" type="checkbox"/> 経年変化の考慮の必要性 無し															
放射線 ・ <input checked="" type="checkbox"/> ブレート	□ ブレートは、その保管及び使用中に燃焼し、火災は発生しない。 したがって、技術基準への適合性を評価するうえで経年変化の考慮は不要ない。	組織変化の考慮の必要性の評価 <input checked="" type="checkbox"/> 経年変化の考慮の必要性 無し															

核燃料輸送物設計変更承認申請に係る変更前後表

前回申請書 (平成 30 年 8 月 17 日付三原燃第 18-393 号をもって申請 (平成 31 年 2 月 5 日付三原燃第 18-1013 号をもって一部補正))	今回の核燃料輸送物設計変更承認申請	備考 追加												
	<p style="text-align: center;">(1) - 第 F - 2 表 安全解析における延年化の考慮の必要性の評価 (12/17)</p> <div style="border: 1px solid black; padding: 10px;"> <table border="1" style="width: 100%; border-collapse: collapse;"> <thead> <tr> <th style="width: 20%;">材料 / 製成部材</th> <th style="width: 20%;">経年変化の要因</th> <th style="width: 20%;">継年変化の考慮の必要性の評価</th> <th style="width: 20%;"></th> </tr> </thead> <tbody> <tr> <td>アルミニウム合金 構成部材: [バスケット]</td> <td>熱</td> <td> <p>輸送中に規定されるバスケットの最高温度は 70°C 以下である。この使用条件では、以下に示す如き理由から、使用上問題となるような熱による経年変化は起こらない。</p> <ul style="list-style-type: none"> ・ アルミニウム合金（ロジメント以外のバスケット構成部材）については、□ に使用されている□並びにアルミニウムバスケットに使用されている□を代表に種々の温度と保管期間について採取された機械的性質のデータを用いて、温度及び期間から算定されるパラメータと強度低下との関係を評価した結果、70°C で 50 年間保管した場合でも、アルミニウム合金の強度低下は無視できることが確認されている。（付属書類一） また、ASME 規格 (1) では、□及び□のアルミニウム合金については、それぞれ 150°C 及び 175°C 以上の温度領域に対して時間依存特性（破断強度、クリープ速度）を考慮した許容引張応力(S 値) を規定しているが、バスケットの適用範囲はこれらの温度領域より十分に低く、使用上問題となるようなクリープは生じない。 </td> <td style="vertical-align: bottom;">継年変化の考慮の必要性の評価 無し</td> </tr> <tr> <td></td> <td>放射線</td> <td> <p>本輸送物の元材料は米国用の新燃料集合体であり、50 年間燃料集合体を収納していたとしても、燃料集合体表面における中性子発生量は $2 \times 10^4 n/cm^2$ 以下であり、輸送容器の中性子照射量は最も高い部位でも、燃料集合体 10 片分の $\times 10^4 n/cm^2$ を超えることはない。（付属書類一）</p> <p>この使用条件では、以下に示す如見理由から、使用上問題となる放射線による経年変化は起こらない。したがって、技術基準への適合性を評価するうえで年変化の考慮は必要ない。</p> <ul style="list-style-type: none"> ・ アルミニウム合金について、引張り特性に及ぼす燃料物質が漏べられており、それによれば、アルミニウム合金は、中性子照射量が $10^5 n/cm^2$ 以下では頗るな機械的性質の変化は見つかない。 </td> <td style="vertical-align: bottom;">規則等の改正に伴う評価の追加</td> </tr> </tbody> </table> </div>	材料 / 製成部材	経年変化の要因	継年変化の考慮の必要性の評価		アルミニウム合金 構成部材: [バスケット]	熱	<p>輸送中に規定されるバスケットの最高温度は 70°C 以下である。この使用条件では、以下に示す如き理由から、使用上問題となるような熱による経年変化は起こらない。</p> <ul style="list-style-type: none"> ・ アルミニウム合金（ロジメント以外のバスケット構成部材）については、□ に使用されている□並びにアルミニウムバスケットに使用されている□を代表に種々の温度と保管期間について採取された機械的性質のデータを用いて、温度及び期間から算定されるパラメータと強度低下との関係を評価した結果、70°C で 50 年間保管した場合でも、アルミニウム合金の強度低下は無視できることが確認されている。（付属書類一） また、ASME 規格 (1) では、□及び□のアルミニウム合金については、それぞれ 150°C 及び 175°C 以上の温度領域に対して時間依存特性（破断強度、クリープ速度）を考慮した許容引張応力(S 値) を規定しているが、バスケットの適用範囲はこれらの温度領域より十分に低く、使用上問題となるようなクリープは生じない。 	継年変化の考慮の必要性の評価 無し		放射線	<p>本輸送物の元材料は米国用の新燃料集合体であり、50 年間燃料集合体を収納していたとしても、燃料集合体表面における中性子発生量は $2 \times 10^4 n/cm^2$ 以下であり、輸送容器の中性子照射量は最も高い部位でも、燃料集合体 10 片分の $\times 10^4 n/cm^2$ を超えることはない。（付属書類一）</p> <p>この使用条件では、以下に示す如見理由から、使用上問題となる放射線による経年変化は起こらない。したがって、技術基準への適合性を評価するうえで年変化の考慮は必要ない。</p> <ul style="list-style-type: none"> ・ アルミニウム合金について、引張り特性に及ぼす燃料物質が漏べられており、それによれば、アルミニウム合金は、中性子照射量が $10^5 n/cm^2$ 以下では頗るな機械的性質の変化は見つかない。 	規則等の改正に伴う評価の追加	
材料 / 製成部材	経年変化の要因	継年変化の考慮の必要性の評価												
アルミニウム合金 構成部材: [バスケット]	熱	<p>輸送中に規定されるバスケットの最高温度は 70°C 以下である。この使用条件では、以下に示す如き理由から、使用上問題となるような熱による経年変化は起こらない。</p> <ul style="list-style-type: none"> ・ アルミニウム合金（ロジメント以外のバスケット構成部材）については、□ に使用されている□並びにアルミニウムバスケットに使用されている□を代表に種々の温度と保管期間について採取された機械的性質のデータを用いて、温度及び期間から算定されるパラメータと強度低下との関係を評価した結果、70°C で 50 年間保管した場合でも、アルミニウム合金の強度低下は無視できることが確認されている。（付属書類一） また、ASME 規格 (1) では、□及び□のアルミニウム合金については、それぞれ 150°C 及び 175°C 以上の温度領域に対して時間依存特性（破断強度、クリープ速度）を考慮した許容引張応力(S 値) を規定しているが、バスケットの適用範囲はこれらの温度領域より十分に低く、使用上問題となるようなクリープは生じない。 	継年変化の考慮の必要性の評価 無し											
	放射線	<p>本輸送物の元材料は米国用の新燃料集合体であり、50 年間燃料集合体を収納していたとしても、燃料集合体表面における中性子発生量は $2 \times 10^4 n/cm^2$ 以下であり、輸送容器の中性子照射量は最も高い部位でも、燃料集合体 10 片分の $\times 10^4 n/cm^2$ を超えることはない。（付属書類一）</p> <p>この使用条件では、以下に示す如見理由から、使用上問題となる放射線による経年変化は起こらない。したがって、技術基準への適合性を評価するうえで年変化の考慮は必要ない。</p> <ul style="list-style-type: none"> ・ アルミニウム合金について、引張り特性に及ぼす燃料物質が漏べられており、それによれば、アルミニウム合金は、中性子照射量が $10^5 n/cm^2$ 以下では頗るな機械的性質の変化は見つかない。 	規則等の改正に伴う評価の追加											

核燃料輸送物設計変更承認申請に係る変更前後表

前回申請書 (平成 30 年 8 月 17 日付三原燃第 18-393 号をもって申請 (平成 31 年 2 月 5 日付三原燃第 18-1013 号をもって一部補正))	今回の核燃料輸送物設計変更承認申請	備考																					
	<p style="text-align: center;">(a) - 第 F - 2 表 安全解析における経年変化の考慮の必要性の評価 (13/17)</p> <table border="1" style="width: 100%; border-collapse: collapse;"> <thead> <tr> <th style="text-align: left; padding: 5px;">材料 / 構成部材</th> <th style="text-align: left; padding: 5px;">経年変化の要因</th> <th style="text-align: left; padding: 5px;">経年変化の考慮の必要性の評価</th> </tr> </thead> <tbody> <tr> <td style="padding: 5px;">アルミニウム合金</td> <td style="padding: 5px;">化学変化</td> <td style="padding: 5px;">本輸送容器は、大気中で貯蔵され、かつ、乾式で輸送される。また、バスケットは容器本体の内部に納められ、輸送及び保管される。</td> </tr> <tr> <td style="padding: 5px;">構成部材 : [バスケット]</td> <td style="padding: 5px;">-</td> <td style="padding: 5px;">バスケットを構成するアルミニウム合金製部材は、以下に示すように使用環境に対して十分な耐食性を有した材料が使用されており、使用上問題となる腐食は想定しない。</td> </tr> <tr> <td style="padding: 5px;">- ・アルミニウム合金は、酸化皮膜の形成により堅食しにくい材料である。</td> <td style="padding: 5px;">-</td> <td style="padding: 5px;">・長期間海洋大気にさらされた場合のアルミニウム合金の平均腐食速度は $0.25 \mu\text{m}/\text{年半減周期}$ である。</td> </tr> <tr> <td style="padding: 5px;">- ・堅食はごく僅かである。一方、本輸送容器のバスケットは、大気中ののみで貯蔵され、且つ、容器蓋部が開放されるのは施設内のみであるため、バスケットの使用環境はこのデータの試験条件よりも堅食しにくい環境であり、アルミニウム合金の腐食が問題となることはない。</td> <td style="padding: 5px;">-</td> <td style="padding: 5px;">・海水による塩分や水分を含み金属の堅食が進みやすい大気</td> </tr> <tr> <td style="padding: 5px;">- ・アルミスペベーナ</td> <td style="padding: 5px;">-</td> <td style="padding: 5px;">バスケットを構成するアルミニウム合金製の各種部材は、その保管及び使用中に換気し応力は発生しない。したがって、技術基準への適合性への評価するうえで経年変化的考慮は必要ない。</td> </tr> <tr> <td style="padding: 5px;">- ・アルミスペベーナ</td> <td style="padding: 5px;">-</td> <td style="padding: 5px;">無し</td> </tr> </tbody> </table>	材料 / 構成部材	経年変化の要因	経年変化の考慮の必要性の評価	アルミニウム合金	化学変化	本輸送容器は、大気中で貯蔵され、かつ、乾式で輸送される。また、バスケットは容器本体の内部に納められ、輸送及び保管される。	構成部材 : [バスケット]	-	バスケットを構成するアルミニウム合金製部材は、以下に示すように使用環境に対して十分な耐食性を有した材料が使用されており、使用上問題となる腐食は想定しない。	- ・アルミニウム合金は、酸化皮膜の形成により堅食しにくい材料である。	-	・長期間海洋大気にさらされた場合のアルミニウム合金の平均腐食速度は $0.25 \mu\text{m}/\text{年半減周期}$ である。	- ・堅食はごく僅かである。一方、本輸送容器のバスケットは、大気中ののみで貯蔵され、且つ、容器蓋部が開放されるのは施設内のみであるため、バスケットの使用環境はこのデータの試験条件よりも堅食しにくい環境であり、アルミニウム合金の腐食が問題となることはない。	-	・海水による塩分や水分を含み金属の堅食が進みやすい大気	- ・アルミスペベーナ	-	バスケットを構成するアルミニウム合金製の各種部材は、その保管及び使用中に換気し応力は発生しない。したがって、技術基準への適合性への評価するうえで経年変化的考慮は必要ない。	- ・アルミスペベーナ	-	無し	<ul style="list-style-type: none"> 規則等の改正に伴う評価の追加
材料 / 構成部材	経年変化の要因	経年変化の考慮の必要性の評価																					
アルミニウム合金	化学変化	本輸送容器は、大気中で貯蔵され、かつ、乾式で輸送される。また、バスケットは容器本体の内部に納められ、輸送及び保管される。																					
構成部材 : [バスケット]	-	バスケットを構成するアルミニウム合金製部材は、以下に示すように使用環境に対して十分な耐食性を有した材料が使用されており、使用上問題となる腐食は想定しない。																					
- ・アルミニウム合金は、酸化皮膜の形成により堅食しにくい材料である。	-	・長期間海洋大気にさらされた場合のアルミニウム合金の平均腐食速度は $0.25 \mu\text{m}/\text{年半減周期}$ である。																					
- ・堅食はごく僅かである。一方、本輸送容器のバスケットは、大気中ののみで貯蔵され、且つ、容器蓋部が開放されるのは施設内のみであるため、バスケットの使用環境はこのデータの試験条件よりも堅食しにくい環境であり、アルミニウム合金の腐食が問題となることはない。	-	・海水による塩分や水分を含み金属の堅食が進みやすい大気																					
- ・アルミスペベーナ	-	バスケットを構成するアルミニウム合金製の各種部材は、その保管及び使用中に換気し応力は発生しない。したがって、技術基準への適合性への評価するうえで経年変化的考慮は必要ない。																					
- ・アルミスペベーナ	-	無し																					